

290
1993



თბილისის უნივერსიტეტის უკომეზი

ТРУДЫ ТБИЛИССКОГО УНИВЕРСИТЕТА

PROCEEDINGS OF TBILISI UNIVERSITY

ტ. 316

ISSN 0376—2637

კიბერნეტიკა. გამოყენებითი მათემატიკა

КИБЕРНЕТИКА. ПРИКЛАДНАЯ МАТЕМАТИКА

GYBERNETICS. APPLIED MATHEMATICS

16

ИЗДАТЕЛЬСТВО ТБИЛИССКОГО УНИВЕРСИТЕТА

თბილისის უნივერსიტეტის გამომცემლობა

TBILISI UNIVERSITY PRESS

თბილისის უნივერსიტეტის შრომები
PROCEEDINGS OF TBILISI UNIVERSITY



მ.316

ციბერნეტიკა
და მათემატიკის გამოყენება
CYBERNETICS
APPLIED MATHEMATICS

თბილისი 1993 Tbilisi



ТРУДЫ ТБИЛИССКОГО УНИВЕРСИТЕТА

т. 316

КИБЕРНЕТИКА
ПРИКЛАДНАЯ МАТЕМАТИКА

Тбилиси 1993

Редакционная коллегия

Г.Л.Арсенишвили, Н.И.Вахания, Р.В.ГамкRELIDZE
Т.Г.Гачечиладзе, Р.А.Корлзадзе,
Р.П.Мегрелишвили (секретарь), Г.В.Меладзе,
В.В.Чавчанидзе (редактор)

საარქივო-ბეჭდვითი კოლეგია

ბ.არსენიშვილი, რ.გამყრელიძე, თ.გაჩეჩილაძე, ნ.ვახანია,
რ.კორძაძე, რ.მეგრელიშვილი (ბეჭდვანი), პ.მელაძე,
ვ.ჭავჭავანიძე (არქივური)

Editorial Board

G.Arsenishvili, V.Chavchanidze (editor), T.Gachechiladze,
R.Gamkrelidze, R.Megrelishvili (secretary), H.Meladze, N.Vakhanian

Издательство Тбилисского университета, 1993

© თბილისის უნივერსიტეტის გამომცემლობა, 1993

Tbilisi University Press, 1993



316, 1993

КОЛИЧЕСТВО ИНФОРМАЦИИ, ПЕРЕНОСИМОЕ НЕЧЕТКИМ СООБЩЕНИЕМ

Т.Г. Гачечиладзе, Т.В. Манджанарашвили, Г.Ш. Каммадзе

1. Тайл в ранней работе /1/ дал определение количества информации, переносимого точечным конечным нечетким сообщением. Позже Такеда, Тахара и Накаджима /2/ изучили свойства этой меры. Упомянутые работы основаны на фундаментальном понятии условной вероятности при нечетком условии. Последовательное определение такой условной вероятности дано в работе /3/, где показано, что для нечетких случайных событий (каковыми являются нечеткие сообщения), характеризуемых возможностью их представления с помощью конечного набора уровневых множеств, можно дать конструктивное определение.

2. Определение условного математического ожидания индикатора I_A при условии B , $E_B(I_A)$ /3/ таково, что непосредственно применить процедуру расщепления /3/ для получения условной вероятности при нечетком условии невозможно. Однако, как показано в /3/, если воспользоваться условным математическим ожиданием при данной функции принадлежности нечеткого условия, все-таки можно получить формулу, аналогичную той, которая описывает структуру $E_B(I_A)$, для чего, при расщеплении соответствующий меры, необходимо сохранить некоторые свойства этой формулы: /3/.

საბჭოთაო
ბიბლიოთეკა
8 0 8 2 0 0 0 3 3



Полученное в /3/ выражение для условной вероятности при нечетком условии таково:

$$P_{\tilde{A}}(A) = \sum_{j=1}^n P_{\tilde{A}}(A_j) P_{A_j}(A), \quad (1)$$

где

$$P_{\tilde{A}}(A_j) = \left[\sum_{i=1}^n \alpha_i \cdot P(A_i) \right]^{-1} \alpha_j \cdot P(A_j), \quad (2)$$

$$A_j = A \cap \bigcup_{i=1}^{j-1} A_i', \quad j=1, \dots, n,$$

A_{α_j} - множество уровня, соответствующее уровню

$$\alpha_j = [P(A_j)]^{-1} \int I_{\tilde{A}}(\omega) I_{A_j}(\omega) P(d\omega), \quad (3)$$

$I_{\tilde{A}}, I_{A_j}$ - соответственно индикаторы нечеткого множества \tilde{A} и обычного множества A_j .

3. Сообщение \tilde{A} , преобразующее вероятности $(P(A_1), \dots, P(A_n))$ в $(P_{\tilde{A}}(A_1), \dots, P_{\tilde{A}}(A_n))$ переносит количество информации

$$I(\tilde{A}) = \sum_{j=1}^n P_{\tilde{A}}(A_j) \ln \frac{P_{\tilde{A}}(A_j)}{P(A_j)} = \sum_{j=1}^n P_{\tilde{A}}(A_j) \ln \frac{\alpha_j}{P(\tilde{A})} = \frac{1}{P(\tilde{A})} \sum_{j=1}^n \alpha_j P(A_j) \ln \alpha_j + \ln \frac{1}{P(\tilde{A})}. \quad (4)$$

Когда сообщение четкое ($\alpha_j = 1; j=1, \dots, n$)

$$I(A) = \ln \frac{1}{P(A)}, \quad (5)$$

что находится в согласии с обычным пониманием информационного содержания. С другой стороны, если \tilde{A} характеризуется постоянной функцией принадлежности:

$$I_{\tilde{A}}(\omega) = c, \quad \omega \in A \Rightarrow \alpha_j = c, \quad j=1, \dots, n,$$

то

$$I(\tilde{A}) = 0, \quad (6)$$

т.е. информация не передается, если $P(A_j) = P_{\tilde{A}}(A_j), j=1, \dots, n$.

Легко доказывается следующая теорема: для любого нечеткого сообщения

$$0 \leq I(\tilde{A}) \leq \ln \frac{1}{P(\tilde{A})}. \quad (7)$$

Для дуального сообщения \tilde{A}^D

$$I(\tilde{A}^D) = [P(\tilde{A}^D)]^{-1} \sum_{j=1}^n (1-\alpha_j) P(A_j) \ln(1-\alpha_j) + \ln \frac{1}{P(\tilde{A}^D)}, \quad (8)$$

где

$$P(\tilde{A}^D) = \sum_{j=1}^n (1-\alpha_j) P(A_j).$$

А для нечеткого дополнительного сообщения \tilde{A}

$$I(\tilde{A}) = [P(\tilde{A})]^{-1} \sum_{j=1}^n (1-\alpha_j) P(A_j) \ln(1-\alpha_j) + \ln \frac{1}{P(\tilde{A})}, \quad (9)$$

где

$$P(\tilde{A}) = \sum_{j=1}^n (1-\alpha_j) P(A_j) + P(A^c),$$

а A^c - обычное дополнение A в универсальном множестве.

Поступила 5. I. 1993

Проблемная лаборатория
физической кибернетики

Литература

1. S. Tiles. FSS, v.23, n.2, 1986.
2. H. Takeda, M. Tahara, M. Nakajima. FSS, v.28, n.1, 1988.
3. Т. Г. Гачечиладзе, Т. В. Манджапарашвили. Сообщения АН ГССР, т. 134, № 3, 1989.

თ. გაჩეჩილაძე, თ. მანჯარაშვილი, გ. კაშმაძე

ინფორმაციის რაოდენობა არამკაფიო საზღვარიდან

რ ე გ ი უ მ ე უ

თანამრავლებელი ინფორმაციის რაოდენობის ზომის არამკაფიო შეფასებებისა. შეფასებულია ამ ზომის ზედა და ქვედა საზღვრები. შესწავლილია მისი ზოგადი თვისებები.

T. Gachechiladze, T. Manjaparashvili, G. Kashmadze

THE QUANTITY OF INFORMATION IN A FUZZY
MESSAGE

S u m m a r y

The measure of the quantity of information in a fuzzy message is explained. The upper and lower bounds of this measure are given and some of its properties studied.



Труды Тбилисского государственного университета
им. И. Джавахишвили

გვ. ჯავახიშვილის სახელობის თბილისის სახელმწიფო
უნივერსიტეტის შრომები

316, 1993

ОБ ОДНОМ МЕТОДЕ ВЫЧИСЛЕНИЯ ВЕРОЯТНОСТНЫХ КОНЦЕПТОВ
ПРИ ИСПОЛЬЗОВАНИИ КОНЦЕПТУАЛЬНОГО СИСТЕМНОГО АНАЛИЗА

З.Ю. Кочладзе

В концептуальном системном анализе /КСА/ /1,2/, в зависи-
мости от характера конкретно решаемой задачи, можно применить
разные варианты метода вычисления концептов /3,4/. Во всех
этих вариантах метода строго соблюдается основной принцип тео-
рии искусственного концептуального интеллекта /3,5/ и поэтому
в них отсутствует перебор. Рассмотрим один из вариантов, раз-
работанный с учетом специфики производственных и экономических
динамических процессов.

Допустим, мы хотим вычислить концепт некоторой конкретной
объект-системы S , частные реализации которой мы можем наб-
людать в природе (в жизни и т.д.). Согласно работам /4,5/ на-
шу S можно описать с помощью пространства "признак a зна-
чения". Допустим, что такое описание уже имеется. Следуя ра-
ботам /3,4/, мы можем провести бинаризацию всех признаков и
перейти на алгебраизированные множества. Пусть теперь P_{ij} -
вероятность появления значения a_{ij} признака A_i в част-
ной реализации. Тогда $P_i = \sum_{j=1}^k P_{ij}$, где $i = \overline{1, k}$ соответствует
всем тем значениям признака A_i , которые в описании сис-
темы S присутствуют без знака "-" /5/. А $\bar{P}_i = \sum_{s=1}^t P_{is}$ соответ-

отсутствует всем тем значениям, которые в описании системы S присутствуют, со знаком "-". Введем нормировку $P_i + \bar{P}_i = 1$. Такая нормировка означает, что в каждой частной реализации обязательно наблюдается одно из значений признака A_i (отсутствие признака A_i также является значением этого признака), поэтому она является естественной. Кроме этого, она дает известную свободу и разрешает пользоваться универсальными логическими методами моделирования.

После вычисления всех P_i - фильтрация и переход к логическим переменным A_i , где каждый A_i соответствует признаку A_i . Концепт нашей объект-системы S примет вид:

$$\theta(S) = (A_1 \cdot A_2 \cdot A_3 \cdots A_m),$$

где между A_i и A_j подразумевается логическая операция "и".

Вычисление P_{ij} вероятностей просто и сведено к вычислению частоты появления a_{ij} значения признака A_i в частных реализациях:

$$P_{ij} = \frac{N(a_{ij})}{N},$$

где $N(a_{ij})$ - число, указывающее сколько раз в частных реализациях наблюдалось значение a_{ij} признака A_i , а N - число всех частных реализаций, с помощью которых вычисляется концепт. Вычисленный таким образом концепт является наиболее общим (наиболее грубым) концептом и поэтому для диагностики и прогнозирования он может оказаться недостаточным. В этом случае мы должны перейти к вычислению концепта более высокого уровня и т.д., пока мы не получим концепт, точность которого при решении поставленной задачи будет достаточна. Процедура построения такого понятийного дерева для вероятностных концептов ничем не отличается от процедуры построения

понятийного дерева, предложенной в работе /4/.

В случае, когда мы хотим вычислить концепт поведения нашей объект-системы S во времени, или же S сам является некоторым динамическим процессом, то задача вычисления концепта становится идентичной описанной в /6/ задаче " блуждения" концептуальных систем в бинарных пространствах при формировании понятий об объектах. Бинаризация пространственных состояний (возможных) объекта S на 2^n бинарных точек, где $n = \overline{1, n}$ есть некоторые фиксированные моменты времени (не обязательно, чтобы $t_K - t_{K-1} = t_{K+1} - t_K$), на практике происходит с использованием предварительной информации о целостном поведении системы.

Алгоритм вычисления вероятностных концептов реализован в виде системы на ЭВМ, которая работает в диалоговом режиме и поэтому доступна любому потребителю. Рассмотрим принцип работы этой системы.

Первый этап алгоритма и работы системы состоит в формировании в памяти ЭВМ пространства "признак x значения" и бинаризации этого пространства. При составлении такого пространства должно быть учтено, что признаки могут быть как количественными, так и качественными, а сами признаки могут принимать значения как из конечного, так и из бесконечного множества. Поэтому, перед вводом этих значений в памяти ЭВМ должны провести следующую процедуру: если признак качественный и значения этого признака описываются в лингвистической форме (например, цвет объекта, форма объекта и т.д.), то они должны быть перекодированы с помощью чисел. Если значения признака образуют конечное множество, то их введение не представляет никакой сложности. Если же значения признака имеют непрерывный характер, то



предварительно надо провести квантование этих значений. Блок-схема первого этапа алгоритма дана на рисунке I.

Второй этап работы алгоритма состоит из вычисления концепта и проверки его адекватности реальной объект-системе. Для этого из частных реализаций объект-системы выбираются те реализации, которые были оценены положительно /4,6/. Часть этих реализаций должна быть сохранена для контрольной проверки вычисленного концепта, а остальные вводятся в ЭВМ для вычисления концепта. После вычисления P_{ij} и соответствующих P_i мы должны ввести в ЭВМ уровень фильтрации, после чего происходит переход к логическим переменным и концепт принимает окончательную форму бифункционала.

После вычисления концепта объект-системы S , или концепта поведения этой системы во времени, обязательно надо провести проверку вычисленного концепта. Для проверки надо использовать те частные реализации, которые были оценены положительно, но не принимали участие в вычислении концепта. Для проверки можно использовать и те частные реализации, которые были оценены отрицательно. Проверка принадлежности некоторой частной реализации V_e к концепту $\theta(S)$ происходит методом сверки (методом логического сравнения) по формуле $\theta(S) \sim V_e$ для положительных реализации и по формуле $\theta(S) \approx V_e$ - для отрицательных реализаций по всем признакам, которые присутствуют в концепте в строго поляризованной форме. Другими словами, при проверке сравниваются лишь те признаки, которые являются для класса объект-системы S существенными. Совпадение концепта и частной реализации V_e , которая была оценена положительно, должно быть полным, по всем существенным признакам и, наобо-

рот, при сравнении концепта и частной реализации, оцененной отрицательно, несовпадение достаточно хотя бы по одному ответственному признаку.

В зависимости от наших целей уровень правильного опознания будет разным, но, как обычно, он должен быть выше 75-80%. В случае, когда % правильного опознания ниже желаемого, характер ошибок опознания указывает, какие ошибки были допущены, и мы можем соответственно скорректировать наш концепт. Если же надежность опознания достаточна, но мы хотим более точные предсказания (более детальное описание объект-системы), то мы должны вычислить концепт более высокого уровня.

Сформулированный таким образом концепт несравнимо "богаче", чем та последовательность частных реализаций, которая его породила. Действительно, количество всех возможных частных реализаций, даже если каждый признак принимает лишь два значения, равно 2^m , где m - число признаков. После вычисления концепта часть этих признаков (и обычно не малая часть) остается неполяризованной (т.е. могут принимать либо одно, либо другое значение). Тогда количество частных реализаций, которые будут относиться к данному концепту, будет 2^l , где l - количество признаков, которые остались неполяризованными. Практически реальное число этих реализаций значительно $\gg 2^l$, так как для реальных объектов значение признаков значительно $\gg 2$. Тогда при генерировании конкретных реализаций мы можем получить и такие реализации, которые не встречались не только при вычислении концепта, но и вообще в природе. Это разрешает нам конструировать объект-системы с заранее заданными характеристиками.

Блок-схема второго этапа системы дана на рисунке 2.

Поступила 12.1.1993

Проблемная лаборатория
физической кибернетики



Литература

1. В.В.Чавчанидзе. Сообщения АН ГССР, т.74, № I, 1974.
2. В.В.Чавчанидзе. Сообщения АН ГССР, т.61, № I, 1971.
3. В.В.Чавчанидзе. Сообщения АН ГССР, т.76, № 2, 1974.
4. В.В.Чавчанидзе, А.В.Корнеева. Сообщения АН ГССР, т.65, №3, 1972.
5. В.В.Чавчанидзе. Сообщения АН ГССР, т.80, № 2, 1975.
6. В.В.Чавчанидзе. Сообщения АН ГССР, т.63, № I, 1971.

8. ქობულაძე

აღმატურნი არცვაჟებინს ბაშოთვირის ერთი ბაშოთვირის
 ბესაბაბ არცვაჟებარნი სისებარნი ანალიზის ბაშოყენებინსას
 რ ე ბ ი ბ ი ე

დაშრობილი განხილულია აღმატურნი არცვაჟებინს ბაშოთვირის ერთი
 ბესაბაბი ბეშოთვირნი არცვაჟებარნი სისებარნი ანალიზის ბაშოყენებინსას.
 დაჩვენებინს, რომ ბესაბაბ ბეშოთვირნი ამა ბეშოთვირის ბაშოყენებინსა რეგორც რეშოთვირ
 სისებარნი, ასევე რეშოთვირნი ბეშოთვირნი არცვაჟებინს ბაშოყენებინსას.

აქვეყნებინს ბესაბაბის ბანტარნი აღმატურნი, რომელიც ბეშო-
 თვის ბეშოთვირნი რეშოთვირნი და ბისი ბაშოყენებინს ბეშოთვირნი ბეშოთვირნი ბეშო-
 თვის ბეშოთვირნი.

Z. Kochladze

ON A METHOD OF CALCULATING PROBABILITY CONCEPTS
IN APPLICATION TO CONCEPTUAL SYSTEMS ANALYSIS

S u m m a r y

The paper discusses one possible method of calculating probability concepts when conceptual systems analysis is applied. It is shown that this method may be used in modelling both complex systems and complex dynamic processes. A digital computer program is constructed.

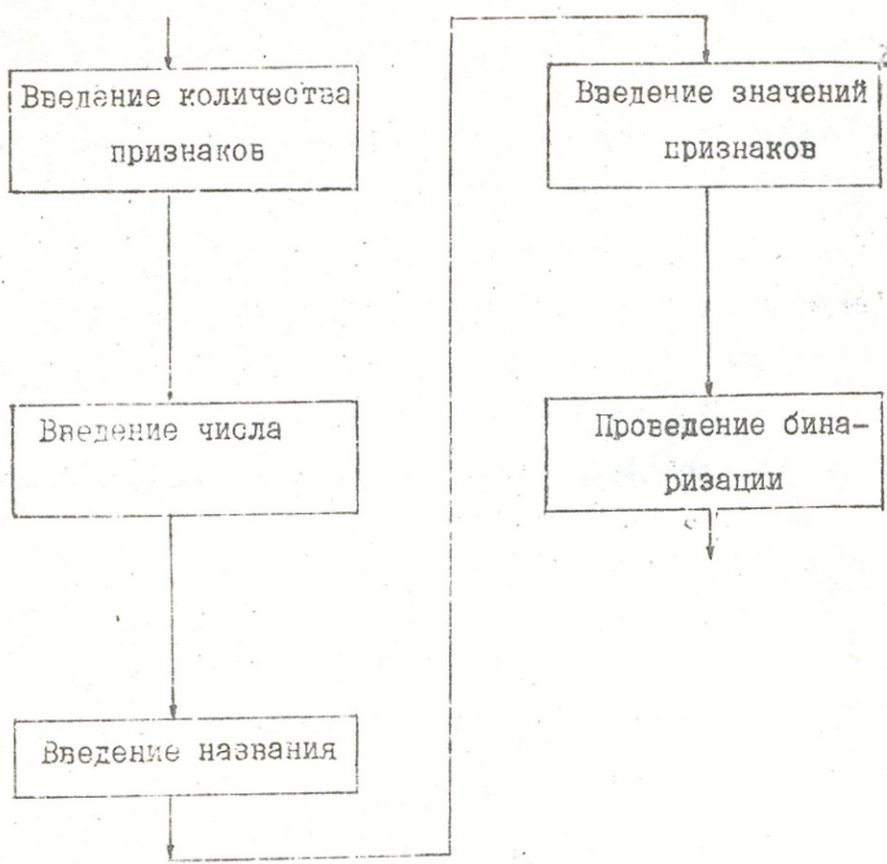


Рис. 1. Блок-схема первого этапа диалоговой системы.

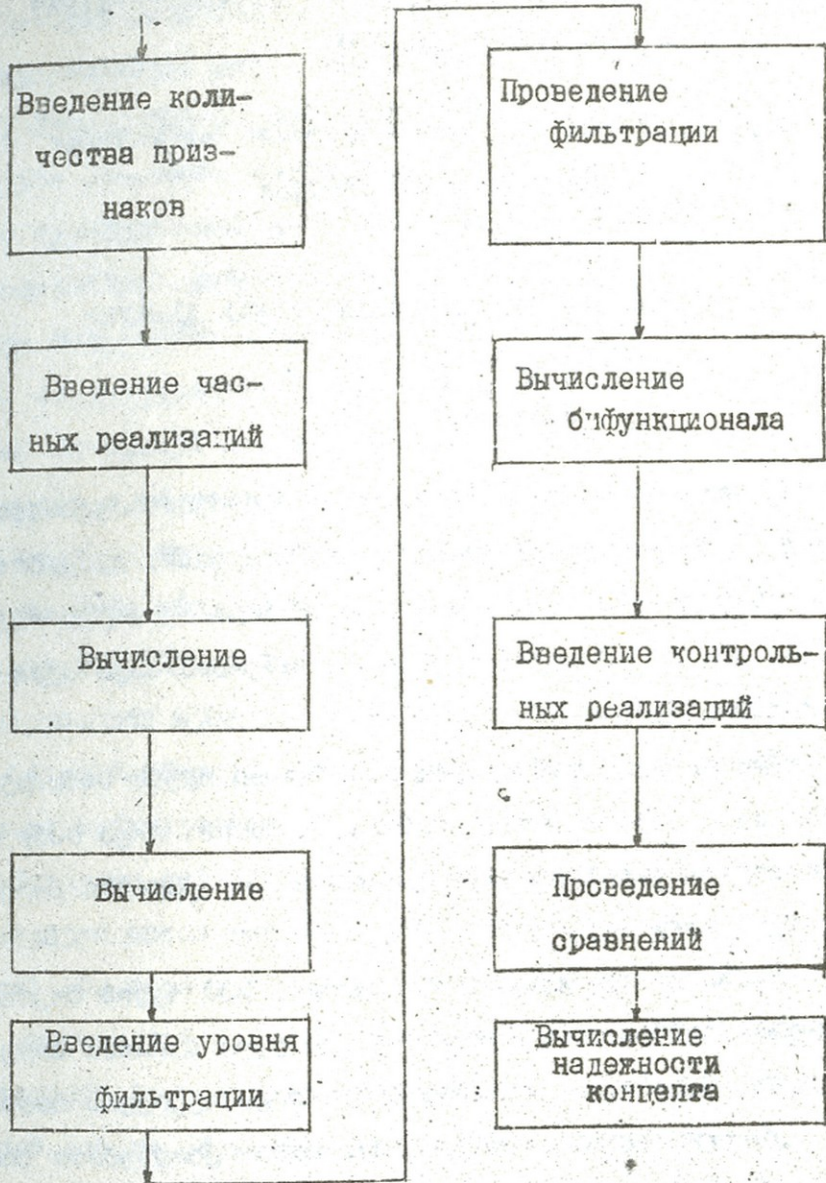


Fig. 2. Block-scheme of the second stage of the dialog system.



ივ. ჯავახიშვილის სახელობის თბილისის სახელმწიფო

უნივერსიტეტის შრომები

3:6, 1993

პრობლემატიკური კვლევის აბსტრაქტების კრებული

თარგმანი

ა. ბერიძე

ფესტივალის მეთოდის ადაპტაციის მონაცემების შეფასების ერთ-ერთი ყველაზე გავრცელებული მეთოდია მსოფლიოში. ფესტივალის შეფასება შეფასების ყველაფერი - ადაპტაციის გონივრული შესაძლებლობებიდან დაწყებული ამა თუ იმ სფეროში მისი მოქმედების სავარაუდო წარმატებების დამატებით.

უბრალოდ იმის, რომ ფესტივალის მეთოდი ჩვენს სინამდვილეში მხოლოდ ახლა გვაქვს პირველი ნაბიჯები. მაშინ, როცა საბოლოო გამოცდის განხორციელება უკლებლივ იგი ადაპტაციის ყოველდღიური მოქმედების განხორციელება ნაწილია.

ჩვენს უმთავრეს ფესტივალის მეთოდის განხორციელების მოკვლევაში მცდელობას წარმოადგენს ჩვენს მიერ განხორციელებული მოქმედების სხვადასხვა სფეროში ადაპტაციის ფესტივალის გამოკვლევის მიზნით.

ერთ-ერთი ძირითადი მიმდინარე ადაპტაციის ცხოვრებაში მისი პრობლემატიკური ჩამოყალიბება წარმოადგენს. ეს მიმდინარე მთელი უფროსი საზოგადოების მდებარეობა, რომ არასწორად შეჩვენებული პრობლემა ხშირად პირველადის ცხოვრებისეული ტრადიციის მიზნით ხდება, რომ არაფერი უფრო იმ უკონკრეტო გარდაცვალება, რასაც აყენებს სახელმწიფოს ახალგაზრდების არასწორად მიმართული პრობლემატიკა.

ახალგაზრდობის პრობლემატიკური ინტერესების სწორი მიმართულებით წარმართვის საჭირო უბიძგის სამსახურის განვითარება შეუძლია მხოლოდ.



ცნობილი კონკრეტული კომპლექსური ფესვური გამოყვანიდან, რომელიც განუყოფელია ცნობილი კონკრეტული შესაძლებლობების, განყვანიდან და შესაფერისობის მომზადებიდან პრაქტიკულია. მიუხედავად ამისა, ფესვური უწყვეტობის საფუძვლიანი შესაძლებელია განვიხილოთ არსებულ-გონივრული რეკომენდაციების განვიხილოთ გარკვეული საქონლების სანთლის ანუ იმ ახალიგაზრდის ვარსკვლავების შესახებ.

მიუხედავად მსოფლიოში ცნობილი ადგილების ფსიქოლოგის ჰანს ანდერსონს ე.წ. ინტელექტუალური ფესვები /1/ აპაძანის კონკრეტული შესაძლებლობების შესაფერისობა. ფესვების ეს კრებული შეიცავს ხუთ მისაღებ და სამი სპეციფიკური ფესვს. სპეციფიკური ფესვებია: სიფერხველი, რიცხვითი და სივრცულ-მხედველობითი. სპეციფიკური აპაძანის შესაფერისობები, რა ტექნიკური, განსაკუთრებით მცირე, მაგრამ ეს სამი უნარი სხვა-სხვა უფრო მნიშვნელოვანია.

სპეციფიკური ფესვების ჩარხება ცენტრის აქვს საშუალებას მიიღოს სრული ნარჩობები თავისი კონკრეტული შესაძლებლობის ხასიათისა და სფეროებების შესახებ.

ინტელექტუალური უნარის ნაწილია. იგი აპაძანის სახესთან დაახლოებული ისეთი ფსიქოლოგიური ტერმინია, რომლის მიცნობაც შესაძლებელია საკონსულტაციო პრაქტიკის სასურველი პრაქტიკა. ამიტომ არცერთი ფსიქოლოგიური ფესვი არ შეიძლება აქვს. ისეთი რთული ტერმინის უფროსი მხარის დაკვირვების კრებულია, რომლისაა აპაძანის ინტელექტუალური. ასეთი კრებულია არც ანდერსონს ინტელექტუალური ფესვების აქვს. ისინი აკვირდება იმ პრინციპით, რომ მოგვცეს ცენტრის ინტელექტუალური პროგნოზების (IQ) მისთვის შეფასება, რადგან, თავის თავად, უიღვეს ინტელექტის ინტელექტს მაშინ. ამ ფესვებში გამოყვანილია სიფერხველი, რიცხვითი და განსაკუთრებული მისაღებ, რომელიც შეიძლება აღიარებინათ ფსიქოლოგების სხვადასხვანაირი ხეობების. ფესვების ასე-



თი ბევრველი ხასიათის მქონე ცოდნის გენერაცია აკუმულირებული

● ვინცის მოსაძიებელი მუშაობები.

სივრცის ფუნქციონირების მიზნით მივიჩნევთ, რომ სამსახურის მქონე ადამიანის საჭიროებების დასაშვად, მისი მოთხოვნები უნდა იქნას აკმაყოფილები. ამისათვის უნდა იქნას მიზანმიმართული ღონისძიებები და ცხოვრების სტილი უნდა იქნას შეესაბამებოდეს ამ მოთხოვნებს.

რადგანაც ჩვენს სამსახურის დასახელებით იმის ფუნქციონირებას უნდა განვიხილოთ, ანუ იმის უწყვეტობის თაობაზე განვიხილოთ უხეზობა და დასაშვადობა, რაც განსაზღვრავს იმ ადამიანის მოთხოვნებს, რომელიც ცდილობს იმის მოხერხებას, რომელიც მისი მოთხოვნების მიხედვით, უნდა იქნას შეესაბამებოდეს. ამის მიზნით, უნდა იქნას მიზანმიმართული ღონისძიებები, რომელიც უნდა იქნას მიზანმიმართული ღონისძიებები. ამის მიზნით, უნდა იქნას მიზანმიმართული ღონისძიებები, რომელიც უნდა იქნას მიზანმიმართული ღონისძიებები.

● დამატებითი დასახელებების დასაშვადობის უზრუნველყოფა, ამის მიზნით უნდა იქნას მიზანმიმართული ღონისძიებები.

ფუნქციონირება რადგანაც უზრუნველყოფს იმის მოხერხებას, რომელიც უნდა იქნას მიზანმიმართული ღონისძიებები. ამის მიზნით, უნდა იქნას მიზანმიმართული ღონისძიებები, რომელიც უნდა იქნას მიზანმიმართული ღონისძიებები.



Յոթերորդ օրվա ժամկետը 10 րոպեով, 11 սուրճարի և 19 սուրճարի շրջանում իրականացվել է հետազոտություններ: Չորսուհին օրվա ընթացքում 30 րոպեով: Բնակիչները օրվա ընթացքում իրականացրել են հետազոտություններ և արձանագրել են հետևյալը: Բնակիչները օրվա ընթացքում իրականացրել են հետազոտություններ և արձանագրել են հետևյալը: Բնակիչները օրվա ընթացքում իրականացրել են հետազոտություններ և արձանագրել են հետևյալը:

Յոթերորդ օրվա ժամկետը 117-մա սուրճարից, մատչելի 57 օրվա ընթացքում իրականացվել է հետազոտություններ, երկու 60 - 30 օրվա ընթացքում:

Բնակիչները օրվա ընթացքում իրականացրել են հետազոտություններ և արձանագրել են հետևյալը: Բնակիչները օրվա ընթացքում իրականացրել են հետազոտություններ և արձանագրել են հետևյալը: Բնակիչները օրվա ընթացքում իրականացրել են հետազոտություններ և արձանագրել են հետևյալը:

Բնակիչները օրվա ընթացքում իրականացրել են հետազոտություններ և արձանագրել են հետևյալը: Բնակիչները օրվա ընթացքում իրականացրել են հետազոտություններ և արձանագրել են հետևյալը: Բնակիչները օրվա ընթացքում իրականացրել են հետազոտություններ և արձանագրել են հետևյալը:

Բնակիչները օրվա ընթացքում իրականացրել են հետազոտություններ և արձանագրել են հետևյալը: Բնակիչները օրվա ընթացքում իրականացրել են հետազոտություններ և արձանագրել են հետևյալը: Բնակիչները օրվա ընթացքում իրականացրել են հետազոտություններ և արձանագրել են հետևյալը:

Բնակիչները օրվա ընթացքում իրականացրել են հետազոտություններ և արձանագրել են հետևյալը: Բնակիչները օրվա ընթացքում իրականացրել են հետազոտություններ և արձանագրել են հետևյալը: Բնակիչները օրվա ընթացքում իրականացրել են հետազոտություններ և արձանագրել են հետևյալը:



ქართული ენის
საქართველოს
საქართველოს

მიღებული შედეგების მიხედვით შეიძლება დავასკვნათ, რომ მათგან მათგან-
კამათებამაგიკის პრეზიდენტის ანტიკორუფციული ძიებების საფუძველზე
კერძო ინვესტიციების მიზანშეწონილი არ შეესაბამება მათ მიერ არჩეული
საქმიანობების მოხსენებებს.

სურვილია განსხვავებული სურათი მივიღოთ კომპანიების კლასის
ანტიკორუფციული ფუნქციონირების შედეგად. კერძოდ, მოვადინო ფუნქციის გამოკით-
ხვისას X_1 -ში მოხვედა ბიზნესკლასის 9%, Y_1 - 61%, ხოლო Z_1 -ში - 30%.
მათ შორის რამდენიმე მაგალითური შედეგები არჩევნა.

საქმიანობის სიფრთხილი ფუნქციის გამოკითხვის შედეგები ასეთია:
 X_2 -ში - 3%, Y_2 -ში - 54% და Z_2 -ში - 43%, რაც ნაშთობადაა საუ-
კეთესო შედეგად მივიღებთ ჩაითვალეს. ეს ნაშთობა, რომ ამ კლასის
ანტიკორუფციული 97%-მა სწორად შეაფასა საკუთარი შესაძლებლობები, რე-
ალ კომპანიების საშუალოდ იჩვენება.

კომპანიების კლასის ფუნქციონირების მაღალი შედეგები განპირობე-
ბულია ამ კლასის ანტიკორუფციული მაღალი ჩივილების, განვიხილოთ
ბიზნესის, ბიზნესის უნის კარგი ცოდნით. კომპანიის ანტიკორუფციული
დაზღვევის სიფრთხილი უფრო გრძელხანით შესაძლებლობებს ნაკლები ანიხსნება,
თუმცა გარკვეულ მიზეზებით. ეს განსაზღვრის ხელის იმი ფაქტორად, რომ ფინანს-
მათემატიკის პრეზიდენტის ანტიკორუფციული მოვადინო ფუნქციის გამოკითხვის შე-
დეგები უფრო მაღალი აღმოჩნდა, ვიდრე საშუალოდ კერძო, რადგან ანტიკორუფციული
შედეგების მაღალი უნებების დატოვება ძირითადად სწორად სიფრთხილი
მასპატივ ატეხული ანტიკორუფციული ხარჯები იხილა.

კომპანიების გამოკვლევანი გვიჩვენებს, რომ არის საკმაოდ რაოდენობა
ანტიკორუფციული, რომლებსაც არასწორად აქვთ არჩეული მიზანობა საუ-
მიანობის სფერო.

ცხადია, რომ ურთულად ამ რწმინდა გამოკითხვანი არ შეიძლება მოვადინო
სურვილი სურათი ბიზნესკლასის პრეზიდენტებზე კლასებში განაწილებების ავ-
კარგის შესახებ, მით უმეტეს, რომ ფუნქციის გამოკითხვას დიდი ფუნქცი-
ონირების დატოვება ახლავს თან, განსაკუთრებით ისევე ფინანსირებისა-



თვის, რომლებიც ამრავლად ასრულებენ ფესვურ პავლელებს.

ასეთი მომენტების თავიდან აცილება მის მიზნით აუცილებელია გვაჩინა საბუნებრივი სკოლის მცხერე კლასები, რომლებიც სისწავლის ფესვურება სხვადასხვა დონისა და მიზნების შესრულებით, რაც გამოიწვევს ახადგამრძებს მოწინააღმდეგე ფესვურებით გამოწვეული ფსიქოლოგიური ბარიერის მოშლას და ფესვური გამოცდების გამოყოფის შედეგად. მცხერე კლასში ა, როცა გვება ამოყალიბებული კლასებში მიწავლეთა დანაწილების საკითხი, უნდა ნახდეს მათი ფესვურება სპეციალურად შეჩვენული სფანდარტული ფესვებით. ეს მოგვცემს ახადგამრძების გონებრივი მოწვევების სწორად წარმართვის შესაძლებლობას, რაც, თავის მხრივ, უკვერის დაწერების საინფორმაციო იქნება.

თბილისი 15.1.1993

საქართველოს მეცნიერებათა
აკადემიის მართვის სისტემების
ინსტიტუტი

ლიტერატურა

И. Г. Айзенк. Проверьте ваши способности. М., 1971.

А. Г. Дундуа

О ТЕСТОВОЙ ПРОВЕРКЕ АБИТУРИЕНТОВ ПРОФИЛИРУЮЩИХ
КЛАССОВ

Резюме

В статье дан анализ результатов тестирования учащихся выпускных классов разных профилей с помощью интеллектуальных тестов И. Айзенка.

Тестирование показало неполное соответствие интеллектуальных данных учащихся с требованиями выбранных ими специализаций.

A. Durdua

ON TEST EXAMINATION OF SCHOOL-LEAVERS OF VOCATIONAL CLASSES

S u m m a r y

The paper presents an analysis of the results of testing school-leavers of various vocations with G. Eisenck's intelligence tests. The testing has shown incomplete correspondence of the school-leavers' intelligence data to the needs of the specializations chosen by them.

316, 1993

ОБ ОДНОЙ КРАЕВОЙ ЗАДАЧЕ ДЛЯ ОДНОМЕРНОЙ СИСТЕМЫ ТИМОШЕНКО
В.Ш.Одишария

Построение теории краевых задач для вариантов оболочек типа Тимошенко, учитывающей наряду с геометрической нелинейностью сдвиговые напряжения, а также обоснование приближенных методов, относится к числу нерешенных проблем математической теории оболочек /1/. Такое положение объясняется сложной спецификой соответствующих уравнений.

В данной работе изучается задача статики в предположении равномерной нагруженности оболочки по ширине. Это допущение позволяет устранить из исходной системы (1.75) - (1.79) из /2/ пространственную переменную x_2 и время t вместе с сопутствующими двумя искомыми функциями. Подобным приемом получается упрощенный пространственно-одномерный вариант нелинейной системы Тимошенко. Задачи динамики для одномерной системы Тимошенко рассмотрены в /3/, /4/.

Так как исследование двумерных вариантов наталкивается на пока непреодолимые трудности, поэтому интерес к одномерным задачам основывается, возможно, не столько на их значимости с позиций механики, сколько на перспективе выработки методов преодоления математических трудностей в более общем случае.

Деформацию оболочки при указанных выше допущениях можно описать следующей системой уравнений /2/:

$$N' + p = 0, \quad (I.1)$$

$$Q' + kN + (Nw')' + q = 0, \quad (I.2)$$

$$M' - Q = 0. \quad (I.3)$$

Здесь $N = \frac{Eh}{1-\nu^2} [u' - \kappa w + \frac{1}{2}(w')^2]$, $Q = \kappa_0^2 \frac{Eh}{2(1+\nu)} (\varphi + w')$,

$M = D\varphi'$. Искомыми являются функции $u = u(x)$, $w = w(x)$ и $\varphi = \varphi(x)$, где u и w представляют собой перемещения точки срединной поверхности оболочки вдоль линий x и z , а φ - угол поворота нормали в плоскости xz . Функции $\kappa = \kappa(x)$, $p = p(x)$ и $q = q(x)$ представляют собой соответственно кривизну оболочки и интенсивность заданных внешних нагрузок, x - пространственная переменная, $0 < x < l$, E - модуль упругости, h - толщина оболочки, ν - коэффициент Пуассона, $\kappa_0^2 < 0,5$, D - цилиндрическая жесткость, $D = \frac{Eh^3}{12(1-\nu^2)}$, κ_0^2 - коэффициент сдвига.

Отметим, что в данной задаче функции $u, w, \varphi, \kappa, p, q$ заменяют $u, w, \varphi_x, \kappa_x, p_x, q$ из пространственно-двумерной постановки /2/. Что касается функций $\varphi_y, v, \kappa_y, p_y$, то они отсутствуют в силу сделанного предположения об одномерности модели:

Пусть граничные условия таковы:

$$u(0) = u(l) = 0, \quad w(0) = w(l) = 0, \quad \varphi(0) = \varphi(l) = 0. \quad (2)$$

Как мы убедимся, из задачи (I), (2) можно вывести определенные интегро-дифференциальные соотношения. В итоге удастся получить такие априорные оценки, применение которых в методе



компактности приводит в результате к разрешимости.

Покажем, что исходя из (I), (2) можно получить самостоятельную задачу относительно w следующего вида:

$$\Phi(w) = 0, \quad (3)$$

$$w(0) = w(l) = 0, \quad (4)$$

где

$$\Phi(v) = \left[\alpha_1 + \alpha_2(x) + \frac{\alpha_3}{\ell} \int_0^\ell \left(\frac{1}{2} (v')^2 - kv \right) dx \right] v'' +$$

$$+ \alpha_4(x, v) - pv' + k \left[\alpha_2(x) + \frac{\alpha_3}{\ell} \int_0^\ell \left(\frac{1}{2} (v')^2 - kv \right) dx \right] + q,$$

$$\alpha_1 = k_0^2 \frac{Eh}{2(1-\nu)}, \quad \alpha_2(x) \equiv \alpha_2 = \frac{1}{\ell} \int_0^\ell dx \int_0^x p(\xi) d\xi - \int_0^x p(\xi) d\xi,$$

$$\alpha_3 = \frac{Eh}{1-\nu^2}, \quad \alpha_4(x, v) \equiv \alpha_4 = \alpha^2 \alpha_1 v -$$

$$- \frac{\alpha^3 \alpha_1}{\sin \alpha \ell} \left[\operatorname{ch} \alpha (\ell - x) \int_0^x v(\xi) \operatorname{ch} \alpha \xi d\xi + \operatorname{ch} \alpha x \int_x^\ell v(\xi) \operatorname{ch} \alpha (\ell - \xi) d\xi \right],$$

$$\alpha = \frac{6 k_0^2 (1-\nu)}{Eh^2}.$$

С этой целью преобразуем систему (I). Перепишем (I.1) в виде

$$u'' = \left(kw - \frac{1}{2} (w')^2 \right)' - \frac{1}{\alpha_3} p. \quad (5)$$

Дважды интегрируя в (5) и учитывая граничное условие для u , будем иметь

$$u = \int_0^x \left[k w(\xi) - \frac{1}{2} (w'(\xi))^2 - \frac{1}{\alpha_3} \int_0^\xi p(\eta) d\eta \right] d\xi -$$

$$- \frac{x}{\ell} \int_0^\ell \left[k w - \frac{1}{2} (w')^2 - \frac{1}{\alpha_3} \int_0^x p(\xi) d\xi \right] dx. \quad (6)$$

Далее, воспользуемся в (I.3) представлением решения задачи



$v'' - \alpha^2 v = f$, $v(0) = v(l) = 0$ в виде $v(x) = \int_0^l G(x, \xi) f(\xi) d\xi$,
 где функция Грина /5/

$$G(x, \xi) = \begin{cases} -\frac{\operatorname{sh} \alpha \xi \operatorname{sh} \alpha(l-\xi)}{\alpha \operatorname{sh} \alpha l} & \text{при } \xi < x, \\ -\frac{\operatorname{sh} \alpha x \operatorname{sh} \alpha(l-\xi)}{\alpha \operatorname{sh} \alpha l} & \text{при } \xi > x. \end{cases}$$

Приходим к выражению

$$\varphi = \frac{\alpha^2}{\operatorname{sh} \alpha l} \left[\operatorname{sh} \alpha(l-x) \int_0^x w(\xi) \operatorname{ch} \alpha \xi d\xi - \operatorname{sh} \alpha x \int_x^l w(\xi) \operatorname{ch} \alpha(l-\xi) d\xi \right]. \quad (7)$$

Если подставим (6) и (7) в (1.2) и выделим из (2) условие для w , получим задачу (3), (4).

В рассуждениях используются: E_n - евклидово пространство n -мерных векторов со скалярным произведением, обозначаемым через $(\cdot, \cdot)_0$, (\cdot, \cdot) - скалярное произведение в $L_2(0, l)$, $|\cdot|_R$ и $|\cdot|_{R_1 \cap R_2}$ - нормы в пространствах $R(0, l)$ и $R_1(0, l) \cap R_2(0, l)$ соответственно. Определим $|v|_{W_2^1} = \left(\int_0^l (v')^2 dx \right)^{1/2}$

$|v|_{W_2^1 \cap W_2^2} = \left(\int_0^l (v'')^2 dx \right)^{1/2}$, причем для сокращения записи эти нормы будут обозначаться через $|\cdot|_1$ и $|\cdot|_2$.

Обобщенным решением задачи (3), (4) назовем функцию $w \in W_2^1(0, l) \cap W_2^2(0, l)$, которая удовлетворяет равенству

$$(\varphi(w), \varphi) = 0, \quad \forall \varphi \in W_2^1(0, l) \cap W_2^2(0, l). \quad (8)$$

Теорема. Пусть

$$k \in L_2(0, l), \quad q \in L_2(0, l), \quad p \in C(0, l)$$

и справедливо неравенство



$$|K|_{L_2}^2 \leq \frac{8P^2(1-\nu^2)}{7Eh\ell} \left(K_0^2 \frac{Eh}{2(1+\nu)} - \max_{0 \leq x \leq \ell} \left| \frac{1}{\ell} \int_0^\ell dx \int_0^x P(\xi) d\xi - \int_0^x P(\xi) d\xi \right| \right). \quad (9)$$

Тогда существует решение $w \in \dot{W}_2^1(0, \ell) \cap W_2^2(0, \ell)$ задачи (3), (4).

Приближенное решение w_n задачи (3), (4) может быть найдено методом Бубнова-Галеркина. Совокупность приближенных решений w_n слабо компактна в пространстве $\dot{W}_2^1(0, \ell) \cap W_2^2(0, \ell)$. Каждый слабый предел w_n есть обобщенное решение задачи (3), (4).

Доказательство. Для нахождения решения задачи (3), (4) применим метод Бубнова-Галеркина. Построим последовательность приближений $\{w_n\}$, $n=1, 2, \dots$, в виде

$$w_n = \sum_{i=1}^{n1} w_{ni} \psi_i, \quad \psi_i = \sin \frac{iP x}{\ell}.$$

Коэффициенты w_{ni} определяются из конечной системы

$$(\Phi(w_n), \psi_i) = 0, \quad i=1, 2, \dots, n. \quad (10)$$

Покажем, что система (10) разрешима и выведем априорную оценку для w_n .

Всюду ниже буквой C с индексом обозначаются различные положительные постоянные, не зависящие от n .

Введем отображение $S: E_n \rightarrow E_n$. Для $v = (v_1, v_2, \dots, v_n) \in E_n$

$$S(v) = (s_1(v), s_2(v), \dots, s_n(v)),$$

где

$$s_i(v) = \frac{i^2 P^2}{\rho l} \left(\Phi \left(\sum_{j=1}^n v_j \sin \frac{jP x}{\ell} \right), \sin \frac{iP x}{\ell} \right).$$

Непрерывность отображений s_i , следствием которой является непрерывность S , проверить нетрудно.



Умножим теперь (10) на $-\frac{i2\pi^2}{\ell^2} W_{ni}$ и просуммируем по $i, i=1, 2, \dots, n$. Получим

$$\begin{aligned} (S(\omega_n), \omega_n)_0 &\equiv \mathcal{H}_n + (\alpha_2 k + q - \frac{\alpha_3}{\ell} (k, W_n) k + \\ &+ \alpha_4 - p W_n', W_n'') = 0, \end{aligned} \quad (11)$$

где

$$\begin{aligned} \omega_n &= (W_{n1}, W_{n2}, \dots, W_{nn}), \quad \mathcal{H}_n = (\alpha_1 + \frac{\alpha_3}{2\ell} |W_n|_1^2 - \\ &- \frac{\alpha_3}{\ell} (k, W_n)) |W_n|_2^2 + (\alpha_2 (W_n'')^2) + \frac{\alpha_3}{2\ell} (k, W_n'') |W_n|_1^2. \end{aligned}$$

Оценим \mathcal{H}_n . Применим неравенства Коши-Буняковского и Коши с ε -ом, а также очевидные неравенства

$$|W_n|_{\infty 2} \leq \frac{\ell}{\pi} |W_n|_1 \quad \text{и} \quad |W_n|_1 \leq \frac{\ell}{\pi} |W_n|_2.$$

Будем иметь

$$\begin{aligned} \mathcal{H}_n &\geq \left(\alpha_1 - |x_2|c - \frac{\alpha_3 |k|_{\infty 2} \varepsilon_1}{\ell} - \frac{\alpha_3 \ell |k|_{\infty 2} \varepsilon_2}{2\pi^2} \right) |W_n|_2^2 + \\ &+ \frac{\alpha_3}{2\ell} \left(1 - \frac{\ell^2 |k|_{\infty 2}}{2\pi^2 \varepsilon_1} - \frac{|k|_{\infty 2}}{4\varepsilon_2} \right) |W_n|_1^2 |W_n|_2^2. \end{aligned} \quad (12)$$

Теперь примем во внимание, что система неравенств

$$\varepsilon_1 > 0, \quad \varepsilon_2 > 0, \quad (13)$$

$$1 - a\varepsilon_1 - b\varepsilon_2 > 0,$$

$$1 - \frac{c}{\varepsilon_1} - \frac{d}{\varepsilon_2} > 0,$$

где $a, b, c, d > 0$ - произвольные заданные величины,

имеет по крайней мере одно решение $\varepsilon_1, \varepsilon_2$ тогда и только тогда, когда

$$(ac - bd)^2 - 2(ac + bd) + 1 > 0. \quad (14)$$

В сказанном легко убеждаемся с помощью вытекающих из (13) неравенств



$$\frac{d\varepsilon_1}{\varepsilon_1 - c} < \varepsilon_2 < \frac{1 - \alpha_1}{\delta}, \quad c < \varepsilon_1 < \frac{1}{a}, \quad d < \varepsilon_2 < \frac{1}{b}$$

Покажем теперь, что если справедливо (9), выражения в круглых скобках в (12) **положительны**. К указанным выражениям можно применить утверждение, сформулированное выше в отношении системы (13). Подставим в (14) $a = \alpha_3 |k|_{L_2} / e(\alpha_1 - |\alpha_2|c)$,

$$b = \alpha_3 e |k|_{L_2} / 2\pi^2(\alpha_1 - |\alpha_2|c), \quad c = e^2 |k|_{L_2} / 2\pi^2, \quad d = |k|_{L_2} / 4.$$

Получим квадратичное **неравенство** относительно $|k|_{L_2}$, которое либо эквивалентное ему неравенство (9) обеспечивают выполнение соотношения

$$A_n \geq (c_1 + c_2 |w_n|_1^2) |w_n|_2^2. \quad (15)$$

Оценим теперь A_n **сверху**. Получаем

$$\begin{aligned} |(\alpha_4, w_n'')| &\leq |\alpha_4|_{L_2} |w_n|_2 \leq c_3 \left\{ |w_n|_{L_2} \left[\int_0^e \left(\int_0^x |w_n(\xi)| d\xi \right)^2 dx \right]^{1/2} + \right. \\ &+ \left. \int_0^e \left(\int_0^x |w_n(\xi)| d\xi \right)^2 dx \right\}^{1/2} |w_n|_2 \leq c_4 (|w_n|_{L_2} + |w_n|_{L_1}) |w_n|_2 \leq \\ &\leq c_5 |k|_{L_2} |w_n|_2 \leq c_6 |w_n|_1 |w_n|_2. \end{aligned}$$

Кроме того,

$$\begin{aligned} |(p, w_n', w_n'')| &\leq c_7 |k|_{L_1} |w_n|_2, \quad \left| \left(\int_0^e k w_n dx, k w_n'' \right) \right| \leq c_8 |w_n|_1 |w_n|_2, \\ |(\alpha_2 k + q, w_n'')| &\leq c_9 |w_n|_2. \end{aligned}$$

В результате, **используя** (11), будем иметь

$$A_n \leq (c_6 + c_7 |w_n|_1) |w_n|_2. \quad (16)$$

Следствием (15) и (16) является существование таких c'_8

и c'_9 , что

$$c_9 (1 + |w_{n/1}|) |w_{n/2}|^2 \leq c_9 (1 + |w_{n/1}|) |w_{n/2}|.$$

Из последнего неравенства вытекает оценка

$$|w_{n/2}| \leq \text{const}. \quad (I7)$$

С помощью (I3), (I5) и (I6) нетрудно видеть, что

$$(S(\omega_n), \omega_n)_0 \geq c_{10} (1 + |w_{n/1}|)^2 |w_{n/2}|^2 - c_{11} (1 + |w_{n/1}|) |w_{n/2}|.$$

Отсюда заключаем, что при достаточно большой норме $\omega_n \in E_n$ справедливо неравенство $(S(\omega_n), \omega_n) > 0$.

Таким образом, выполняется условие "острого угла" /6/ и поэтому система (I0) разрешима.

(I7) дает право выделить из последовательности $\{w_n\}$ слабо сходящуюся подпоследовательность $\{w_{n_j}\}$:

$$\text{в } \dot{W}_2^1(0, \ell) \cap W_2^1(0, \ell) \quad w_{n_j} \longrightarrow w \quad \text{при } n_j \rightarrow \infty.$$

Отсюда следует, что

$$w_{n_j} \longrightarrow w \quad \text{в } \dot{W}_m^1(0, \ell), \quad (I8)$$

$$w_{n_j} \longrightarrow w \quad \text{в } L_m(0, \ell) \quad \forall m > 1. \quad (I9)$$

Далее, система функций $\psi_i, i = 1, 2, \dots$, полна в

$\dot{W}_2^1(0, \ell) \cap W_2^1(0, \ell)$. Поэтому, для того чтобы убедиться в том,

что w - решение задачи (3), (4), достаточно показать справедливость (8) при $\varphi = \psi_i$. С учетом (I8) и (I9) легко про-

веряется возможность предельного перехода при $n_j \rightarrow \infty$

$$\text{в } (\Phi(w_{n_j}), \psi_i) = 0 \quad /7/.$$

Теорема доказана.

По найденному w с помощью (6) и (7) строятся остальные искомые функции исходной задачи (I), (2).





ლიტერატურა

1. И.И.Ворович. Математические проблемы нелинейной теории оболочек. М.: Наука, 1989.
2. А.С.Вольгар. Нелинейная динамика пластинок и оболочек. М.: Наука, 1972.
3. Д.Г.Перадзе. О решении динамической системы одномерных уравнений Тимошенко //Тр.конф. "Современ.пробл.прикл.матем. и киберн." 21-23 декабря 1987 г., Тбилисс.гос.ун-т, 1991, с. 49-52.
4. M.Tucsnak. On the Initial end Boundary Value Problem for the Nonlinear Timoshenko Beam // An.Acad.Bras.Scienc., 1991,63,N 2,p.115-125.
5. Г.Корн , Т.Корн. Справочник по математике. М.: Наука, 1984.
6. Ю.А.Дубинский. Нелинейные эллиптические параболические уравнения. Итоги науки и техники. Совр.пробл.математики. М.: ВИНТИ, 1976, т.9, с.3-130.
7. А.Курфнер, С.Фучик. Нелинейные дифференциальные уравнения. М.: Наука, 1988.

3. ლიტერატურა

ქართული სასაბავშრო ათლეტიკის ფედერაციის ერთგვარობის

სახელმწიფოს

რ ე ბ ი უ მ ე

ფუნქციონირებს მოქალაქე ადრენილი გარსის სფეროებში რეკონსტრუქციის
თვის მუშაობდა არაწრფივი ამოცანის ამონახსნის არსებობა და მუშაობდა
მოდელირების მეთოდის კრებადობა $W_2^1(0, l) \cap W_2^2(0, l)$ სივრცეში.

V. Odisharia

ON THE BOUNDARY PROBLEM FOR TIMOSHENKO'S ONE-
DIMENSIONAL SYSTEM

S u m m a r y

The existence of a solution of the problem of static deformation of a shell in Timoshenko's model and of the convergence of the Bubnov-Galerkin process in $\overset{c}{W}_2^1(0, \ell) \cap W_2^1(0, \ell)$ space is demonstrated.

ნიც. ჯავახიშვილის სახელობის თბილისის სახელმწიფო

უნივერსიტეტის შრომები

316, 1993

f-მახიმოტიუბიანი კომპოზიციური სავაიბის ახვადი

პრობლემატიკის ახვადი

კ. მარტვილი

1. მარტივი მატირიუბიანი სავაიბის ახვადი

შევიხილოთ მარტივი მატირიუბიანი სავაიბის-ფუნქციური ახვადის აღმართი. მარტივი მატირიუბიანი სავაიბის ახვადი:

$$D = \{(x, y) : a \leq x \leq b, c \leq y \leq d\}. \quad (1)$$

აღმართი D-ში ბაი:

$$D_n = \{(x_k, y_l) : a = x_0 < x_1 < \dots < x_n = b; c = y_0 < y_1 < \dots < y_m = d\}. \quad (2)$$

D_n-ის ფუნქციური მატირიუბიანი f(x, y) ფუნქციის მარტივი მატირიუბიანი მატირიუბიანი ნარტირიუბიანი-კომპოზიციური მატირიუბიანი სავაიბის აღმართი, რომელიც სავაიბის ახვადი ახვადი მარტივი მატირიუბიანი:

1. $S(x, y; \xi_f) \in C^d(D)$;

აქ $C^d(D)$ არის D-არტივი არტირიუბიანი მარტივი უნივერსალ მატირიუბიანი ფუნქციონალი ახვადი.

2. D_n-ის ფუნქციური S(x, y; ξ_f) მატირიუბიანი შევიხილოთ სავაიბის მარტივი-კომპოზიციური მატირიუბიანი:

$$S(x, y; \xi_f) \Big|_{\{(x_k, y_l)\}} = \sum_{k=0}^n \sum_{l=0}^m \sigma_{k,l}^{k,l} (x_k - x)^k (y_l - y)^l. \quad (3)$$

3. D_n ბაიბის ფუნქციური S(x, y; ξ_f) მატირიუბიანი მატირიუბიანი მარტივი-მატირიუბიანი:

$$S(x_k, y_l; \xi_f) = f_{k,l} \in \xi_f \quad (k=0, \dots, n; l=0, \dots, m).$$

4. ფუნქციონალი S(x, y; ξ_f) მD-ში სავაიბის ახვადი მატირიუბიანი,



ճանաչողական:

$$\frac{\partial^2 S(x, y; z_f)}{\partial x^2} \Big|_{\partial D} = 0,$$

ստորագծով $\gamma(x, y)$ - ճանաչողական ∂D -ն ընդգրկում է:

Քայլեր ճանաչողականում, որոնք $\epsilon_{i,j}^{k,l}$ ճանաչողականներն են $S''_{xx}(x_k, y_l; z_f)$ -ն, $S''_{yy}(x_k, y_l; z_f)$ -ն և $S''_{xxyy}(x_k, y_l; z_f)$ -ն ճանաչողականներն են:

ճանաչողականները ճանաչողական սխալները և սխալները ճանաչողականում ճանաչողականները ճանաչողականում $S(x, y, z_f)$ -ն y -ն ճանաչողականները, որոնք $\epsilon_{i,j}^{k,l}$ ճանաչողականներն են $S''_{xx}(x_k, y_l; z_f)$ -ն, $S''_{yy}(x_k, y_l; z_f)$ -ն և $S''_{xxyy}(x_k, y_l; z_f)$ -ն ճանաչողականներն են:

$$S(x, y; z_f) = S''_{xx}(x_{i-1}, y; z_f) \frac{(x_i - x)^3}{6h_i} + S''_{xx}(x_i, y; z_f) \frac{(x - x_{i-1})^3}{6h_i} + [S(x_{i-1}, y; z_f) - \frac{1}{6} h_i^2 S''_{xx}(x_{i-1}, y; z_f)] \frac{x_i - x}{h_i} + [S(x_i, y; z_f) - \frac{1}{6} h_i^2 S''_{xx}(x_i, y; z_f)] \frac{x - x_{i-1}}{h_i}, \quad (4)$$

ստորագծով $h_i = x_i - x_{i-1}$. Ուր (4)-ում ճանաչողական $x_{i-1} = x_i - h_i$, ճանաչողական:

$$S(x, y; z_f) = [S''_{xx}(x_{i-1}, y; z_f) - S''_{xx}(x_i, y; z_f)] \frac{(x_i - x)^3}{6h_i} + \frac{1}{2} S''_{xx}(x_i, y; z_f) (x_i - x)^2 + [S(x_{i-1}, y; z_f) - S(x_i, y; z_f) - \frac{1}{6} h_i^2 S''_{xx}(x_{i-1}, y; z_f) - \frac{1}{3} S''_{xx}(x_i, y; z_f)] \frac{x_i - x}{h_i} + S(x_i, y; z_f). \quad (5)$$



ჩვენ ვხედავთ, რომ ორპო-პოლინომის სპეციფიკური ადგილის მონაცემი ადგილობრივი დასახლება $S''_{2,1}(x_i, y; z_f)$ და $S(x_i, y; z_f)$ ერთმანეთში მიღებული სპეციფიკური ადგილის ადგილობრივი მონაცემი. ეს მონაცემი ადგილობრივი ასეა:

1. $y = y_j$ ($j = 0, \dots, m$) წრფეების განხილვა ამოიხსნას ($m+1$) ერთმანეთში მიღებული სპეციფიკური ადგილის ამოცანები მოცემული მონაცემი წარმოებულადაა ფორმირებში, ე.ი. უნდა ამოიხსნას განხილვადაა სის-ფრეები

$$A_{h_n} M^{(j)} = H_{h_n} f^{(j)} \quad (j = 0, \dots, m), \quad (6)$$

სადაც A_{h_n} და H_{h_n} მატრიცები y_j -დან დასაზღვრებულია:

$$A_{h_n} = \begin{pmatrix} \frac{h_1+h_2}{3} & \frac{h_2}{6} & 0 & \dots & 0 & 0 \\ \frac{h_2}{6} & \frac{h_2+h_3}{3} & \frac{h_3}{6} & \dots & 0 & 0 \\ 0 & \frac{h_3}{6} & \frac{h_3+h_4}{3} & \dots & 0 & 0 \\ \dots & \dots & \dots & \dots & \dots & \dots \\ 0 & 0 & 0 & \frac{h_{n-1}}{6} & \frac{h_n+h_{n-1}}{3} & 0 \end{pmatrix}$$

$$H_{h_n} = \begin{pmatrix} \frac{1}{h_1} & \left(-\frac{1}{h_1} - \frac{1}{h_2}\right) & \frac{1}{h_n} & \dots & 0 & 0 \\ 0 & \frac{1}{h_2} & \left(-\frac{1}{h_2} - \frac{1}{h_3}\right) & \dots & 0 & 0 \\ \dots & \dots & \dots & \dots & \dots & \dots \\ 0 & 0 & 0 & \dots & \left(-\frac{1}{h_{n-1}} - \frac{1}{h_n}\right) & \frac{1}{h_n} \end{pmatrix} \quad (7)$$

H_n - ձվաճաշակ, H_n - մահճատես, ...

$$M^{(j)} = \begin{bmatrix} M_0^{(j)} \\ M_1^{(j)} \\ \vdots \\ M_n^{(j)} \end{bmatrix}, \quad f^{(j)} = \begin{bmatrix} f(x_0, y_j) \\ f(x_1, y_j) \\ \vdots \\ f(x_n, y_j) \end{bmatrix} \quad (8)$$

Ենթադրենք, որ $S''_{xx}(x, y; \vec{z}, f)$ ֆունկցիոն (որտեղ \vec{z} նախորդ-
ումը ձվաճաշակի ղեկավար y -ն ընդհանուր) մոնոտոնությունը D_n ժամանակ
վերահսկվում է $M_i^{(j)} = S''_{xx}(x_i, y_j; \vec{z}, f)$.

2. $x = x_i$ ֆունկցիոնի ճանաչողական շեղումը ստույգ ($n+1$)
ֆունկցիոնի սահմանային պայմանի ստույգությունը մոնոտոնության մեծացումը
ֆունկցիոնի, ց.՝ շեղումը ստույգությամբ ստույգություն:

$$H_n N^{(i)} = H_n f^{(i)} \quad (i = 0, \dots, n), \quad (9)$$

Սակայն H_n և H_n մատրիցաներ x_i - ժամանակակից են:

$$H_n = \begin{bmatrix} \frac{\tau_1 + \tau_2}{3} & \frac{\tau_2}{6} & 0 & \dots & 0 & 0 \\ \frac{\tau_2}{6} & \frac{\tau_2 + \tau_3}{3} & \frac{\tau_3}{6} & \dots & 0 & 0 \\ \dots & \dots & \dots & \dots & \dots & \dots \\ 0 & 0 & 0 & \dots & \frac{\tau_{m-1}}{6} & \frac{\tau_m + \tau_{m-1}}{3} \end{bmatrix}$$

$$H_n = \begin{bmatrix} \frac{1}{\tau_1} & \left(-\frac{1}{\tau_1} - \frac{1}{\tau_2}\right) & \frac{1}{\tau_2} & \dots & 0 & 0 \\ 0 & \frac{1}{\tau_2} & \left(-\frac{1}{\tau_2} - \frac{1}{\tau_3}\right) & \dots & 0 & 0 \\ \dots & \dots & \dots & \dots & \dots & \dots \\ 0 & 0 & 0 & \dots & \left(-\frac{1}{\tau_{m-1}} - \frac{1}{\tau_m}\right) & \frac{1}{\tau_m} \end{bmatrix}$$



A_τ - քվադրատ, H_τ - մահոկարծ,

$$N^{(i)} = \begin{bmatrix} N_0^{(i)} \\ N_1^{(i)} \\ \vdots \\ N_m^{(i)} \end{bmatrix}, \quad f^{(i)} = \begin{bmatrix} f(x_i, y_0) \\ f(x_i, y_1) \\ \vdots \\ f(x_i, y_m) \end{bmatrix} \quad (11)$$

Եղբայր մոտոյն $S''_{yy}(x, y; \xi_f)$ Գրեյնոն (հոմոլոյն Եպրոյնոյն քննոյն x -ոն մոմոն) մոնոյնոյնոյն D_h ծոյն քննոյնոյն $N_j^{(i)} = S''_{yy}(x_i, y_j; \xi_f)$.

3. $S(x, y; \xi_f)$ Գրեյնոն մոնոյնոյնոյն Գմոյնոյն (x_{i-1}, y) Երոյնոյնոյն Գմոյնոյն Գմոյնոյնոյն Եպրոյնոյն:

$$S(x_{i-1}, y; \xi_f) = N_{j-1}^{(i-1)} \frac{(y_j - y)^3}{6\tau_j} + N_j^{(i-1)} \frac{(y - y_{j-1})}{6\tau_j} + \left[f(x_{i-1}, y_{j-1}) - \tau_j^2 \frac{N_{j-1}^{(i-1)}}{6} \right] \frac{y_j - y}{\tau_j} + \left[f(x_{i-1}, y_j) - \frac{\tau_j^2}{6} N_j^{(i-1)} \right] \frac{y - y_{j-1}}{\tau_j}, \quad (12)$$

Են, ոյն Գմոյնոյն $y_{j-1} = y_j - \tau_j$,

$$S(x_{i-1}, y; \xi_f) = (N_{j-1}^{(i-1)} - N_j^{(i-1)}) \frac{(y_j - y)^3}{6\tau_j} + \frac{1}{2} N_j^{(i-1)} (y_j - y)^2 + f(x_{i-1}, y_{j-1}) - f(x_{i-1}, y_j) - \frac{\tau_j^2}{6} N_{j-1}^{(i-1)} - \tau_j^2 \frac{N_j^{(i-1)}}{3} \left] \frac{y_j - y}{\tau_j} + f(x_{i-1}, y_j). \quad (13)$$

Ենոյնոյնոյն,

$$S(x_i, y; \xi_f) = N_{j-1}^{(i)} \frac{(y_j - y)^3}{6\tau_j} + N_j^{(i)} \frac{(y - y_{j-1})}{6\tau_j} + \left[f(x_i, y_{j-1}) - \frac{N_{j-1}^{(i)} \tau_j^2}{6} \right] \frac{y_j - y}{\tau_j} + \left[f(x_i, y_j) - \frac{N_j^{(i)} \tau_j^2}{6} \right] \frac{y - y_{j-1}}{\tau_j}. \quad (14)$$

սԵ

$$S'(x_i, y, \xi_j) = (N_{j-1}^{(i)} - N_j^{(i)}) \frac{(y_j - y)^3}{6\tau_j} + \frac{1}{2} N_j^{(i)} (y_j - y)^2 + \left[f(x_i, y_{j-1}) - f(x_i, y_j) - \frac{\tau_j^2}{6} N_{j-1}^{(i)} - \frac{\tau_j^2}{3} N_j^{(i)} \right] \frac{y_j - y}{\tau_j} + f(x_i, y_j) \quad (15)$$

4. $x = x_i$ ($i=0, \dots, n$) երջյունի զանգված թարմացրոցող $(n+1)$ սիմուլան $S''_{xx}(x, y; \xi_j)$ զանգվածի զրոգանհոմոլոգիանը սխալոն-ոնցրոմոլոգիան, սմ սիմուլանցի թարմացրոց թցնսժոլոլոս չլոհրոհոն 1 զցսնի թցնհրոլոնի թցժոլոլ, զոնսրսն ոհո ժոսժոլոլ $S''_{xx}(x, y; \xi_j)$ -ոն թնիթցնհոլոլոն զցսնոհո երջոլոլոն, զ.ո. յնրս սիմոնսնսն սոնցրոլոլ

$$H_{\tau} K^{(i)} = H_{\tau} S''_{xx}^{(i)} \quad (i=0, \dots, n), \quad (16)$$

սոսոլ

$$K^{(i)} = \begin{bmatrix} K_0^{(i)} \\ K_1^{(i)} \\ \vdots \\ K_m^{(i)} \end{bmatrix}, \quad S''_{xx}^{(i)} = \begin{bmatrix} S''_{xx}(x_i, y_0) \\ S''_{xx}(x_i, y_1) \\ \vdots \\ S''_{xx}(x_i, y_m) \end{bmatrix} \quad (17)$$

թցրոլոլ թոհոլոլ $S''_{xxyy}(x, y; \xi_j)$ զանգվածի թնիթցնհոլոլոն զցսն-ոհո երջոլոլոն. $K_j^{(i)} = S''_{xxyy}(x, y; \xi_j)$.

5. $S''_{xx}(x, y; \xi_j)$ զանգվածի թնիթցնհոլոլոն զսնոհոլ (x_{i-1}, y) ու (x_i, y) երջոլոլոնի թցժոլոլոլ զոհրոլոլոնի թոնցրոլոլ:

$$S''_{xx}(x_{i-1}, y; \xi_j) = K_{j-1}^{(i-1)} \frac{(y_i - y)^3}{6\tau_j} + K_j^{(i-1)} \frac{(y - y_{j-1})^3}{6\tau_j} + \left(M_{i-1}^{(j-1)} - \frac{\tau_j^2}{6} K_{j-1}^{(i-1)} \right) \frac{y_i - y}{\tau_j} + \left(M_{i-1}^{(j)} - \frac{\tau_j^2}{6} K_j^{(i-1)} \right) \frac{y - y_{j-1}}{\tau_j} \quad (18)$$

սԵ

(19)

$$S''_{xx}(x_{i-1}, y; \bar{x}_f) = (K_{j-1}^{(i-1)} - K_j^{(i-1)}) \frac{(y_j - y)^3}{6\tau_j} + \frac{1}{2} K_j^{(i-1)} (y_j - y)^2 +$$

$$+ \left[M_{i-1}^{(j-1)} - M_{i-1}^{(j)} - \frac{\tau_j^2}{6} K_{j-1}^{(i-1)} - \frac{\tau_j^2}{6} K_j^{(i-1)} \right] \frac{y_i - y}{\tau_j} + M_{i-1}^{(j)}$$

սնարկումը

$$S''_{xx}(x_i, y; \bar{x}_f) = K_{j-1}^{(i)} \frac{(y_j - y)^3}{6\tau_j} + K_j^{(i)} \frac{(y - y_{j-1})^3}{6\tau_j} +$$

$$+ \left(M_i^{(j-1)} - \frac{\tau_j^2}{6} K_{j-1}^{(i)} \right) \frac{y_j - y}{\tau_j} + \left(M_i^{(j)} - \frac{\tau_j^2}{6} \right) \frac{y - y_{j-1}}{\tau_j},$$

(20)

ս5

$$S''_{xx}(x_i, y; \bar{x}_f) = (K_{j-1}^{(i)} - K_j^{(i)}) \frac{(y_j - y)^3}{6\tau_j} +$$

$$+ \frac{1}{2} K_j^{(i)} (y_j - y)^2 + \left[M_i^{(j-1)} - M_i^{(j)} - \frac{\tau_j^2}{6} K_{j-1}^{(i)} - \right.$$

$$\left. - \frac{\tau_j^2}{6} K_j^{(i)} \right] \frac{y_j - y}{\tau_j} + M_i^{(j)}$$

(21)

6. (4) ս6 (5) օրինակներից սահմանափակումը որպես ընդհանուր դեպքի համարժեք է կարող է ընդհանուր դեպքի համարժեքը սահմանափակել:

$$S(x, y; \bar{x}_f) = \left\{ \left[(K_{j-1}^{(i-1)} - K_j^{(i-1)}) - (K_{j-1}^{(i)} - K_j^{(i)}) \right] \frac{(y_j - y)^3}{6\tau_j} + \right.$$

$$+ \frac{1}{2} (K_{j-1}^{(i-1)} - K_j^{(i)}) (y_j - y)^2 + \left[(M_{i-1}^{(j-1)} - M_{i-1}^{(j)}) - (M_{i-1}^{(j)} - M_i^{(j)}) - \right.$$

$$\left. - \frac{\tau_j^2}{6} (K_{j-1}^{(i-1)} - K_{j-1}^{(i)}) - \frac{\tau_j^2}{6} (K_j^{(i-1)} - K_j^{(i)}) \right] \frac{y_j - y}{\tau_j} +$$

$$+ (M_{i-1}^{(j)} - M_i^{(j)}) \left\} \frac{(\tau_i - x)^3}{6\tau_j} + \frac{1}{2} \left\{ (K_{j-1}^{(i)} - K_j^{(i)}) \frac{(y_j - y)^3}{6\tau_j} + \right.$$

$$+ \frac{1}{2} K_j^{(i)} (y_j - y)^2 + \left[M_i^{(j-1)} - M_i^{(j)} - \frac{\tau_j^2}{6} K_{j-1}^{(i)} - \frac{\tau_j^2}{6} K_j^{(i)} \right] \frac{y_i - y}{\tau_j} +$$

$$\begin{aligned}
 & + M_i^{(j)} \} (x_i - x)^2 + \left\{ \left[(N_{j-1}^{(i-1)} - N_j^{(i-1)}) - (N_{j-1}^{(i)} - N_j^{(i)}) \right] \frac{(y_i - y)^3}{6\tau_j} + \right. \\
 & + \frac{1}{2} (N_{j-1}^{(i-1)} - N_j^{(i)}) (y_j - y)^2 + \left[f(x_{i-1}, y_{j-1}) - f(x_{i-1}, y_j) - \right. \\
 & - \left. \left. (f(x_i, y_{j-1}) - f(x_i, y_j)) - \frac{\tau_j^2}{6} (N_{j-1}^{(i-1)} - N_{j-1}^{(i)}) - \frac{\tau_j^2}{3} (N_j^{(i-1)} - \right. \right. \\
 & - \left. \left. N_j^{(i)}) \right] \frac{y_j - y}{\tau_j} + (f(x_{i-1}, y_j) - f(x_i, y_j)) - \frac{1}{6} h_i^2 \left[(K_{j-1}^{(i-1)} - K_j^{(i-1)}) \frac{(y_j - y)^3}{6\tau_j} + \right. \right. \\
 & + \left. \frac{1}{2} K_j^{(i-1)} (y_j - y)^2 + \left[M_{i-1}^{(j-1)} - M_{i-1}^{(j)} - \frac{\tau_j^2}{6} K_{j-1}^{(i-1)} - \frac{\tau_j^2}{6} K_j^{(i-1)} \right] \frac{y_j - y}{\tau_j} + \right. \\
 & + \left. M_{i-1}^{(j)} \right] - \frac{1}{3} h_i^2 \left[(K_{j-1}^{(i)} - K_j^{(i)}) \frac{(y_j - y)^3}{6\tau_j} + \frac{1}{2} K_j^{(i)} (y_j - y)^2 + \left[M_i^{(j-1)} - M_i^{(j)} - \right. \right. \\
 & - \left. \left. \frac{\tau_j^2}{6} K_{j-1}^{(i)} - \frac{\tau_j^2}{6} K_j^{(i)} \right] \frac{y_j - y}{\tau_j} + M_i^{(j)} \right] \} \frac{x_i - x}{h_i} + \left\{ (N_{j-1}^{(i)} - \right. \\
 & - N_j^{(i)}) \frac{(y_j - y)^3}{6\tau_j} + \frac{1}{2} N_j^{(i)} (y_j - y)^2 + \left[f(x_i, y_{j-1}) - f(x_i, y_j) - \frac{\tau_j^2}{6} N_{j-1}^{(i)} - \right. \\
 & \left. \left. - \frac{\tau_j^2}{3} N_j^{(i)} \right] \frac{y_j - y}{\tau_j} + f(x_i, y_j) \right\} \quad (22)
 \end{aligned}$$

2. Խրճանճոժովըծովանն Նճրանըծովն սգըծա սնդրըծով ըսճոժըծովըծովն ցըրճոժըծովն

սըսճոժ $S(x, y; \zeta, f)$ ճըսնճոժ ըսճրճովըծովն ցըսըծով ըսըսճրճովն ժոժսճոժ ժոժսն սնդրըծով ըսճոժըծովըծովն ցըրճոժըծովն, ը.ճ. $S_{x, y}^{k, l}$ ըսճոժսըսըծովն $S'_x(x_k, y_l; \zeta, f)$ -նս ըս $S''_{xy}(x_k, y_l; \zeta, f)$ -նս ըսըսըծովն.



ժամանակը Ծրմեծացում, ուրիշ հոգործ և՛ Լուսինն սցենարն
 Թմերցումն Գրմինքմն, և՛ Լուսինն սցենարն սլոգորն Բանցանքն
 Գրմեծացումն Ծրմեծացումն:

$S(x, y; \xi, f)$ - մի y ժամանակը հոգործ և՛ Լուսինն. Թմերցումն
 Թմերցումն Գրմինքմն և՛ Լուսինն և՛ Լուսինն և՛ Լուսինն և՛ Լուսինն
 Թմերցումն և՛ Լուսինն և՛ Լուսինն / 1 /, / 2 / :

$$\begin{aligned}
 S(x, y; \xi, f) &= S'_x(x_{j-1}, y; \xi, f) \frac{(x_j - x)^2 (x - x_{j-1})}{h_j^3} - \\
 &- S'_x(x_j, y; \xi, f) \frac{(x - x_{j-1})^2 (x_j - x)}{h_j^3} + \\
 &+ S(x_{j-1}, y; \xi, f) \frac{(x_j - x)^2 [2(x - x_{j-1}) + h_j]}{h_j^3} + \\
 &+ S(x_j, y; \xi, f) \frac{(x - x_{j-1})^2 [2(x_j - x) + h_j]}{h_j^3}, \\
 &x \in (x_{j-1}, x_j), \quad (27)
 \end{aligned}$$

և՛ Լուսինն $h_j = x_j - x_{j-1}$, $j = 1, \dots, m$.

Բեղն ջեղացում, հոգ Թմերցումն և՛ Լուսինն սցենարն սլոգորն
 Թմերցումն Գրմինքմն Բանցանքն $S'_x(x_j, y; \xi, f)$ և՛
 $S(x_j, y; \xi, f)$ Գրմեծացումն և՛ Լուսինն սցենարն սլոգորն
 Թմերցումն և՛ Լուսինն և՛ Լուսինն և՛ Լուսինն և՛ Լուսինն:

Թմերցումն սլոգորն և՛ Լուսինն:

1. $x = x_j$ Թմերցումն Գրմինքմն Թմերցումն $(m+1)$ Գրմեծացումն
 Թմերցումն և՛ Լուսինն սցենարն սլոգորն Թմերցումն Թմերցումն
 Թմերցումն:

$$B^{(j)} = C^{(j)}, \quad j = 0, \dots, m, \quad (24)$$

և՛ Լուսինն սլոգորն և՛ Լուսինն Թմերցումն Թմերցումն:

$$B^{(j)} = \begin{bmatrix} \lambda & N_0^{(j)} & 0 & \dots & 0 \\ A_1 & B & & & \vdots \\ C & & & & 0 \\ \vdots & & & & \\ 0 & 0 & A_n^{(j)} & N_{m-1} & \lambda \end{bmatrix}, \quad (25)$$

ხოლო მატრიცა $B_{(n-1) \times (n-1)}$ -ის j -ვან დამოუკიდებელი მატრიცაა:

$$B = \begin{pmatrix} 2 & \mu_1 & 0 & 0 & 0 & 0 \\ \mu_2 & 2 & \mu_2 & 0 & 0 & 0 \\ 0 & \mu_3 & 2 & 0 & 0 & 0 \\ \vdots & \vdots & \vdots & \vdots & \vdots & \vdots \\ 0 & 0 & 0 & 2 & \mu_{n-3} & 0 \\ 0 & 0 & 0 & \mu_{n-2} & 2 & \mu_{n-2} \\ 0 & 0 & 0 & 0 & \mu_{n-1} & 2 \end{pmatrix} \quad (26)$$

სადაც $\mu_K = 1 - \lambda_K$, $\lambda_K = \frac{h_{K+1}}{h_K + h_{K+1}}$, $K = 1, \dots, (n-1)$,

$\mu_0^{(j)}$, $\mu_n^{(j)}$, $\lambda_n^{(j)}$, $\mu_n^{(j)}$ დანიშნულებებიდან სასაბჭოვერო პირობებიდან.

$$m^{(j)} = \begin{pmatrix} m_0^{(j)} \\ \vdots \\ m_n^{(j)} \end{pmatrix}, \quad c^{(j)} = \begin{pmatrix} c_0^{(j)} \\ \vdots \\ c_n^{(j)} \end{pmatrix}, \quad (27)$$

$$m_K^{(j)} = S_y'(x_j, y_K; \tilde{z}_f), \quad K = 0, \dots, n,$$

$$c_K^{(j)} = 3\lambda_K \frac{f(x_j, y_K) - f(x_j, y_{K-1})}{h_K} + 3\mu_K \frac{f(x_j, y_{K+1}) - f(x_j, y_K)}{h_{K+1}},$$

$K = 1, \dots, (n-1),$

ხოლო $c_0^{(j)}$ და $c_n^{(j)}$ აიღება სასაბჭოვერო პირობებიდან.

$y = y_K$ ($K = 0, \dots, n$) ნიშნულებს ვასწავროვ უნდა ამოიხსნას ($n+1$) ურთხვენიანი სპალინიის ადგილის ამოცანა მოცემული დანართებიდან ვერძინებში:

$$\tilde{B}^{(K)} \tilde{m}^{(K)} = \tilde{C}^{(K)}, \quad K = 0, \dots, n, \quad (28)$$



սարգ

$$\tilde{B}^{(k)} = \begin{bmatrix} \lambda & \tilde{f}_c^{(k)} & 0 & \dots & 0 \\ \tilde{h}_1 & & & & \vdots \\ 0 & & \tilde{B} & & 0 \\ \vdots & & & & \tilde{f}_{m-1} \\ 0 & \dots & 0 & \tilde{h}_m^{(k)} & \lambda \end{bmatrix} \quad (29)$$

տեղի մաթրիցի $\tilde{B}_{(m-1) \times (m-1)}$ - Յան ռաժոստրոք մեղան:

$$\tilde{B} = \begin{bmatrix} \lambda & \tilde{h}_1 & 0 & \dots & 0 & 0 & 0 \\ \tilde{h}_2 & \lambda & \tilde{h}_2 & \dots & 0 & 0 & 0 \\ \dots & \dots & \dots & \dots & \dots & \dots & \dots \\ 0 & 0 & 0 & \dots & \lambda & \tilde{h}_{m-3} & 0 \\ 0 & 0 & 0 & \dots & \tilde{h}_{m-2} & \lambda & \tilde{h}_{m-2} \\ 0 & 0 & 0 & \dots & 0 & \tilde{h}_{m-1} & \lambda \end{bmatrix} \quad (30)$$

սարգ $\tilde{h}_j = \frac{\tilde{h}_{j+1}}{\tilde{h}_j + \tilde{h}_{j+1}}$, $\tilde{h}_j = x_j - x_{j-1}$, $\tilde{h}_j = 1 - \tilde{h}_j$, $j = 1, \dots, (m-1)$,
 $\tilde{h}_0^{(k)}, \tilde{h}_m^{(k)}, \tilde{h}_n^{(k)}, \tilde{h}_n^{(k)}$ - Յան ռաժոստրոք մեղան սահմանային սահմանային սահմանային:

$$\tilde{m}^{(k)} = \begin{bmatrix} \tilde{m}_0^{(k)} \\ \vdots \\ \tilde{m}_m^{(k)} \end{bmatrix}, \quad \tilde{c}^{(k)} = \begin{bmatrix} \tilde{c}_0^{(k)} \\ \vdots \\ \tilde{c}_m^{(k)} \end{bmatrix} \quad (31)$$

$$\tilde{m}_j^{(k)} = S'_x(x_j, y_k; \tilde{z}_f), \quad j = 0, \dots, m.$$

$\tilde{c}_0^{(k)}, \tilde{c}_m^{(k)}$ սահմանային սահմանային սահմանային:

$$\tilde{c}_j^{(k)} = 3\tilde{h}_j \frac{f(x_j, y_k) - f(x_{j-1}, y_k)}{\tilde{h}_j} + 3\tilde{h}_j \frac{f(x_{j+1}, y_k) - f(x_j, y_k)}{\tilde{h}_{j+1}},$$

$j = 1, \dots, (m-1)$

2. $S(x, y; \tilde{z}_f)$

ճանրոս ծնոժճնոթոթոթոթ յանրոթոթ

(x_{j-1}, y) և (x_j, y) ճանրոթոթոթ ծնոթոթոթ ճանրոթոթոթ սահմանային:

$$\begin{aligned}
 S(x_{j-1}, y; \bar{z}_f) &= m_{\kappa-1}^{(j-1)} \frac{(y_{\kappa}-y)^2(y-y_{\kappa-1})}{h_{\kappa}^2} - m_{\kappa}^{(j-1)} \frac{(y-y_{\kappa-1})^2(y_{\kappa}-y)}{h_{\kappa}^2} + \\
 &+ f(x_{j-1}, y_{\kappa-1}) \frac{(y_{\kappa}-y)^2[2(y-y_{\kappa-1})+h_{\kappa}]}{h_{\kappa}^3} + \\
 &+ f(x_{j-1}, y_{\kappa}) \frac{(y-y_{\kappa-1})^2[2(y_{\kappa}-y)+h_{\kappa}]}{h_{\kappa}^3}, \quad y \in [y_{\kappa-1}, y_{\kappa}], \kappa=1, \dots, n.
 \end{aligned}
 \tag{32}$$

սնարկը շրջառ

$$\begin{aligned}
 S(x_j, y; \bar{z}_f) &= m_{\kappa-1}^{(j)} \frac{(y_{\kappa}-y)^2(y-y_{\kappa-1})}{h_{\kappa}^2} - m_{\kappa}^{(j)} \frac{(y-y_{\kappa-1})^2(y_{\kappa}-y)}{h_{\kappa}^2} + \\
 &+ f(x_j, y_{\kappa-1}) \frac{(y_{\kappa}-y)^2[2(y-y_{\kappa-1})+h_{\kappa}]}{h_{\kappa}^3} + \\
 &+ f(x_j, y_{\kappa}) \frac{(y-y_{\kappa-1})^2[2(y_{\kappa}-y)+h_{\kappa}]}{h_{\kappa}^3}, \quad y \in [y_{\kappa-1}, y_{\kappa}], \kappa=1, \dots, n.
 \end{aligned}
 \tag{33}$$

3. $T = T_j$ ($j = 0, \dots, m$) Ծրագրի մասերից յնձր սմոուսնան ($m+1$) յրեզաննեուրընանն սնարանն սցընն սմուանա ուցընըրո ըսնրնըոնը-ծոն ջրնոնընոն:

$$E_n^{(j)} = d^{(j)}, \quad j=0, \dots, m, \tag{34}$$

Սնարկ սրսնըրոնըրո սնարանընն սցընաըրանն մսրնըրոն սնըոն:

$$E_n^{(j)} = \left[\begin{array}{ccccccc}
 2 & \bar{h}_0^{(j)} & 0 & \dots & 0 & & \\
 \bar{h}_1 & & & & & & \\
 0 & & B & & & & \\
 \vdots & & & & & & \\
 0 & & 0 & \bar{h}_n^{(j)} & 2 & &
 \end{array} \right] \tag{35}$$



სადაც მარცხენი $B_{(n-1) \times (n-1)}$ მარცვმულია (25) ფორმულით, ხოლო $\bar{A}_0^{(j)}$, $\bar{A}_n^{(j)}$, $\bar{A}_n^{(j)}$ და $\bar{A}_n^{(j)}$ განისაზღვრებულია შესაბამისი სასაზღვრო პირობებით:

$$\pi^{(j)} = \begin{bmatrix} \pi_0^{(j)} \\ \vdots \\ \pi_n^{(j)} \end{bmatrix}, \quad d^{(j)} = \begin{bmatrix} d_0^{(j)} \\ \vdots \\ d_n^{(j)} \end{bmatrix} \quad (36)$$

$$\pi_k^{(j)} = S''_{xy}(x_j, y_k; \bar{z}_j), \quad k=0, \dots, n$$

$$d_k^{(j)} = 3\bar{A}_k \frac{S'_x(x_j, y_k) - S'_x(x_j, y_{k-1})}{h_k} + 3\bar{A}_{k+1} \frac{S'_x(x_j, y_{k+1}) - S'_x(x_j, y_k)}{h_{k+1}}, \quad k=1, \dots, (n-1),$$

ხოლო $d_0^{(j)}$ და $d_n^{(j)}$ აიღება სასაზღვრო პირობებიდან. $S'_x(x_j, y_k)$ რიცხვები გამოითვლება ადგილობრივ 1-ე ეტაპზე.

4. $S'_x(x_j, y; \bar{z}_j)$ ფუნქციის მნიშვნელობა გამოვლავ (x_{j-1}, y) და (x_j, y) წინაფორმებში შედგენი ფორმულებს საფუძვლებზე:

$$\begin{aligned} S'_x(x_{j-1}, y; \bar{z}_j) &= \pi_{k-1}^{(j-1)} \frac{(y_k - y)^2 (y - y_{k-1})}{h_k^2} - \\ & \pi_k^{(j-1)} \frac{(y - y_{k-1})^2 (y_k - y)}{h_k^2} + \\ & + S'_x(x_{j-1}, y_{k-1}) \frac{(y_k - y)^2 [2(y - y_{k-1}) + h_k]}{h_k^3} + \\ & + S'_x(x_{j-1}, y_k) \frac{(y - y_{k-1})^2 [2(y_k - y) + h_k]}{h_k^3}, \end{aligned} \quad (37)$$

$$y \in [y_{k-1}, y_k], \quad k=1, \dots, n.$$

ანალოგიურად

$$S'_x(x_j, y; \bar{z}_j) = \pi_{k-1}^{(j)} \frac{(y_k - y)^2 (y - y_{k-1})}{h_k^2} - \pi_k^{(j)} \frac{(y - y_{k-1})^2 (y_k - y)}{h_k^2} +$$

$$S'_x(x_j, y_{k-1}) \frac{(y_k - y)^2 [2(y - y_{k-1}) + h_k]}{h_k^3} +$$

$$+ S'_x(x_j, y_k) \frac{(y - y_{k-1})^2 [2(y_k - y) + h_k]}{h_k^3}, \quad (38)$$

$$y \in [y_{k-1}, y_k], \quad k=1, \dots, n,$$

სადაც $S'_x(x_j, y_k)$ რიგბევების გამოთვლა ხდება 1-ე ეტაპზე.

5. მნიშვნელოვანი სპეციფიკური აგება დახრილობების ფრთხილად: აღვთქვამთ მ-2 და მ-4 ეტაპზე გამოთვლილი ურთავნობითობის სპეციფიკური y ცვლადის მიმართ მ-3-ის ფორმულაში. მიიღება ფორმულა:

$$S(x, y; \xi, \eta) = \left\{ n_{k-1}^{(j-1)} \frac{(y_k - y)^2 (y - y_{k-1})}{h_k^2} - n_k^{(j-1)} \frac{(y - y_{k-1})^2 (y_k - y)}{h_k^2} + \right.$$

$$+ S'_x(x_{j-1}, y_{k-1}) \frac{(y_k - y)^2 [2(y - y_{k-1}) + h_k]}{h_k^3} +$$

$$\left. + S'_x(x_{j-1}, y_k) \frac{(y - y_{k-1})^2 [2(y_k - y) + h_k]}{h_k^3} \right\} \frac{(x_j - x)^2 (x - x_{j-1})}{h_j^2}$$

$$- \left\{ n_{k-1}^{(j)} \frac{(y_k - y)^2 (y - y_{k-1})}{h_k^2} - n_k^{(j)} \frac{(y - y_{k-1})^2 (y_k - y)}{h_k^2} + \right.$$

$$\left. + S'_x(x_j, y_{k-1}) \frac{(y_k - y)^2 [2(y - y_{k-1}) + h_k]}{h_k^3} \right\}, \quad (39)$$

$$+ S'_x(x_j, y_k) \frac{(y - y_{k-1})^2 [2(y_k - y) + h_k]}{h_k^3} \left. \vphantom{S'_x} \right\} \frac{(x - x_{j-1})^2 (x_j - x)}{h_j^2} +$$

$$+ \left\{ m_{k-1}^{(j-1)} \frac{(y_k - y)^2 (y - y_{k-1})}{h_k^2} - m_k^{(j-1)} \frac{(y - y_{k-1})^2 (y_k - y)}{h_k^2} \right. +$$

$$+ f(x_{j-1}, y_{k-1}) \frac{(y_k - y)^2 [2(y - y_{k-1}) + h_k]}{h_k^3} +$$

$$+ f(x_{j-1}, y_k) \frac{(y - y_{k-1})^2 [2(y_k - y) + h_k]}{h_k^3} \left. \vphantom{f} \right\} \frac{(x_j - x)^2 [2(x - x_{j-1}) + h_j]}{h_j^3} +$$

$$+ \left\{ m_{k-1}^{(j)} \frac{(y_k - y)^2 (y - y_{k-1})}{h_k^2} - m_k^{(j)} \frac{(y - y_{k-1})^2 (y_k - y)}{h_k^2} \right. +$$

$$+ f(x_j, y_{k-1}) \frac{(y_k - y)^2 [2(y - y_{k-1}) + h_k]}{h_k^3} +$$

$$+ f(x_j, y_k) \frac{(y - y_{k-1})^2 [2(y_k - y) + h_k]}{h_k^3} \left. \vphantom{f} \right\} \frac{(x - x_{j-1})^2 [2(x_j - x) + h_j]}{h_j^3} +$$

$(x, y) \in [x_{j-1}, x_j; y_{k-1}, y_k], j=1, \dots, m; k=1, \dots, n.$

შევნიშნოთ, რომ (24), (28) და (34) სისფრემებს ვხსნივთ ფაქტორიზაციის მეშვეობით /3/.

3. p -განზომილებიანი სპლინის აგების ამოცანა

p -განზომილებიანი სპლინის აგების ამოცანა ფაქტორიზაცია შემდეგნაირად:

განვიხილოთ p -განზომილებიანი სპლინის აგების ამოცანა

$$D = \{(x_1, \dots, x_p) : a_1 \leq x_1 \leq b_1, \dots, a_p \leq x_p \leq b_p\}. \quad (40)$$

ავიღოთ D -ში ბაჟი:

$$D_{\kappa} = \{(x_{1\kappa_1}, \dots, x_{p\kappa_p}) : a_1 \equiv x_{10} < x_{11} < \dots < x_{1n_1} \equiv b_1, \kappa_1 \in \{1, \dots, n_1\}; \\ \dots; a_p \equiv x_{p0} < x_{p1} < \dots < x_{pn_p} \equiv b_p, \kappa_p \in \{1, \dots, n_p\}\}. \quad (41)$$

ვთქვათ D -ზე მოცემულია $f(x_1, \dots, x_p)$ ფუნქცია.

ამ ფუნქციის მნიშვნელობების მიხედვით, რომლებიც მოცემულია D_{κ} ბაჟის უკანით ნერვული ქსელის მიხედვით, უნდა ავაგოთ ნაყრობრივი p -ე კვანძის პოლინომი $S(x_1, \dots, x_p; \tilde{z}_f)$, რომელიც აკმაყოფილებს შემდეგ პირობებს:

1. $S(x_1, \dots, x_p; \tilde{z}_f) \in C^d(D)$,

2. D_{κ} -ის ყოველი p -განზომილებიანი უკანით

$S(x_1, \dots, x_p; \tilde{z}_f)$ ნარჩენად გენს შემდეგით სახის p -ე კვანძის პოლინომს:

$$S(x_1, \dots, x_p; \tilde{z}_f) \Big|_{\{(x_{1\kappa_1}, \dots, x_{p\kappa_p})\}} = \\ = \sum_{i_1=0}^3 \dots \sum_{i_p=0}^3 \epsilon_{i_1, \dots, i_p}^{\kappa_1, \dots, \kappa_p} (x_{1\kappa_1} - x_1)^{i_1} \dots (x_{p\kappa_p} - x_p)^{i_p}. \quad (42)$$

3. D_{κ} -ის ნერვული ქსელის $S(x_1, \dots, x_p; \tilde{z}_f)$ უკანით მოცემული მნიშვნელობები:



$$S(x_{1k_1}, \dots, x_{pk_p}; \xi_f) = f(x_{1k_1}, \dots, x_{pk_p}) \in \xi_f,$$

$$k_1 = 0, \dots, n_1; \quad k_p = 0, \dots, n_p.$$

4. ფუნქცია $S(x_1, \dots, x_p; \xi_f)$ მდ-ზე ავტომატურად ბარ კვანძ

პირობებს. ვთქვათ

$$\frac{\partial^2 S(x_1, \dots, x_p; \xi_f)}{\partial x_1^2} \Big|_{\text{მდ}} = 0,$$

სადაც (x_1, \dots, x_p) - მარჯ ნიშნულია მდ-ის მიმართ.

ანალოგიურად $p=2$ შემთხვევისა, x_2, \dots, x_p მანვიხილთ როგორც მარა მდებარეობს, მაშინ (4) ფორმულის განმარტება იქნება:

$$\begin{aligned} S(x_1, \dots, x_p; \xi_f) &= S''_{x_1 x_1}(x_{1k_1-1}, x_2, \dots, x_p; \xi_f) \frac{(x_{1k_1} - x_1)^3}{6h_{1k_1}} + \\ &+ S''_{x_1 x_1}(x_{1k_1}, x_2, \dots, x_p; \xi_f) \frac{(x_1 - x_{1k_1-1})^3}{6h_{1k_1}} + [S(x_{1k_1-1}, x_2, \dots, x_p; \xi_f) - \\ &- \frac{1}{6} h_{1k_1}^2 S''_{x_1 x_1}(x_{1k_1-1}, x_2, \dots, x_p; \xi_f)] \frac{x_{1k_1} - x_1}{h_{1k_1}} + \\ &+ [S(x_{1k_1}, x_2, \dots, x_p; \xi_f) - \frac{1}{6} h_{1k_1}^2 S''_{x_1 x_1}(x_{1k_1}, x_2, \dots, x_p; \xi_f)] \times \\ &\times \frac{x_1 - x_{1k_1-1}}{h_{1k_1}}. \end{aligned} \tag{43}$$

ამ ფორმულაში შემავალი ფუნქციები $S(x_{1k_1}, x_2, \dots, x_p; \xi_f)$ და $S''_{x_1 x_1}(x_{1k_1}, x_2, \dots, x_p; \xi_f)$ ნარტოპებენ $(p-1)$ -ე კვანძ სპონებზე x_2, \dots, x_p ცვლადების მიმართ. ვინაიდან ამ ფუნქციების მნიშვნელობები \mathcal{D}_h -ის ნიშნულებში მოცემულია, ჩვენ შეგვიძლია (43) ფორმულა გამოვიყენოთ ყველი მათგანის მიმართ. ამ გზით ჩვენ ვაძიებთ მარტობლებს

$$S^{IV}_{x_1 x_2 x_3 x_4} \dots S^{(2p)}_{x_1 x_1 \dots x_p x_p}$$

Ինչպե՞ս կառուցել n -անդամով K_1, \dots, K_p խառնուրդների գամտությունը
 և i_1, \dots, i_p խառնուրդների գամտությունը
 և.

Թողնվում է 10.11.1993

Սահմանափակ թվերով
 և չափերով խառնուրդների
 գամտություն

Գրքագրություն

1. Լ. Ալբերտ, Զ. Լիլիան, Լ. Սոլովյով. Теория сплайнов и ее применения. М., "Мир", 1972.
2. Կ. Ս. Զավյալով, Կ. Ս. Կրասով, Վ. Լ. Միրոնիչենկո. Методы сплайн-функций. М., "Наука", 1980.
3. Ա. Ա. Սամարսկի. Теория разностных схем. М., "Наука", 1983.

Լ. Գալստյան

ՄԵ ԵՄԻՆ ԱԼԳՈՐԻԹՄԵ ԿՈՍՏՐՈՒԿՑԻԱ Բ-ՄԵՐՆՅԱ ԿՈՍՏՐՈՒԿՑԻԱ
 ՍՊԼԱՅՆՈՎ

ՐԵԶՅՈՒՄ

Դիտարկվում է խնդիրը p -մեծության կոստրուկցիայի սպլայն-
 ում. ցուցվում է, որ այն կոստրուկցիայի խնդիր է մեծության կոստրուկցիայի
 կոստրուկցիայի. մանրամասն դիտարկվում է համապատասխան ալգորիթմը
 մեծության կոստրուկցիայի.



J. Gachechiladze

ON THE ALGORITHM OF CONSTRUCTING p -DIMENSIONAL
CUBIC SPLINES

S u m m a r y

The problem of constructing p -dimensional cubic splines is considered. It is shown to be reducible to the problem for one-dimensional cubic splines. The corresponding algorithm for the two-dimensional case is discussed in detail.

316, 1993

РАЗРАБОТКА ПРОГРАММНОГО ОБЕСПЕЧЕНИЯ ПРОФЕССИОНАЛЬНОЙ
ИГРЫ "ГЛОБАЛЬНАЯ СИСТЕМА"

А. В. Корнеева, Н. В. Пиотровская

Профессиональная игра "Глобальная система" предназначена для выявления, анализа и разрешения кризисных ситуаций в развитии глобальной системы. Последняя представляет собой единый социально-экономическо-природный комплекс. В частности, в качестве глобальной системы можно рассматривать государство или его регион.

Для реализации профессиональной игры разработана система математической поддержки, опирающаяся на уравнения мировой динамики Дж. Форрестера /1/.

Глобальная система рассматривается как динамическая система, состоящая из пяти взаимодействующих подсистем: демографической, промышленной, экономической, сельскохозяйственной, экологической.

Описывается глобальная система основными переменными двух типов - уровнями и темпами.

Уровни являются накопителями системы, их пять: население, природные ресурсы, фонды, часть фондов в сельском хозяйстве, загрязнение.

Темпы являются скоростями входных (направленных в уровни)



выходных (направленных из уровней) материальных потоков, поддерживающих уровни. Их семь: темп рождаемости, темп смертности, темп потребления природных ресурсов, генерация фондов, износ фондов, образование загрязнения, поглощение загрязнения.

С каждым темпом связан нормальный темп, соответствующий стандартным условиям жизни. Он определяет базисное значение уровня.

Влияние реальных условий жизни на значение уровня отражается множителями зависимости, корректирующими нормальный темп.

Функционирование глобальной системы поддерживается петлями обратной связи. Петля обратной связи представляет собой замкнутую цепочку взаимодействий, связывающих действие с результатом. С помощью петель обратной связи выявляются тенденции количественных изменений в системе - рост, стабилизация или снижение уровней.

Задача математической поддержки игры - выдача информации её участникам относительно петель обратной связи, т.е. указание на наличие или отсутствие петель обратной связи между подсистемами; их демонстрация и расшифровка.

Для реализации математической поддержки игры проведён доскональный анализ глобальной системы, осуществлена систематизация петель обратной связи.

Введём следующие обозначения для уровней системы: P - население, MR - природные ресурсы, CI - фонды, $CIAP$ - часть фондов в сельском хозяйстве, POZ - загрязнение.

В отношении каждой подсистемы необходимо учитывать взаимодействия внутри подсистемы, воздействие на неё других подсистем, воздействие её на другие подсистемы. Всего рассматрива-

ются 68 петель обратной связи, они конкретизированы и пронумерованы.



Петли обратной связи можно разбить на следующие группы:

- 1) действующие внутри подсистемы,
- 2) соединяющие две подсистемы,
- 3) соединяющие три подсистемы,
- 4) соединяющие четыре подсистемы.

Существуют петли обратной связи, функционирующие в пределах следующих подсистем:

- I. P (1-10)
2. P, NR (11-12)
3. P, CI (13-16)
4. P, CIAF (17-26)
5. P, POL (27-34)
6. P, NR, CI (35, 36)
7. P, CI, CIAF (37-42)
8. P, CI, POL (43-46)
9. P, CIAF, POL (47-50)
10. P, NR, CI, POL (51-54)
- II. P, CI, CIAF, POL (55-58)
12. NR (59)
13. CI (60, 61)
14. CI, CIAF (62, 63)
15. CIAF (64-66)
16. POL (67, 68)

В скобках указаны номера конкретных петель. Например, петля I

$$P \rightarrow BR \rightarrow P,$$

где P - население (чел.), BR - темп рождаемости (чел/год).

Не существует петель обратной связи, соединяющих подсистемы

темы:

1. $P, NR, CI AF$
2. P, NR, POL
3. $P, NR, CI, CI AF$
4. $P, NR, CI AF, POL$
5. $P, NR, CI, CI AF, POL$
6. NR, CI
7. $NR, CI AF$
8. NR, POL
9. $NR, CI, CI AF$
10. NR, CI, POL
11. $NR, CI AF, POL$
12. $NR, CI, CI AF, POL$
13. CI, POL
14. $CI, CI AF, POL$
15. $CI AF, POL$

В процессе игры все участники прослеживают и анализируют связи между подсистемами.

Для участников демографической группы могут представлять интерес связи между подсистемами:

1. P (1-10)
2. P, NR (11-12)
3. P, CI (13-16)
4. $P, CI AF$ (17-26)
5. P, POL (27-34)
6. P, NR, CI (35, 36)

7. P, NR, CI AF -
8. P, NR, POL -
9. P, CI, CI AF (37-42)
10. P, CI, POL (43-46)
11. P, CI AF, POL (47-50)
12. P, NR, CI, CI AF -
13. P, NR, CI, POL (51-54)
14. P, NR, CI AF, POL -
15. P, CI, CI AF, POL (55-58)
16. P, NR, CI, CI AF, POL -

Прочерк указывает на отсутствие петель обратной связи для соответствующей группы подсистем.

Для участников промышленной группы интерес могут представлять связи между подсистемами:

- I. NR (59)
2. NR, P (11, 12)
3. NR, CI -
4. NR, CI AF -
5. NR, POL -
6. NR, P, CI (35, 36)
7. NR, P, CI AF -
8. NR, P, POL -
9. NR, CI, CI AF -
10. NR, CI, POL -
11. NR, CI AF, POL -
12. NR, P, CI, CI AF -
13. NR, P, CI, POL (51-54)
14. NR, P, CI AF, POL -



I5. NR; CI, CI AF, POL-

I6. NR, P, CI, CI AF, POL-

Для участников экономической группы интерес могут представлять связи между подсистемами:

- I. CI (60,61)
2. CI, P (43-46)
3. CI, NR-
4. CI, CI AF (62,63)
5. CI, POL-
6. CI, P, NR (35,36)
7. CI, P, CI AF (37-42)
8. CI, P, POL (43-46)
9. CI, NR, CI AF-
10. CI, NR, POL-
11. CI, CI AF, POL-
12. CI, P, NR, CI AF-
13. CI, P, NR, POL (51-54)
14. CI, P, CI AF, POL (55-58)
15. CI, NR, CI AF, POL-
16. CI, P, NR, CI AF, POL-

Для участников сельскохозяйственной группы интерес могут представлять связи между подсистемами:

1. CI AF (64-66)
2. CI AF, P (47-46)
3. CI AF, NR-
4. CI AF, CI (62,63)
5. CI AF, POL-
6. CI AF, P, NR-

7. CI AF, P, CI (37-42)
8. CI AF, P, POL (47-50)
9. CI AF, NR, CI -
10. CI AF, NR, POL -
11. CI AF, CI, POL -
12. CI AF, P, NR, CI -
13. CI AF, P, NR, POL -
14. CI AF, P, CI, POL (55-58)
15. CI AF, NR, CI, POL -
16. CI AF, P, NR, CI, POL -

Для участников экологической группы интерес могут представлять связи между подсистемами:

- I. POL (67, 68)
2. POL, P (27-34)
3. POL, NR -
4. POL, CI -
5. POL, CI AF -
6. POL, P, NR -
7. POL, P, CI (43-46)
8. POL, P, CI AF (47-50)
9. POL, NR, CI -
10. POL, NR, CI AF -
11. POL, CI, CI AF -
12. POL, P, NR, CI (51-54)
13. POL, P, NR, CI AF -
14. POL, P, CI, CI AF (55-58)
15. POL, NR, CI, CI AF -
16. POL, P, NR, CI, CI AF -

Отметим, что отсутствие петель обратной связи для какой-либо группы подсистем глобальной системы указывает лишь на отсутствие замкнутой связи между этими подсистемами. Связь между ними может существовать через посредство другой подсистемы. Например, отсутствует петля обратной связи для подсистем P , NR и POI , но существуют петли обратной связи для группы подсистем P , NR , CI и POI (51-54).

По запросам участников игры система математической поддержки демонстрирует взаимосвязь внутри подсистем и между подсистемами. При этом показ каждой петли обратной связи сопровождается описанием входящих в неё переменных, которое включает аббревиатуру, наименование, единицу измерения, функциональное назначение, определение и уравнение. В целом системой учитывается 91 переменная.

С помощью такой системы оказывается возможным анализ воздействий, предлагаемых экспертами-участниками игры, на рассматриваемый в качестве объекта игры социально-экономико-природный комплекс.

Поступила 26. II. 1993

Проблемная лаборатория
физической кибернетики

Литература

1. Дж. Форрестер. Мировая динамика. М.: Наука, 1978.



ა. კორნეევა, ნ. პიოტროვსკაია

პროფესიული თამაშის "გლობალური სისტემა" ორგანიზაცია
და მისი პროგრამული უზრუნველყოფის განვითარება

რ ე გ ი უ მ ე

სტატუსით აღწერილია პროფესიული თამაში "გლობალური სისტემა", მისი ორგანიზაციის მიზანია ფრენინგი, მიმართული სოციალური სიფრთხილის განვითარების გონივრული მართვისაკენ.

თამაშის ობიექტია გლობალური სისტემა, რომელიც ნაჩვენებებს ერთ-ერთ სოციალ-ეკონომიკურ-ბუნებრივ კომპლექსს, თამაშის პროცესში მის-მა მონაწილეებმა უნდა გამოავლინონ, გააანალიზონ და დასაბუთონ კრიტიკული სიტუაციების დასაქმების გზები სისტემის განვითარებაში.

A. Korneeva, N. Piotrovskaya

ORGANIZATION OF THE PROFESSIONAL GAME "GLOBAL SYSTEM" AND DEVELOPMENT OF ITS SOFTWARE

Summary

The professional game "Global System" is described. The purpose of its organization is training aimed at rational management of social system development.

The object of the game is a global system representing an integral social, economic and natural complex. In the process of the game the players are to identify, analyze and resolve crisis situations in the development of the system.



ი. ვ. ჯავახიშვილის სახელობის თბილისის სახელმწიფო

უნივერსიტეტის შრომები

316, 1993

რკვევის ამოცანის ამოხსნის ერთი რიგგარეშე მეთოდი

შალვაშაშაძის, ზურაბი სიხარულიძის ინიციატივით

შეკრებილია

ს. ჯავახიშვილის

განვიხილოთ რკვევის ამოცანა /1/ :

$$\frac{\partial \eta}{\partial t} = \frac{\partial v}{\partial s}, \quad \frac{\partial v}{\partial t} = -\frac{\partial q}{\partial s}, \quad q = p + \omega,$$

$$\omega = -\frac{\nu}{\eta} \frac{\partial v}{\partial s}, \quad p = \frac{c^2}{\eta}. \quad (1)$$

თუ საწყისი და სასაზღვრო პირობებია:

$$\eta(s, 0) = \eta_0, \quad p(s, 0) = p_0, \quad v(s, 0) = v_0, \quad (2)$$

$$v(0, t) = v_0. \quad (3)$$

არადაც სრულიად არისურვებულ ერთგვარულად სარკობიან სქემას

(1) სისრულისათვის აქვს სახე:

$$v_t = -g \frac{\partial \eta}{\partial s}, \quad \eta_t = v_s^{(0,5)}, \quad \omega = -\frac{\nu}{\eta} v_s. \quad (4)$$

ჩვენ განვიხილავთ შემთხვევას $\epsilon = 1$. (4) ნაწილობრივს არა-წრფივ აღგებულ განვლდებათ სისრულის. თუ გამოვიყენებთ სხვაობიან სქემებს თუჩინის ცნობილ აღნიშვნებს /1/, (4) სისრულის დაშლილი სახით გამოაჩვენება ასე:

$$f_{i,i}^{j+1} = v_i^{j+1} - v_i^j + \frac{\tau c^2}{h} \left(\frac{1}{\eta_i^{j+1}} - \frac{1}{\eta_{i-1}^{j+1}} \right) - \frac{\nu \tau}{h^2} \left[\frac{1}{\eta_i^{j+1}} (v_{i+1}^{j+1} - v_i^{j+1}) - \frac{1}{\eta_{i-1}^{j+1}} (v_i^{j+1} - v_{i-1}^{j+1}) \right] = 0. \quad (5)$$



$$f_{a,i}^{j+1} = \eta_i^{j+1} - \eta_i^j - \frac{\tau}{2h} \left[(v_{i+1}^{j+1} - v_i^{j+1}) + (v_{i+1}^j - v_i^j) \right] = 0,$$

$$i=1, \dots, M; \quad j=0, 1, \dots$$

Այսպես h ծալուն ճեղքում S լարվածք, τ չոր-ըրրոտ լարվածք (2) և (3) սահմանափակ ժամանակահատվածում ճեղքվածություններ:

$$\eta_i^0 = \eta_0, \quad P_i^0 = P_0, \quad v_i^0 = v_0, \tag{6}$$

$$v_0^{i+1} = v_0 \tag{7}$$

(5) սահմանափակ ժամանակահատվածում սուսցրված ամօղվածության օգտագործումը, որից հետո ճեղքված ճեղքվածքները սակարձ-նեղացրած ճեղքվածքներ են /2/.

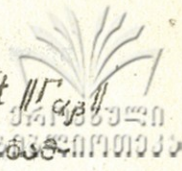
Սուսցրվածության ամ օգտագործումը:

$$\left\{ \begin{aligned} x_1^{n+1} &= x_1^n + \Delta_j \sum_{k=1}^P u_k^n J^{-1}(x_1^n, \dots, x_P^n) \frac{D(\Phi_1, \dots, \Phi_P)}{D(u_1^n, x_2^n, \dots, x_P^n)}, \\ x_i^{n+1} &= x_i^n + \Delta_j \sum_{k=1}^P u_k^n J^{-1}(x_1^n, \dots, x_P^n) \frac{D(\Phi_1, \dots, \Phi_P)}{D(x_1^n, \dots, x_{j-1}^n, u_k^n, x_{j+1}^n, \dots, x_P^n)}, \\ x_P^{n+1} &= x_P^n + \Delta_j \sum_{k=1}^P u_k^n J^{-1}(x_1^n, \dots, x_P^n) \frac{D(\Phi_1, \dots, \Phi_P)}{D(x_1^n, \dots, x_{P-1}^n, u_k^n)} \end{aligned} \right. \tag{8}$$

$$\Gamma_{\alpha\beta} \equiv J^{-1}(x_1, \dots, x_P) \frac{D(\Phi_1, \dots, \Phi_P)}{D(x_1, \dots, x_{\alpha-1}, u_\beta, x_{\alpha+1}, \dots, x_P)} \tag{9}$$

$J(x_1, \dots, x_P) = \frac{D(\Phi_1, \dots, \Phi_P)}{D(x_1, \dots, x_P)}$

Ճեղքվածության $\Gamma_{\alpha\beta}$ սուսցրված (5) ճեղքվածքները սուսցրված սահմանափակ ճեղքվածքներ են: Ճեղքվածքները հաստատու ճեղքվածքներն են: ճեղքվածքներ, i -այն ճեղքվածքները ճեղքվածքներ են ճեղքվածքներ ճեղքվածքներ $j+1$, ճեղքվածքներ ճեղքվածքներ ճեղքվածքներ են, j -յան ճեղքվածքներ, ճ.Ո. ճեղքվածքներ ճեղքվածքներ սուսցրվածքներ: v_i^{j+1}, η_i^{j+1} սահմանափակ, ճեղքվածքներ ճեղքվածքներ սուսցրված (5) $2M$ ճեղքվածքներ ճեղքվածքներ M սուսցրվածքներ ճեղքվածքներ, $\Gamma_{\alpha\beta}$ ճեղքվածքներ ամ ճեղքվածքներն են ճեղքվածքներն են սահմանափակ սահմանափակ



Յանի յարաբեր ժանրաբանական միջոցով ընդհանրապես, ամբողջ $\det \|\Gamma_{\alpha\beta}^{(i)}\|$ արհեստ զարգացող $\|\Gamma_{\alpha\beta}^{(i)}\|$, $i=1, \dots, M$, յարաբեր ընդհանրապես ժանրաբանական ժանրաբանական:

$$\det \|\Gamma_{\alpha\beta}^{(i)}\| = \begin{vmatrix} \frac{\partial v_i^{j+1}}{\partial f_{1,i}^{j+1}} & \frac{\partial v_i^{j+1}}{\partial f_{2,i}^{j+1}} \\ \frac{\partial \eta_i^{j+1}}{\partial f_{1,i}^{j+1}} & \frac{\partial \eta_i^{j+1}}{\partial f_{2,i}^{j+1}} \end{vmatrix} \quad (10)$$

Նախ

$$\begin{aligned} \frac{\partial v_i^{j+1}}{\partial f_{1,i}^{j+1}} &= \left[1 + \frac{\nu\tau}{h^2} \left(\frac{1}{\eta_i^{j+1}} + \frac{1}{\eta_{i-1}^{j+1}} \right) + \frac{\tau^2}{2h^2} \frac{1}{(\eta_i^{j+1})^2} \left(c^2 + \frac{\nu}{h} (v_i^{j+1} - v_{i+1}^{j+1}) \right) \right]^{-1}, \\ \frac{\partial v_i^{j+1}}{\partial f_{2,i}^{j+1}} &= \frac{\tau}{2h} \frac{\partial v_i^{j+1}}{\partial f_{1,i}^{j+1}}, \quad \frac{\partial \eta_i^{j+1}}{\partial f_{1,i}^{j+1}} = \frac{\tau}{h} \frac{1}{(\eta_i^{j+1})^2} \left(c^2 + \frac{\nu}{h} (v_i^{j+1} - v_{i+1}^{j+1}) \right) \frac{\partial v_i^{j+1}}{\partial f_{1,i}^{j+1}}, \\ \frac{\partial \eta_i^{j+1}}{\partial f_{2,i}^{j+1}} &= \left(1 + \frac{\nu\tau}{h^2} \left(\frac{1}{\eta_i^{j+1}} + \frac{1}{\eta_{i-1}^{j+1}} \right) \right) \frac{\partial v_i^{j+1}}{\partial f_{1,i}^{j+1}}. \end{aligned} \quad (11)$$

Յոնապահ արհեստը ընդհանրապես ժանրաբանական արհեստ $\det \|\Gamma_{\alpha\beta}^{(i)}\| \neq 0$, ամբողջ $\det \|\Gamma_{\alpha\beta}\|$ -ն ընդհանրապես ժանրաբանական. ամբողջ ժանրաբանական ժանրաբանական ժանրաբանական (8) ընդհանրապես, ժանրաբանական (5) ժանրաբանական ամբողջական ժանրաբանական ժանրաբանական:

$$\begin{aligned} V_i^{(n+1)j+1} &= V_i^{(n)j+1} - \frac{\frac{\tau}{h} f_{1,i}^{(n)j+1} + f_{2,i}^{(n)j+1} \left[\frac{\tau}{h} \frac{1}{(\eta_i^{(n)j+1})^2} \left(c^2 + \frac{\nu}{h} (v_i^{(n)j+1} - v_{i+1}^{(n)j+1}) \right) \right]}{1 + \frac{\nu\tau}{h^2} \left(\frac{1}{\eta_i^{(n)j+1}} + \frac{1}{\eta_{i-1}^{(n)j+1}} \right) + \frac{\tau^2}{2h^2} \frac{1}{(\eta_i^{(n)j+1})^2} \left(c^2 + \frac{\nu}{h} (v_i^{(n)j+1} - v_{i+1}^{(n)j+1}) \right)}, \\ \eta_i^{(n+1)j} &= \eta_i^{(n)j+1} + \frac{\frac{\tau}{2h} f_{1,i}^{(n)j+1} - f_{2,i}^{(n)j+1} \left[1 + \frac{\nu\tau}{h^2} \left(\frac{1}{\eta_i^{(n)j+1}} + \frac{1}{\eta_{i-1}^{(n)j+1}} \right) \right]}{1 + \frac{\nu\tau}{h^2} \left(\frac{1}{\eta_i^{(n)j+1}} + \frac{1}{\eta_{i-1}^{(n)j+1}} \right) + \frac{\tau^2}{2h^2} \frac{1}{(\eta_i^{(n)j+1})^2} \left(c^2 + \frac{\nu}{h} (v_i^{(n)j+1} - v_{i+1}^{(n)j+1}) \right)} \quad (12) \end{aligned}$$

$i=2, \dots, (M-1)$. $j=0, 1, \dots$

Երբ $i=1$ - ուրիշ ճանցը:

$$\frac{f_{1,1}^{(n+1)} + f_{1,1}^{(n)}}{V_2^{(n+1)} + V_1^{(n)}} = \frac{f_{1,1}^{(n)} - f_{2,1}^{(n)} \left[\frac{\tau}{h} \frac{1}{(\eta_1^{(n)})^2} \left(C^2 + \frac{\nu}{h} (V_1^{(n)} - V_2^{(n)}) \right) \right]}{1 + \frac{\nu\tau}{h^2} \left(\frac{1}{\eta_1^{(n)}} + \frac{1}{\eta_0^{(n)}} \right) + \frac{\tau^2}{2h^2} \frac{1}{(\eta_1^{(n)})^2} \left(C^2 + \frac{\nu}{h} (V_1^{(n)} - V_2^{(n)}) \right)}$$

$$\frac{\tau}{2h} f_{1,1}^{(n)} - f_{2,1}^{(n)} \left[1 + \frac{\nu\tau}{h^2} \left(\frac{1}{\eta_1^{(n)}} + \frac{1}{\eta_0^{(n)}} \right) \right] = \eta_1^{(n+1)} = \eta_1^{(n)} \quad (13)$$

$$j=0, 1, \dots \quad 1 + \frac{\nu\tau}{h^2} \left(\frac{1}{\eta_1^{(n)}} + \frac{1}{\eta_0^{(n)}} \right) + \frac{\tau^2}{2h^2} \frac{1}{(\eta_1^{(n)})^2} \left(C^2 + \frac{\nu}{h} (V_1^{(n)} - V_2^{(n)}) \right)$$

Ուղղագրված ճանաչողություն ցուցված բնութագրի մոտեցման, ժամկետային թվային մոտեցման հնարավորությունները քննարկվում են քիմիական օրինակներով և քիմիական ռեակցիաների համակարգերի օրինակներով:

Մուղվածը 9.111.1993

Սախարովա Միգրեդիսյան
Ալբերտիս Երանյան
Ունիվերսիտետ

1. А.А.Самарский, Ю.П.Попов. Разностные методы решения задач газовой динамики. М., "Наука", 1980.
2. Լ.Զ.Գաչեչիլաձե. Решение системы нелинейных алгебраических уравнений с помощью обратной сплайн-интерполяции. Тр. ТГУ, сер. киоб.-пр.мат., т.15 (315), 1993, 155-168.

Լ.Զ.Գաչեչիլաձե

ՕՒ ԵԴՈՄ ՇԻՏԼԵՆՈՄ ՄԵԹՈԴԵ ՐԵՏԵՆԻՅԱ ԶԱԴԱՇԻ ՍՈՐՄՆԱ ԸՐԻ ԻՅՕ-
ԹԵՐՄԻՇԵՍԿՈՄ ՏՋԱԿԻ ԴԱԶԱ Տ ԲՍՏՈՅԱՆՈՒ ՏԿՐՈՍՏՅՈՒ

ՐԵԶՅՈՒՄԵ

Րաժտրեցո քրիմենիե մեթոԴ օբրատնոյ սքլայն-ինտերքոլյա-
ցիոյ լյա լրեժենիյա սիժտեմոյ նեղինեյնոյ աղեբրաիժեժեժեկոյ աղաժենիյոյ,
քոլաժաեմոյք Վ ըզուլտադե ձաժենոյ լիֆֆերենցիալնոյ աղաժենիյոյ
գազօղոյ լյա լյա մոսքեժաժաեմոյք ըզնոստոյնոյ սքեմօյ.

J.Gachechiladze

ՕՆ Ա ՆՈՒՄԵՐԻԿԱԼ ՄԵԹՈԴ ՄՈԴ ՏՈՒՅՈՒՆ ԴԵ ՍՈՒՅՈՒՆ ԴԻՏՈՆ ՔՐՈԲ-
ԼԵՄ ԱՏ ԻՅՕԹԵՐՄԻՇ ԿՈՄՓՐԵՍՍԻՈՆ ՄԵ ԴԱԶԱ ՄԵ ԿՈՍՏԱՆՏ
ՎԵԼՈՑԻՏՅՈՒ

S u m m a r y

The use of the method of inverse spline-interpolation is consi-
dered for solving the system of nonlinear algebraic equations resulting
from the replacement of differential equations of gas dynamics with a
corresponding difference scheme.

ივ. ჯავახიშვილის სახელობის თბილისის სახელმწიფო
უნივერსიტეტის შრომები

316, 1963

არსებობს ფი ვარიაციის საზღვარიანი საზღვარიანი

სასაზღვრო ამოცანის რიცხვითი ამოცანა

კ. გაჩეჩილაძე

შრომებში ფი ვარიაციის განვლილას აქვს სახე:

$$\frac{d^2 F}{dF^2} + pF'^2 + q(c_2 - c_2)F = 0, \quad (1)$$

სადაც p, q, c_2, c_2 - არსებობს, რომელიც დამოკიდებული მოცულობის
/1/ -ში. განვიხილოთ შემდეგი სასაზღვრო ამოცანა:

$$\frac{d^2 y}{dx^2} + py^2 + xy = 0,$$

$$y'(0) = 0, \quad y(a) = 0, \quad (2)$$

$$y(x) \in C^2[0, a],$$

p, α - არსებობს, $x \in [0, a]$. შევნიშნოთ, რომ ამ ამოცანის გულში
არსებობს ანალიტიკური ამოცანის არსებობის და ერთადერთობა. კუ-
ბური სპეციფიკი, რომელიც ახდენს (2) ამოცანის ამოცანის ინტერპოლ-
ბას, შეიძლება დარღვევით დასაბუთებული სპეციფიკის საშუალებით
შეიძლება /2/:

$$S_{\Delta}(x) = \sum_{j=0}^N A_{\Delta, j}(x) y(x_j) + y'(0) B_{\Delta, 0}(x), \quad (3)$$

სადაც $A_{\Delta, \kappa}(x), \kappa = 0, \dots, N, B_{\Delta, 0}(x)$ შესაბამისად დარღვევები A და B
ფუნქციის დასაბუთებული კუბური სპეციფიკის. ისინი განისაზღვრებიან ასე:

$$\begin{cases} A_{\Delta, k}(x_j) = \delta_{kj}, & j=0, \dots, N; \\ A'_{\Delta, k}(x_i) = 0, & i=0, N \quad (k=0, \dots, N); \end{cases}$$

$$\begin{cases} B_{\Delta, 0}(x_j) = 0, & j=0, \dots, N; \\ B'_{\Delta, 0}(x_i) = \delta_{0i}, & i=0, N. \end{cases}$$

$\Delta = \{x_j\}, j=0, \dots, N$, - ծառայա $[0, a]$ - ճյ.

(3)-ժի յճնոթծծիա $y(x)$ ճյնթյնիս թնիծծնթլոթծծի ծառիս յճանթծծի. ծաի թոսաթծծնաթ (3) թյնիթանոթ (2)-ժի. ու թլլծծլ ծաիոսաթլլծծնա ծաիոսիոլաթ ծառիս յճանթծծի, թիոլլծծ յնթնթլլծծ ծաիոլլծծնա թոս- թլլծծն $y(x_j), j=0, \dots, N$, -իս թիծաի:

$$\frac{d^2}{dx^2} S_{\Delta}(x_0) + p S_{\Delta}^2(x_0) + r S_{\Delta}(x_0) = 0,$$

$$\frac{d^2}{dx^2} S_{\Delta}(x_1) + p S_{\Delta}^2(x_1) + r S_{\Delta}(x_1) = 0, \quad (4)$$

$$\frac{d^2}{dx^2} S_{\Delta}(x_{N-1}) + p S_{\Delta}^2(x_{N-1}) + r S_{\Delta}(x_{N-1}) = 0.$$

ու ծաիոլլծծնիոլլծծն ծաիոլլծծնիս թոսաթլլծծն թիոլլծծն թո թլլծծն, ու թ

$$\begin{aligned} S'_{\Delta}(x_k) &= y_k, & \frac{d^2}{dx^2} S_{\Delta}(x_k) &= \sum_{j=0}^{N-1} \frac{d^2}{dx^2} A_{\Delta, j}(x_k) y_j = \\ &= \sum_{j=0}^{N-1} M_k^{(j)} y_j, \end{aligned}$$

թոսաթ $y_k \equiv y(x_k), M_k^{(j)}$ - j -թրի ճյնթաթլլծծնի A -սթլլծծնիս թլլծծն թո- թլլծծնիս թնիծծնթլլծծնա ծառիս k -թր յճանթծծի, (4) ծառաիթլլծծն յճյ:

$$\begin{cases} \sum_{j=0}^{N-1} M_0^{(j)} y_j + p y_0^2 + r y_0 = 0, \\ \dots \\ \sum_{j=0}^{N-1} M_{N-1}^{(j)} y_j + p y_{N-1}^2 + r y_{N-1} = 0 \end{cases} \quad (5)$$



ამ სისტემის ამოხსნაზე გამოვიყენოთ რეკურენტული პირობები

$$x_j^{n+1} = x_j^n +$$

$$+ \bar{A}_j \sum_{k=1}^P u_k^n J^{-1}(x_1^n, \dots, x_P^n) \frac{D(\Phi_1, \dots, \Phi_P)}{D(x_1^n, \dots, x_{j-1}^n, u_k^n, x_{j+1}^n, \dots, x_P^n)}, \quad (6)$$

$$j=1, \dots, P.$$

(5) სისტემისათვის $\bar{A} \sim \frac{2}{N}$,

$$J(y_0, \dots, y_{N-1}) = (-1)^N = \begin{vmatrix} M_0 + 2py_0 + 1 & M_0^{(1)} & \dots & M_0^{(N-1)} \\ M_1^{(0)} & M_1 + 2py_1 + 1 & \dots & M_1^{(N-1)} \\ \dots & \dots & \dots & \dots \\ M_{N-1}^{(0)} & M_{N-1}^{(1)} & \dots & M_{N-1} + 2py_{N-1} + 1 \end{vmatrix} \quad (7)$$

სიდიდეები $\frac{D(\Phi_0, \dots, \Phi_{N-1})}{D(y_0, \dots, y_{N-1}, y_1, y_2, \dots, y_{N-1})}$ მიიღება (7)-დან.

ეს α სვეტის მწვერივით $(0, \dots, 0, 1, 0, \dots, 0)$ -ით, სადაც 1-ის ქვეშ არსებულ $(y_0^0, \dots, y_{N-1}^0)$ საწყის მთავრობებზე ვიღებთ ისეთ $y(x) \neq 0$ ფუნქციის მნიშვნელობებს, მათებს ვვანძობთ, რომელიც აკმატოვებს სასაბოლოო პირობებს.

მიღებულია 17.III.1953

საქართველოს მეცნიერებათა
აკადემიის გეოფიზიკის
ინსტიტუტი

1. Յ.Լ.Կոբալաձե, Ա.Լ.Սատարյան, Ա.Դ.Խանթաձե. Об уединенных волнах Россби. Изв.АН СССР. Физика атмосферы и океана, 6, 649, 1981.
2. Дж.Альберт, Э.Нильсон, Дж.Уолш. Теория сплайнов и ее применения. М., "Мир", 1972.
3. Дж.Гачечиладзе. Решение системы нелинейных алгебраических уравнений с помощью обратной сплайн-интерполяции. Труды ТГУ, сер.киб.-пр.мат., т.15(315),1993, 155-168.

Ժ.Գաչեչիլաձե

ЧИСЛЕННОЕ РЕШЕНИЕ КРАЕВОЙ ЗАДАЧИ ДЛЯ СТАЦИОНАРНОГО
УРАВНЕНИЯ КОРТЕВЕГА де ВРИЗА

Резюме

Рассмотрено применение метода обратной сплайн-интерполяции для решения системы нелинейных алгебраических уравнений, получаемых в результате интерполяции решения краевой задачи для стационарного уравнения Кортевега де Вриза с помощью кубического сплайна.

J. Gachechiladze

NUMERICAL SOLUTION OF A BOUNDARY PROBLEM FOR THE
KORTEVEGA de VRIS STATIONARY EQUATION

S u m m a r y

The paper discusses the use of the method of inverse spline-interpolation for solving a system of nonlinear algebraic equations resulting from the interpolation of the solution of a boundary problem for the Kortevaga de Vris equation by means of a cubic spline.

ივ. ჯავახიშვილის სახელობის თბილისის სახელმწიფო

უნივერსიტეტის ბიულეტენი

316, 1993

სამედიცინო-საბუნებისმეტყველო ადრინ შახნაველი პრინციპალი

მედიცინისა და ბიოლოგიის საბუნებისმეტყველო

რ. ჭიჭინაძე, ე. მანუჩაძე, პ. მამუკაძე,

ი. ჩიჭინაძე, ე. ჭიჭინაძე

სამედიცინო უნივერსიტეტში სპეციალისტების ურთ-ურთი ძირითადი პირები
და განმარტებულნი ფაქტორი არის სახელმწიფო საკუთრების ფართი პრინ-
ციპალი, მისი განხორციელება პაკეტირებულია რიცხვითი პირობებით,
უნივერსიტეტი და სოციალური საკითხების გადაჭრასთან. პრინციპალი
პროცესის შესწავლისას მნიშვნელოვანია უიდეო მისახლეობის ადრინ
საქართველოს მთავარეზიდენტის სახელმწიფო უნივერსიტეტის უსასტრუქო
გადაცემისას ან მიუხედავად, ადრინ პრინციპალი პროცესში უცხო-
ური კაპიტალის მონაწილეობა. სანდუქურსო ადრინ სოციალური ფა-
ქტორის მიხედვით სამედიცინო-საბუნებისმეტყველო ადრინ შესწავლა.

ყველა აღნიშნული საკითხის შესასწავლად შედუქავთ სოციალური
ანკედა, რადიის მუშეობით ჩატარდა სასინჯო გამოკვლევა პრინციპალი-
ციის ჩატარების ფორმებში და მისაღობიერე მუშეობებში. ციფრული-
ბუღალ იქნა გამოკვლეული მისახლეობის ადრინ საქართველოს სხვადასხვა
კონკრეტული სამუშეო პარტებისა და მონივრების უნივერსიტეტის პრინციპალი-
ციის შესახებ. გამოკვლევა ჩატარდა 1992 წლის მარტ-ივნისში, შე-
საბამისი უნივერსიტეტის მიხედვით გამოკვლეული იქნა 920 თბილისელი რეს-
პონდენტი, აქედან: 350 სახელმწიფო სექტორის თანამშრომელი (უნივერსიტეტი).



კრედიტის, მიწის, მფლობელების (ა.შ.), 120 კრძმ სვეტიცხოველის მონასტრის, 160 სვეტიცხოველის. სადაც იყო განხილული მიწის ნაკვეთების ჩარმობის საკითხები (140 ადამიანი) და ე.წ. "სამედიცინო სერვისების" ხელშეწყობის მიზნით უკონკრეტო პირობების ინსტრუქციებისა და ჩარმობების უკონკრეტო-სამედიცინო სერვისების (110 ადამიანი), ანკვეთის ერთ-ერთი ძირითადი პირობა შედგენილიყო იყო ჩამოყალიბებული: "ვის საკუთრებაში უნდა გადავიტანო ამ პარკის პირდაპირი მფლობელების სპეციალური (მომხმარებელი, მსუბუქი მრეწველობა, ვაჭრობა, მონაბურთა და საბჭოთა, განვითარების დაცვა, საკუთრებრივი და ფინანსური დანერგვის შემთხვევაში, ჩინის, ფრანკისა და ფინანსების გადასამხრავებელი საბარმობის) ქონება?"

II ცხრილიდან ჩანს, რომ საზოგადოებრივი აზრის განხილვა განხილვის მიზნით ჩატარდა მრეწველობის, მსუბუქი მრეწველობის, მსუბუქი მრეწველობის მიზნით. ასე მისაღობად: სახელმწიფო სვეტიცხოველის 69% მფლობელი, რომელიც მრეწველობის სამედიცინო მიზნების (ინსტრუქციების მიზნით, მფლობელი ქონება და ა.შ.) ქონების ძირითადი ნაწილი უნდა პარკის სახელმწიფო საკუთრებაში, ხოლო 27% - მიიჩნევის რომ უნდა გადავიტანო კრძმ მფლობელებში, ანუ პირდაპირი მფლობელების მიზნით შეკრებილი მსუბუქი მრეწველობის პარკის მიზნით სახელმწიფო სვეტიცხოველის მფლობელების მიზნით 38,2% მფლობელი, რომელიც მსუბუქი მრეწველობის მიზნების ძირითადი ნაწილი უნდა პარკის სახელმწიფო საკუთრებაში, 60% კი მიიჩნევის, რომ უნდა გადავიტანო კრძმ მფლობელებში.

მესამე ცხრილიდან ჩანს, რომ გამოკრებილი მონაბურთების უმეტესად ნაწილის აზრით პარკების: მსუბუქი მრეწველობა, ვაჭრობა, მონაბურთა და საბჭოთა, საკუთრებრივი და ფინანსური დანერგვის შემთხვევაში, ფრანკის, ჩინისა და ფინანსების გადასამხრავებელი სამედიცინო მიზნების ქონების ძირითადი ნაწილი უნდა გადავიტანო კრძმ მფლობელებში.

$$\chi^2 = \sum_{i=1}^r \sum_{j=1}^c \frac{c}{n} (N_{i,j} - \hat{N}_{i,j})^2, \text{ სადაც} \quad (2)$$

r არის პირველი ფაქტორის რიგების რიცხვი, c არის მეორე ფაქტორის რიგების რიცხვი. შესაბამისი თავისუფლების ხარისხი ურის შემდეგ ნაძრავლი - $(r-1)(c-1)$.

აჩრობაში, რომ ფაქტორები დამოუკიდებელი არიან, χ^2 სიდიდე, შესაბამისი თავისუფლების ხარისხით, არ უნდა იყოს χ^2 კრიტიკული მნიშვნელობა.

როდესაც $\chi^2 > \chi^2_{\text{კრიტიკული}}$ კრიტიკული მნიშვნელობა დამოუკიდებლობის შესახებ უნდა იქნას უკუპირობა. უკუპირობა მოყვანილია ცხრილი, რომელიც მიწვევს პრაქტიკულად დასაბუთების რაოდენობების განაწილება სტოქასტიკური პროცესების მიხედვით (სამედიცინო პროცესების განაწილება).

პრაქტიკული სიხშირეთა განაწილება

$i \backslash j$	სახელმწიფო სექტორი	კერძო სექტორი	სტატისტიკური	მუშები
პროვინციების ჩატარება აუტორიტეტის ქვეყნის	32	18	25	9
სახელმწიფო ქვეყნის განაწილება უსასაფრთხო	140	30	48	40
პროვინციების ჩატარების შემდეგ ფაქტორი	200	63	77	56
მეორე კლასის ბავშვები	18	9	10	35

ამ ცხრილში ერთ ფაქტორს წარმოადგენს პროვინციების ჩატარების ფორმა, ხოლო მეორე ფაქტორს - მოსახლეობის სტოქასტიკური პროცესი. ფაქტორი აქვს ოთხი რიგი. შევადარებთ $N_{i,j}$ პრაქტიკულ სიხშირეებს შესაბამისი მოსალოდნელი სიხშირეები (1) ფორმულის გამოყენებით.

ვრცობები:

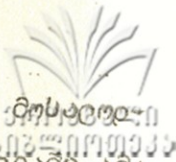
$\hat{N}_{11} = 40,5$,	$\hat{N}_{12} = 12,4$,	$\hat{N}_{13} = 16,5$.	$\hat{N}_{14} = 14,5$
$\hat{N}_{21} = 124,2$,	$\hat{N}_{22} = 38,2$,	$\hat{N}_{23} = 51$,	$\hat{N}_{24} = 44,5$,
$\hat{N}_{31} = 190,2$,	$\hat{N}_{32} = 58,7$,	$\hat{N}_{33} = 78,2$,	$\hat{N}_{34} = 68,4$,
$\hat{N}_{41} = 34,0$,	$\hat{N}_{42} = 10,6$,	$\hat{N}_{43} = 14,2$,	$\hat{N}_{44} = 12,4$.

ჩვენს შემთხვევაში მისალოცებელი სიხშირეების მნიშვნელობები (2) უარყოფითია და გამოვყენებთ χ^2 მნიშვნელობას. მივიღებთ $\chi^2 = 30,85$ ჩვენს შემთხვევაში თავისუფლების ხარისხი უდრის 9, ხოლო χ^2 კრიტიკული მნიშვნელობები 0,05-სა და 0,01-ის მნიშვნელობაა დადებითსა და ნულისა უდრის 16,9 და 21,7. ეს მიგვიჩვენებს, რომ ნულოვანი ვარიანტი უარყოფითი უნდა იქნას, ანუ საშუალოების სტოქასტიკური უარყოფითი დამოკიდებულება არსებობს ჩვენს შემთხვევაში უარყოფითი დამოკიდებულება (დამოკიდებულება სტოქასტიკური უარყოფითი დამოკიდებულება).

თუ გამოვიყენებთ ცალკე მონაცემებს და ჩვენს შემთხვევაში ანალიტიკური დამოკიდებულება უარყოფითი უნდა იქნას და სტოქასტიკური დამოკიდებულება, მივიღებთ, რომ დამოკიდებულება χ^2 უდრის 1,2. ამ შემთხვევაში თავისუფლების ხარისხი უდრის 3. χ^2 კრიტიკული 0,05 და 0,01 დადებითსა და ნულისა უდრის 7,8 და 11,3, ეს მიგვიჩვენებს იმაზე, რომ არსებობს დამოკიდებულება ჩვენს შემთხვევაში უარყოფითი დამოკიდებულება (დამოკიდებულება სტოქასტიკური უარყოფითი დამოკიდებულება). ჩვენს შემთხვევაში უარყოფითი დამოკიდებულება უარყოფითი დამოკიდებულება (დამოკიდებულება სტოქასტიკური უარყოფითი დამოკიდებულება).

ანაკლები საშუალება მოგვცა აგრეთვე შევხვედეთ საშუალოების უარყოფითი დამოკიდებულების მნიშვნელობას (ცხრილი 13 და ცხრილი 14).

ჩვენს შემთხვევაში უარყოფითი დამოკიდებულება უარყოფითი დამოკიდებულება (დამოკიდებულება სტოქასტიკური უარყოფითი დამოკიდებულება).



Գամուռոտեպուրեա տերապուրոնս սօրոտ սեւոտ մոմապարտի մոնապուրոն
 երևա սեպուրոնս սա՛մապուր ըտոնս ըսցեմա, ետոտ սըրսայեպուրոնս սա՛մա-
 ուրեմա. մըքարեմոտ սեպա չճաքեմեան ուօնմոնոնոտ Գամոռոտեպուր չըրտ
 սըքտոնս մըմապուրոնս ըս սըքուրեպոնս սրոցեմոն.

Սանտրոնս սա՛մոցապուրոնս սօրոնս ըսմապուրեպուրեմա սրոնս-
 ցոնսպուրոն սրոցեմոն սըքեպուրոն Գամոռոնս մոնապուրոնս մոմառոտ. Կըքա
 սոցոնսպուրոն չճաքեմոն մոնսպուրոն մոնոնս ոմ ոնսսոքընցեա ոնսեմա, ոտ-
 մըքուր Գամոռոնս մոնոնս սըքեպուրոն Գամոռոնս մոնապուրոնս սրո-
 նսպուրոնս սրոցեմոն. սնց մոնապուրոնս : սըքեպուրոն Գամոռոնս մոմը
 մոնապուրոնս մոնոնս մոնապուրոնս մոնառոտ սըքեմ սա՛մապու-
 մոնոնս սըքտոնս մոնապուրոնս մոնոնս 4, 5%, սայեպուրոնս -
 11%, չըրտ սըքտոնս - 11% ըս ս.մ. սըքեպուր Գամոռոնս ոնսսոքընց-
 ոնս տերապուրոնս մոնառոտ սըքեմ մոնապուրոնս Գամոռոնս Կըքա. ոմ ոնս-
 սոքընցեա ոնսեմա, սոցոնսպուրոն չճաքեմոն մոնոնս, ոտմըքուր մոնոնս-
 ոնս թըքոնս սըքեպուրոն Գամոռոնս ըսմըքեմ սրոնսպուրոնս սրոցեմոն
 մոնոնս սա՛մապուր 20%-ըս մոն-մըք, սմ մոնապուրոնս Գամոռոնս սր-
 ոնս մոնապուրոնս ըս սմոնոնս մոնոնս սպարոնոտ ըքապուրոն մոնապուրոնս մո-
 նոնս.

Ց ա ն Յ Յ Ն Ե Թ Ո

1. Գամուռոտեպուրեա տերապուրոնս տըքապուրոնս սա՛մապուրոնս Կըք-
 ոնս սրոնսպուրոնս սրոցեմոն սմ Կըքապուր մոնոնս մոնապուրոնս Գամոռոնս-
 մա :

- ա) մոնոնս մոնապուրոնս ըս չճաքեմոնս ըսմըքեմապուր Կըքոնս
 սոնոնս մոնոնս Կըքա ըսմըքեմա սա՛մապուրոնս սա՛պուրոնս.
- բ) Կըքոնս, մոնապուրոնս, սայեպուրոնս, մոնոնս մոնապուրոնս,
 Կըքոնս, Կոնս, Կըքեմապուրոնս Կըքա մոնոնս սայեպուրոնս Կըքոնս
 սոնոնս մոնոնս Կըքա Կըքապուրոնս Կըքա սմ չճաքեմ սա՛պուրոնս:
- գ) Գամոռոնս սըքեպուրոն Գամոռոնս մոնապուրոնս սրոնսպուրոնս
 սրոնս սրոցեմոն սայեպուրոնս մոնապուրոնս Կըքոնս Կըքա.



მ) მოსალოდნოა პრევალიენტების შეჩვეული ფორმა (სამკურნელო ექვების აქტივების ნაწილის უფასო პარაცეტი, ნაწილის გაყიდვა შეღავათიანი ფასებით, ხოლო დარჩენილის გაყიდვა აუქციონზე).

2. გამოკითხვითა უძრავი ქონების აზრით პრევალიენტების შედეგად ახლო მომავალში მოსალოდნელია ცხოვრების საშუალო ხარისხის გაუმჯობესება და შემდგომში ამაღლება. აღსანიშნავია, რომ ოპტიმისტური კამათი სექტორის თანამშრომლებში და სტუდენტებში. ამ სოციალურ ჯგუფებში, ახლო მომავალში, საშუალო ხარისხის ამაღლებას მოქალაქეების მესამე ნაწილსად 37,1% და 29,8% რესპოდენტები.

3. სოციალური ფენების მიხედვით პრევალიენტების ჩატარების ფორმებში და მოსალოდნელი შედეგებთან ურთიკავშირთან მიდგომას ამჟღავნებენ კარგი სექტორის თანამშრომლები.

მიღებულია 18.11.1993

დირექტორი აბდურეჟიპის
პრობლემატიკის დამოუკიდებელი

საპროცენტუაჟო ვაჭრის განაწილება დაწესებულება და საზღვარსა და საზღვარს ვაჭრის მიხედვით

	საბეჭდო ვაჭრის მიხედვით	საბეჭდო სუბ-ვაჭრის მიხედვით	საბეჭდო სუბ-ვაჭრის მიხედვით	საბეჭდო სუბ-ვაჭრის მიხედვით	საბეჭდო სუბ-ვაჭრის მიხედვით	საბეჭდო სუბ-ვაჭრის მიხედვით	საბეჭდო სუბ-ვაჭრის მიხედვით
მთლიან მიწვევებში საბეჭდო ვაჭრის მიხედვით დაწესებულებაში	69,4%	69,7%	50%	8,2%	62,1%		
პროცენტუაჟო	27,1%	30,2%	50%	35,7%	28,8%		
მსუბუქი მიწვევებში საბეჭდო ვაჭრის მიხედვით დაწესებულებაში	38,2%	30,2%	28,6%	30,6%	51,8%		
პროცენტუაჟო	59,8%	69,7%	71,4%	63,4%	37,6%		
ვაჭრობის, მომსახურების, საბეჭდო ვაჭრის მიხედვით დაწესებულების მიხედვით	25,7%	15,9%	17,2%	34,6%	40%		
პროცენტუაჟო	73,2%	85,9%	81,4%	75,4%	60%		
დაწესებულების მიხედვით დაწესებულების მიხედვით	55,5%	62,7%	41,5%	47,7%	75,5%		
პროცენტუაჟო	42%	37,2%	58,5%	49,2%	24,3%		
საპროცენტუაჟო და ვაჭრის მიხედვით დაწესებულების მიხედვით	36,5%	41,9%	27,1%	31,3%	46,6%		



№1 ცხრილის დაგრძელება

პროვანტიზირების	51.4%	55.8%	71.4%	68.5%	51.1%
ფორმების, ჩანის, ციფრების დავალი, მუშაობის დახარჯების დახარჯების დახარჯების საბუღალტრო საკუთრებაში	39.5%	39.5%	25.7%	24.6%	55.6%
პროვანტიზირების	57.3%	60.5%	74.3%	73.9%	44.5%

შენიშვნა: ცხრილი არ არის მოყვანილი იმ რესპოდენტთა რიცხვი 8-ში, რომლებმაც კითხვას უპასუხეს.

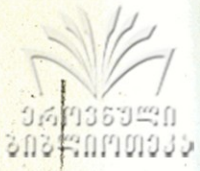


Մասնագրությունների անունը և նրանց թվաքանակը ըստ մարզերի և համայնքների

Մասնագրություն	Կապիտալի ծախսերի քանակը	Մասնագրությունների թվաքանակը	Կապիտալի ծախսերի միջին արժեքը	Կապիտալի ծախսերի միջին արժեքը	Կապիտալի ծախսերի միջին արժեքը
Մուտքագրողների և արտադրողների համայնքներ	8,3%	4,7%	15,7%	15,7%	6,7%
Մասնագրությունների և արտադրողների համայնքներ	38%	20,9%	25,7%	30,6%	28,9%
Մուտքագրողների և արտադրողների համայնքներ	51,4%	67,4%	52,8%	48,5%	40%
Մուտքագրողների և արտադրողների համայնքներ	4,4%	6,7%	5,7%	5,2%	24,4%

Մասնագրությունների և նրանց թվաքանակը ըստ մարզերի և համայնքների

Մասնագրություն	Կապիտալի ծախսերի քանակը	Մասնագրությունների թվաքանակը	Կապիտալի ծախսերի միջին արժեքը	Կապիտալի ծախսերի միջին արժեքը	Կապիտալի ծախսերի միջին արժեքը
Մուտքագրողների և արտադրողների համայնքներ	25,8%	18,6%	17,1%	29,8%	24,4%
Մասնագրությունների և արտադրողների համայնքներ	70%	67,4%	75,7%	67,9%	46,7%
Մուտքագրողների և արտադրողների համայնքներ	18,9%	23,2%	18,6%	29,1%	35,6%
Մուտքագրողների և արտադրողների համայնքներ	7,9%	9,7%	4,2%	5,2%	13,3%
Մուտքագրողների և արտադրողների համայնքներ	40,2%	46,5%	25,7%	15,6%	28,9%
Մուտքագրողների և արտադրողների համայնքներ	10,5%	6,9%	2,8%	2,2%	22,2%
Մուտքագրողների և արտադրողների համայնքներ	15,5%	11,6%	18,6%	25,4%	11,1%
Մուտքագրողների և արտադրողների համայնքներ	11%	16,3%	10,1%	24,6%	17,8%



ცხრილი №4

პირადი კუთვნილებების ანტიფორმის ახლო მომავალსა და პერსპექტივებში

	სახკატორი საქართველოს სტატისტიკის სამსახურში	სამომავლო პროგნოზის საფუძველი	საპროგნოზო კატორი საქართველოს სტატისტიკის სამსახურში	საპროგნოზო კატორი საქართველოს სტატისტიკის სამსახურში	საპროგნოზო კატორი საქართველოს სტატისტიკის სამსახურში	საპროგნოზო კატორი საქართველოს სტატისტიკის სამსახურში
ამოღებული ახლო მო- მავალი	19,5%	13,9%	30,1%	37,3%	31,14%	
პერსპექტივებში	52,7%	65,2%	72,9%	61,9%	63,3%	
რევერსიონი ახლო მომავალი	26,9%	23,3%	27,1%	31,8%	33,9%	
პერსპექტივებში	15%	4,6%	5,9%	11,2%	15,6%	
რევერსიონი ახლო მომავალი	35,6%	44,10%	18,6%	8,2%	26,7%	
პერსპექტივებში	9,4%	9,2%	2,9%	2,2%	15,6%	
რევერსიონი მომავალი	17,8%	18,6%	17,1%	24,6%	8,9%	
პერსპექტივებში	24,9%	20,9%	18,6%	24,6%	15,6%	

1. Н. Джонсон, Ф. Лион. Статистика и планирование эксперимента в технике и науке. Изд-во "Мир", Москва, 1980.
2. Рабочая книга социолога, М.: "Наука", 1983.
3. ჯ. ყვავილაძე, ს. ჯანაშია, მ. ბერიძე, მ. ბერიძე, მ. ბერიძე. სოციალური მეთოდების გამოყენება მსოფლიოში. თბილისი, მსუ გამ., 1974.

Р. А. Чейшвили, К. В. Манджгаладзе, Д. М. Мампория, Л. Г. Читашвили,
К. А. Чейшвили

ИЗУЧЕНИЕ ОТНОШЕНИЯ ОБЩЕСТВЕННОГО МНЕНИЯ К МЕХАНИЗМУ ПРОВЕДЕНИЯ ПРИВАТИЗАЦИИ И ЕЕ ПОСЛЕДСТВИЯМ

Резюме

В работе изучается общественное мнение по вопросу проведения приватизации в Грузии и ее последствий. Изучены различные социальные группы общества и оценены ожидаемые последствия приватизации в перспективе и на ближайшее будущее.

Статистический анализ, на основе применения критерия χ^2 , показал, что к вопросу приватизации однозначные отношения проявляют работники частного сектора и студенты, с одной стороны, и специалисты и работники государственного сектора — с другой. Отдельно, изолированно предстает социальная группа рабочих.



R.Cheishvili, K.Manjgaladze, D.Mamporia, L.Chitashvili, K.Cheishvili

STUDY OF GEORGIAN PUBLIC OPINION REGARDING THE MECHANISM AND CONSEQUENCES OF PRIVATIZATION

Summary

The Georgian public opinion has been studied with regard to the mechanism and consequences of the expected privatization, viz. the ownership of various economic facilities, the attitude to the forms of privatization, and to the participation of foreign capital in the privatization process. Various social strata were polled and the long- and short-term results of the impending privatization have been assessed.

Statistical analysis - based on the χ^2 criterion - has revealed a uniform attitude to privatization among those involved in the private sector and students, on the one hand, and specialists and state sector employees, on the other. Workers form a group apart.



Труды Тбилисского государственного университета

им. И. Джавахишвили

მზ. კავშირების საბჭოების მდირობის საბჭომდებო

უბიკვლსიკვების მხმმდებ

316, 1993

ЯГЕРОВСКИЙ МЕТОД В ДИСКРИМИНАЦИОННОМ АНАЛИЗЕ

Т.С. Киселева

Рассмотрим применение метода Ягера нахождения степеней принадлежности для нечетких подмножеств конечных множеств /1/ в нечетком дискриминационном анализе /2/.

Метод Ягера опирается на понятие уровневых множеств заданного нечеткого подмножества.

Пусть A - нечеткое подмножество конечного множества $X = \{x_1, \dots, x_n\}$. Предположим, что степени принадлежности элементов множества X нечеткому подмножеству A обозначены через $\mu(x_i) = a_i$. Пусть $A_\alpha = \{x / \mu(x) \geq \alpha, x \in X\}$

- множество α - уровня. Другими словами, A_α - четкое подмножество множества X , которое содержит все элементы, степени принадлежности которых не менее, чем α . Заметим также, что если для некоторого α_k не существует элементов, таких, что $\mu(x) \geq \alpha_k$, то $A_\alpha = \emptyset$ для $\alpha > \alpha_k$.

Для нахождения степеней принадлежности элементов множества X подмножеству A , вычислим вероятность выбора элемента из X в случайном эксперименте. Воспользуемся описываемым далее методом /А/.

Метод /А/. С каждым x_i свяжем величину T_i , первоначально равную нулю, которая будет равна числу появлений x_i



в следующей процедуре:

1. Определить объем выборки M ($M' = 25, 50, 100$), необходимый для успешной работы.
2. Разделить единичный интервал на M частей равной длины, например, если $M = 50$, то получим $\{1, 0,98, 0,96, 0,94, \dots, 0,02\}$. Обозначим это множество через S .
3. Выбрать случайным образом без возвращения элемент α из S .
4. Попросить человека, определяющего нечеткое подмножество, перечислить все элементы x_i , которые, как он полагает, принадлежат множеству, соответствующему выбранному значению уровня α .
5. Если K - число элементов, включенное в множество уровня, построенное на шаге 4, то при каждом появлении элемента в этом уровне добавить $1/K$ к T_i .
6. Повторять шаги 3-5 до тех пор, пока не используем все α в S .
7. Подсчитать $P(x_i)$; $P_i = T_i / M$.

Теперь каждому x_i приписана вероятность $P(x_i)$.

Согласно методу Ягера степени принадлежности элементов множеству A вычисляются по следующим формулам /1/:

$$a_1 = n P(x_1),$$

$$a_2 = (n-1)P(x_2) + P(x_1),$$

$$a_3 = (n-2)P(x_3) + P(x_2) + P(x_1),$$

⋮

$$a_K = (n-K+1)P(x_{K+1}) + \sum_{i=1}^{K-1} P(x_i),$$

⋮

$$a_{n-1} = 2P(x_{n-1}) + \sum_{i=1}^{n-2} P(x_i),$$

$$a_n = \sum_{i=1}^n P(x_i),$$



где n - число элементов в \mathcal{I} ; a_i - степень принадлежности \mathcal{I}_i нечеткому множеству A ; $P(x_i)$ - вероятность того, что в данном эксперименте будет выбран элемент \mathcal{I}_i . Элементы занумерованы так, что из $i > j$ следует $a_i \geq a_j$. Откуда вытекает $P(x_i) \geq P(x_j)$. Обратное, если $P(x_i) \geq P(x_j)$, то a_i . Заметим, что $a_n = 1$ тогда и только тогда, когда вероятность получения пустого множества равна нулю.

Нечеткий дискриминационный анализ совместно с анализом связей составляет метод, позволяющий /2/ ставить медицинский диагноз при использовании архивных историй болезней /АИБ/.

Дискриминационный анализ в постановке медицинских диагнозов разделим на несколько этапов:

1. Из АИБ находим f_{ij} - отношение числа пациентов, страдающих болезнью j , представленную симптомом i к общему числу пациентов. Полученные данные запишем в специальную матрицу, где столбцы - болезни, строки - симптомы:

	D_1	D_2	\dots	D_j	\dots	D_n	
							$i=1, C_D, j=1, C_S$
S_1	f_{11}	f_{12}	\dots	f_{1j}	\dots	f_{1n}	
S_2	f_{21}	f_{22}	\dots	f_{2j}	\dots	f_{2n}	C_D - card множества болезней
\vdots							C_S - card множества симптомов
S_i	f_{i1}	f_{i2}	\dots	f_{ij}	\dots	f_{in}	
\vdots							
S_m	f_{m1}	f_{m2}	\dots	f_{mj}	\dots	f_{mn}	

2. Построим новые матрицы положительной дискриминации $\{P_{ij}\}$ и отрицательной дискриминации $\{n_{ij}\}$ по следующей формулам:

$$P_{ij} = \sum_{\substack{k \in D \\ k \neq j}} \{ \chi_{\text{large-ratio}}(f_{ij}/f_{ik}) \} / (C_D - 1),$$

$$n_{ij} = \sum_{\substack{k \in D \\ k \neq j}} \{ \chi_{\text{large-ratio}}(f_{ik}/f_{ij}) \} / (C_D - 1),$$

где $P_{ij}, n_{ij} \in [0, 1]$; \mathcal{D} используется для обозначения множества индексов, соответствующих множеству болезней. *Large-ratio* представляет собой нечеткое множество с характеристической функцией принадлежности: $\chi_{\text{Large-ratio}}: R^+ \rightarrow [0, 1]$.

3. Постановка диагноза. Для нового пациента с множеством симптомов S' выпишем из матриц $\{P_{ij}\}$ и $\{n_{ij}\}$ те строки, которым соответствуют элементы множества S' ($S' = \{s_1, \dots, s_m\}$). При этом получим новые матрицы $\{P_{ij}\}; \{n_{ij}\}$. Диагноз может быть определен как распределение по болезням $\{\delta_j\}$, что показано ниже:

$$\delta_j = \frac{1}{2} \{ \chi_{\text{Large}}(X_j) + \chi_{\text{Small}}(Y_j) \},$$

где $X_j = \{ \sum_i P_{ij} \} / c_{S'}$; $Y_j = \{ \sum_i n_{ij} \} / c_{S'}$; $c_{S'}$ - card S' .

Нечеткие множества *Large* и *Small* имеют характеристическую функцию принадлежности:

$$\chi: [0, 1] \rightarrow [0, 1],$$

χ_{Large} - монотонно возрастает по своим аргументам.

χ_{Small} - монотонно убывает по своим аргументам.

В случае дискриминационного анализа в постановке медицинского диагноза множество \mathcal{I} может быть интерпретировано как совокупность отношений $\mathcal{I} = \left\{ \frac{f_{ij}}{f_{ik}} \right\} \cup \left\{ \frac{f_{ik}}{f_{ij}} \right\}$, $k = \overline{1, c_D}$, $k \neq j$, $i = \overline{1, c_S}$. Число элементов множества \mathcal{I} не более $(c_D - 1) \times c_D \times c_S \times 2$.

Подмножество $\tilde{\mathcal{I}}$ - подмножество *Large-ratio*, т.е. достаточно больших отношений с характеристической функцией принадлежности $\chi_{\text{Large-ratio}}: R^+ \rightarrow [0, 1]$.

Воспользовавшись методом /А/ и формулами (Г), мы найдем значения функции принадлежности $\chi_{\text{Large-ratio}}$ элементов

множества 0 к нечеткому множеству

Large-ratio.



Поступила 30.III.1993

Проблемная лаборатория
физической кибернетики

Литература

1. Ягер Р.Р. Множества уровня для оценки принадлежности нечетких множеств. - В кн.: Нечеткие множества и теория возможностей, под редакцией Рональда Р.Ягера.- М.: "Радио и связь", 1986, стр.71.
2. D.Norris, B.W.Pilsworth, J.F.Baldwin. Medical Diagnosis from Patient Records, Fuzzy Sets and Systems 23 (1987) 73-87.

ფ. კისელიძე

დაბარის ბათონი ენსკრიმინაციის ანალიზში

რ ე ბ ი უ მ ე

განხილულია მიკროვიზიის ფუნქციის მნიშვნელობათა განსაზღვრის ნაცურის მეთოდი არამკაფიო ენსკრიმინაციის ანალიზში საბერძნეთში ენსკრიმინაციის დასაბუთების.

T.Kiseleva

R.JAGER'S METHOD IN DISCRIMINATION ANALYSIS

Summary

R.Jager's method of determining the values of the membership function is considered for application to medical diagnosis in fuzzy discrimination analysis.

316, 1993

МЕДИЦИНСКИЕ ДИАГНОЗЫ ИЗ ИСТОРИИ БОЛЕЗНЕЙ - МЕТОД,
ИСПОЛЬЗУЮЩИЙ НЕЧЕТКИЙ ДИСКРИМИНАЦИОННЫЙ АНАЛИЗ И
АНАЛИЗ СВЯЗЕЙ*

Т.С.Киселева

Описывается метод классификации решений, который строится на базе знаний, основанной на архивных историях болезней, представленных в виде таблиц; необходимые выводы делаются из индивидуальных историй болезней, при этом используются нечеткие дискриминационный анализ и анализ связей. Метод позволяет избежать многих проблем сбора данных, которые встречаются при вероятностном подходе к рассматриваемой задаче. Кроме того, описываемый ниже метод совершенно естественно руководствуется неполной информацией, частичной несовместимостью и нечетким описанием данных.

Дискриминационный анализ решает задачу классификации медицинских симптомов и установления между ними и болезнями определенного соответствия.

Анализ связей выделяет множества репрезентативных симптомов для каждой болезни.

Статья изложена довольно подробно, в ней описываются неспределенности, присущие диагнозам.

* Иногда употребляют термин "анализ сопряжений".

В *Frenchay Hospital* на компьютере *PDP /II* была создана система, основанная на описываемом в статье методе. И практические диагнозы, поставленные этой системой, почти совпадают с диагнозами, поставленными опытными медиками в болезнях острого живота.

В перспективе работа будет двигаться в направлении установления связи между вышеупомянутой базой знаний и базой знаний, которая будет основана на эвристических правилах, вытекаемых из экспертных знаний. Для этих целей пригоден язык инженерных знаний *FRIL* (язык вывода нечетких отношений).

I. Вступление

Множество систем классификации решений в проблемах медицинской диагностики были созданы совсем недавно /4,5,6,7,8/. В общем такие системы могут быть интерпретированы как системы, содержащие базу знаний и метод вывода из этой базы знаний. В связи с этим полезно определить два существенно различных подхода, соответствующих тому, как составлена база знаний.

1. Некоторые системы полагаются на архивные истории болезней, медицинские листы, лечение, включающие какие-либо хирургические действия, и конечный диагноз. Обычно данные собираются в виде таблиц условных вероятностей и берутся решения, использующие метод вероятностного вывода Байеса /4/. Другие методы вывода включают групповые алгоритмы и анализ дискриминационной функции. Общий атрибут всех этих систем - числовая табличная база знаний.

2. Главный альтернативный подход - основанная на правилах экспертная система, в которой база фактов и правил составлена путем опроса экспертов-клиницистов, путем попытки установить

важные отношения между представленными образцами симптомов известными категориями болезней. Постановка диагноза превращается в проблему поиска и вариаций вперед-назад ценных алгоритмов, которые соответственно адаптированы /5,6/.

Эти два типа систем, как принято, имеют значительные недостатки как с теоретической, так и с практической точки зрения. Эти трудности идут под общим заголовком: Приобретение знаний, Представление знаний и Заключение при неопределенности.

Знания в системах, основанных на правилах /3/, приобретаются путем опроса многих медицинских экспертов. Поэтому данные, полученные таким путем, часто бывают неполными и неустойчивыми. Более того, многие эксперты сопротивляются формализации их клинических эвристик, так что неполнота правил знаний — главная универсальная проблема.

Michalski и *Skilansky* /2/ сообщили об исследовании болезней Собина и показали, что множество правил, собранных из историй болезней путем индуктивного изучения алгоритма, могут быть сделаны лучше, чем правила, приобретенные путем прямого опроса экспертов. Другое критическое замечание, касающееся системы, основанной на правилах, состоит в том, что обычно для подсчета неопределенности используется специально устроенный способ вывода /2/. Главное преимущество систем, основанных на правилах, по сравнению с системами, использующими числовые табличные знания, состоит в том, что первая из двух отражает семантику проблемы диагностики естественным образом и может быть относительно легко приспособлена для соединения диалога и объяснительных удобств.

Более популярный метод, основанный на числовых табличных

знаниях - тот метод, который использует способ вывода Байеса по таблицам условных вероятностей. Здесь еще трудно преодолеть проблема сбора данных. *De Dombal* /2/ сообщил о проблеме наблюдаемого изменения в записываемых образцах симптомов. Существует также проблема получения репрезентативных данных для редких болезней. Наиболее важна, однако, проблема сбора громадного объема данных для того, чтобы должным образом отвечать за взаимодействие между разными симптомами. Гораздо чаще используется упрощенное допущение о независимости между симптомами для того, чтобы облегчить проблему сбора данных.

Некоторые исследователи сообщили об успехе с такими байесовскими моделями. *De Dombal* /4/ достиг 92% точности в диагнозах острых заболеваний живота /4/, хотя другие исследователи достигли меньшего успеха, используя тот же метод.

Szolovitz и *Parker* показали /8/, что если лежащие в основе патологические и физиологические связи между симптомами нехорошо поняты, то может быть получен неправильный результат, если допустить независимость между симптомами.

Другая проблема включает неопределенность, ассоциируемую с объективностью, такой как неспособность как пациента, так и клинициста определить количество главных вещей, подобных боли.

Метод, используемый в данной статье - альтернатива байесовскому подходу, и использует числовую табличную базу знаний, но избегает подразумеваемости на отращения в вычислениях вероятности.

Метод устанавливает несколько критериев для измерения неопределенности в диагнозе. База знаний списков пациентов рас-



сматривается в двух перспективах:

1. Дискриминационная — для каждой болезни симптомы классифицируются в соответствии с тем, насколько хорошо они выглядят (распознают) болезнь по сравнению с другими болезнями.
2. Связь — для каждой болезни устанавливаются множества симптомов, которые представляют идеальный образец указанной болезни.

Как положительные, так и отрицательные аспекты дискриминации и связи нужны для установления образцов "за" и "против" каждой болезни.

Дискриминация может быть рассмотрена как серийный подход к данным симптомам, тогда как связь дает параллельный подход.

Метод описан в общих терминах, но для целей иллюстрации, он применен для диагноза часто обсуждаемого острого заболевания живота. Эта проблема касается диагноза одной из девяти болезней (включая аппендицит), использующего информацию по 135 симптомам и признакам, разделенным на 33 симптоматические категории, такие как:

"Местоположение боли вначале"

"Возраст"

"Оттягивающие факторы"

Дискриминационный анализ использует теорию нечетких множеств и отношений /2/, а анализ связей есть адаптация теории Аткин /1/.

2. Дискриминационный анализ

Допускается, что для составления базы знаний источником информации является множество историй болезней пациентов, где симптомы больных собраны вместе с конечным доказанным диагнозом.



зом. То есть, подчеркнем еще раз, что диагноз уже поставлен. Устанавливается таблица распределения частот $\{f_{ij}\}$,

где i означает i -тый симптом, j означает j -тую болезнь и f_{ij} означает пропорцию больных болезнью j , которую выявляет симптом i . Например, из всех пациентов с симптомом i_1 болезнью j_1 страдает k человек. Разделим k на общее число пациентов и получим $f_{i_1 j_1}$.

В конкретном примере ниже множество болезней D_1, D_2, D_3 и множество симптомов S_1, S_2, S_3 и $f_{11} = 0.7$ означает 70% - это те пациенты, которые страдают болезнью D_1 , представленной симптомом S_1 .

	D_1	D_2	D_3
S_1	0.7	0.2	0.4
S_2	0.3	0.8	0.6
S_3	0.6	0.0	0.2

Таблица распределения частот есть базис для следующих таблиц, называемых таблицами положительной дискриминации $\{P_{ij}\}$ и отрицательной дискриминации $\{n_{ij}\}$, которые вычисляются следующим образом:

$$P_{ij} = \sum_{\substack{k \in D \\ k \neq j}} \{ \chi_{\text{Large-ratio}}(f_{ij}/f_{ik}) \} / (C_D - 1),$$

$$n_{ij} = \sum_{\substack{k \in D \\ k \neq j}} \{ \chi_{\text{Large-ratio}}(f_{ik}/f_{ij}) \} / (C_D - 1),$$

где $P_{ij}, n_{ij} \in [0, 1]$ и C_D - кардинальное число множества болезней. D используется для обозначения множества индексов, соответствующих множеству болезней. Large-ratio определяется как нечеткое множество с характеристической функцией принадлежности:

$$\chi_{\text{Large-ratio}}: R^+ \rightarrow [0, 1],$$



отображающей положительные реальные числа, представленные отношением $\frac{f_{ij}}{f_{ik}}$ в интервал $[0,1]$.

Пример такого нечеткого множества представлен на рис.1

Используя рис.1, построим $\{p_{ij}\}$ и $\{m_{ij}\}$:

0.59	0.0	0.25	0.0	0.75	0.09
0.0	0.46	0.25	0.69	0.0	0.03
I	0	0.5	0.0	I.0	0.5

Если бы в отношениях 2.1 и 2.2 было применено просто отношение f_{ij}/f_{ik} , то смысл, допустим, p_{ij} сводился бы к следующему. Например, p_{11} - число, показывающее, какую часть в среднем составляет число страдающих болезнью D_1 от числа остальных пациентов, страдающих D_2, D_3 (для симптома S_1). При использовании же нечеткого множества *Linguistic ratio* выделяются большие отношения: это означает, что соответствующий симптом хорошо характеризует именно эту болезнь.

Обычно при использовании данного метода используется прямая линия вместо волнистого сегмента, изображенного на рис.1. Такая модель с прямой линией используется для того, чтобы удачно выбрать параметры a и b . Для болезней острого живота они принимают следующие значения $a=1, b=3$. В модели можно использовать и шаговую функцию (т.е. $a=b$). Но очевидно, что нечеткая область предпочтительнее. Эволюция применения функции принадлежности разного вида показана на рис.2, 3,4.

Эвристическое объяснение положительных и отрицательных дискриминационных величин состоит в том, что p_{ij} представляет накопленное мнение, что симптом i служит боль-

шим признаком болезни j , чем других оставшихся болезней, тогда как n_{ij} представляет накопленное мнение, что симптом i более индикативен для болезни j , чем других j (заметим инверсию отношений для n_{ij}).

Для данного пациента с образцами личных симптомов (назовем это множеством S') простой способ постановки диагноза состоит в выделении из таблиц $\{p_{ij}\}$ и $\{n_{ij}\}$ только тех строк, которые соответствуют элементам множества S' ; при этом получают новые таблицы $\{p'_{ij}\}$, $\{n'_{ij}\}$. Диагноз может быть определен как распределение по болезням $\{\delta_j\}$:

$$\delta_j = \frac{1}{2} \{ \chi_{large} \{ \mathcal{P}_j \} + \chi_{small} \{ \mathcal{N}_j \} \}, \quad j \in D,$$

где

$$\mathcal{P}_j = \{ \sum p'_{ij} \} / c_{S'}, \quad \mathcal{N}_j = \{ \sum n'_{ij} \} / c_{S'}, \quad c_{S'} = \text{card } S'$$

\mathcal{P}_j и \mathcal{N}_j представляют среднее число положительных и отрицательных дискриминационных величин, относящихся к каждой в отдельности болезни. Эвристически \mathcal{P}_j означает, насколько симптомы из таблицы p'_{ij} характеризуют болезнь, \mathcal{N}_j - соответственно не болезнь.

Нечеткие множества $Large$ и $Small$ имеют характеристическую функцию принадлежности:

$$\chi: [0,1] \rightarrow [0,1],$$

χ_{large} - монотонно возрастает, χ_{small} - монотонно убывает по своим аргументам.

Названия $Large$, $Small$ указывают на назначение этих функций. $Large$ выбирает большие числа: те симптомы, которые хорошо характеризуют болезнь j . Соответственно $Small$ - не болезнь j .

Болезнь с максимальным значением в $\{\delta_j\}$ может быть

интерпретирована как наиболее вероятный диагноз. И максимальная величина вместе с некоторой мерой рассеяния величин (т.н. энтропией) может быть использована для оценки неспределенности этого диагноза. В качестве меры размытости можно взять, например, меры А. де Лука и С. Термини.

Опыт показывает, что приемлемый список диагнозов достигается, когда в базе данных используются истории болезни приблизительно 90 пациентов, страдающих, к примеру, заболеванием "острого живота".

Диагноз можно значительно улучшить, комбинируя дискриминационный анализ и альтернативный подход - анализ связей, который выявляет множества симптомов, которые связаны определенным образом. Серийный подход, т.е. дискриминационный анализ, означает, что доверие ко многим, даже противоположным гипотезам болезней, из-за слабо различимых, но ложных симптомов, ведет к "залумленным" диагнозам. Параллельный подход, т.е. анализ связей, фильтрует шум путем проверки множеств симптомов, которые обычно встречаются вместе в историях болезней. Эта идея взята из анализа нечетких групп и ниже смоделирована из теории связи, адаптированной из теории *Atkin* [1].

3.1. Теория Эткина (*Atkin*).

В теории связи Эткина речь идет о моделировании некой структуры, представляющей собой отношение между хорошо определенными множествами [1].

Например, рассмотрим так называемую матрицу инцидентов*

$R = \{r_{ij}\}$. Эта матрица связывает множество людей $P = \{P_1, P_2,$

P_3, P_4, P^1 и множество деятельностей $A = \{A_1, A_2, A_3, A_4\}$

отношением "представления". Так, допустим, $r_{ij} = 1$ означа-

* или инцидентности.



ет, что человек P_j занимается деятельностью A_i означает, что P_k не занимается деятельностью A_i .

	P_1	P_2	P_3	P_4	P_5
A_1	1	0	1	0	0
A_2	1	1	0	1	0
A_3	1	1	1	1	1
A_4	0	1	0	1	1

Т.о. P_1 занимается деятельностью A_1, A_2, A_3 но не занимается деятельностью A_4 и т.д.

Анализ Эткина позволяет вычислять количество "участия" или связи, которое существует между рядами и столбцами такой матрицы инцидентов. Это замечание об участии вытекает из рассмотрения строк и столбцов данной матрицы как полиэдров во многомерной области. Связь между двумя полиэдрами дается числом участвующих граней. Две точки эквивалентны единственной грани, три точки - двум граням и т.д.

Рассмотрим, например, вектор-столбцы $P^1(1\ 1\ 1\ 0)$ и $P^4(0\ 1\ 1\ 1)$. у них одинаковые компоненты $P_2^1 = P_2^4, P_3^1 = P_3^4$ - две точки. Значит, они участвуют в одной грани посредством деятельностей A_2 и A_3 . Деятельности A_3 и A_4 связывают две грани, посредством P_2, P_4, P_5 .

Связь между людьми и деятельностью дается формулами

$$C_P = R^T R - \Omega \quad C_A = R R^T - \Omega,$$

где Ω - матрица, все элементы которой равны 1.

Ясно, что C_P и C_A симметричные и могут быть представлены в верхнетреугольной форме:



$$C_P = \begin{matrix} & P_1 & P_2 & P_3 & P_4 & P_5 \\ P_1 & 2 & 1 & 1 & 1 & 0 \\ & & 2 & 2 & 2 & 1 \\ & & & 1 & 0 & 0 \\ & & & & 2 & 1 \\ & & & & & 1 \end{matrix}$$

$$C_A = \begin{matrix} & A_1 & A_2 & A_3 & A_4 \\ A_1 & 1 & 0 & 1 & - \\ & & 2 & 2 & 1 \\ & & & 4 & 2 \\ & & & & 2 \end{matrix}$$

где "-" в C_A эквивалентен -1 и означает, что A_4 и A_1 абсолютно не связаны.

Замечание. В контексте применения медицинской терминологии, в частности, заболеваний "острого живота", множество P становится множеством пациентов и множество A становится множеством симптомов. Поэтому $(N^T N)_{ij}$ можно интерпретировать как количество одинаковых симптомов у больных i и j .

$(N^T N)_{ij}$ - число пациентов, у которых в наличии симптомы i и j .

Эткин интересуется не только связью между двумя полиэдрами, но также нахождением цепей связей, т.е. цепей полиэдров, соединенных, по крайней мере, некоторым данным числом граней.

Эти цепи связи могут быть определены прямо из C_P и C_A как описано у Эткина /1/ и представлено в таблице I.

Беличина q характеризует рассматриваемый уровень связи (число граней), где в скобках $\{ \cdot \}$ находятся те полиэдры, которые соединены этим уровнем. Т.о. P_1 соединен сам с собой уровнем 2 и P_2 и P_4 соединены уровнем 2, но $\{P_1\}$ и $\{P_2, P_4\}$ изолированы друг от друга уровнем 2 и соединены только уровнем 1.

Затем соответствующие C_P - цепи описывают, является или нет множеством пациентов представителем одной группы для данных симптомов. Подобный анализ может быть использован для обнаружения, например, имеют ли пациенты тенденцию попадать



в две различные группы, возможно, характеризующие два различных синдрома одной и той же болезни (синдром - совокупность симптомов). Соответствующие $C_{\mathcal{A}}$ - цепи показывают, насколько личное подмножество симптомов в итоге представляет пациентов и, следовательно, могло быть использовано для определения симптомов, которые сильно характеризовали бы болезнь.

3.2. Мера связи для классификации решения

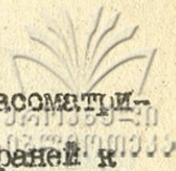
Замечание Эткина о связи как об "участии" граней во многомерной области полиэдров, несомненно, очень удачно. Однако для целей классификации решений, в общем, и получения образцов репрезентативных симптомов для диагностики болезней, в частности, требуется, с точки зрения интуиции, модифицированный подход.

Рассмотрим следующую матрицу инцидентов, где строки - симптомы, столбцы - пациенты.

	P_1	P_2	P_3	P_4
S_1	1	1	1	1
S_2	0	0	1	1
S_3	1	1	1	1

P_1 и P_2 соединены сами с собой и друг с другом степенью 1, тогда как P_3 и P_4 соединены сами с собой и друг с другом степенью 2. Однако P_1 также соединен с P_3 и P_4 степенью 1, т.к. они делят одну грань. Это не согласуется с интуитивным предположением, что пациент P_1 больше "похож" на пациента P_2 , чем на P_3 и P_4 . Величина $Q = 1$ это никак не отображает.

Таким образом, чтобы ответить на вопрос, соответствующий подобию (похожести) пациентов, абсолютная величина Эткина чис-



ла участвующих граней не подходит. Вместо нее далее рассматривается величина, равная отношению числа участвующих граней к общему числу граней (получается так называемая новая величина связи, см. п. 3.4). Величины нормализованы так, что связь "единицей" выявляет эквивалентность образцов, тогда как связь "нулем" - абсолютное неравенство.

3.3. Положительная и отрицательная связь

Ключевая характерная черта во многих системах классификации решений состоит в том, что наряду с прямой гипотезой доказывается и ей обратная (противоположная). Это и есть мотивация для положительных и отрицательных аспектов дискриминации. Подобным же образом для анализа связей симптомов анализ положительной связи устанавливает те группы симптомов, которые, если они встречаются вместе, являются индикаторами болезни; и анализ отрицательной связи устанавливает те группы, которые индикативны для не этой болезни.

Существенно, что положительная связь рассматривает связность единичных элементов в матрице инцидентов, тогда как отрицательная - связность нулевых.

Величины матрицы инцидентов могут быть интерпретированы как степень совместимости между пациентами и симптомами (множество строк и столбцов), и неопределенности в степени совместимости легко представляются значениями функции принадлежности в $[0,1]$.

Например, в матрице инцидентов:

	P_1	P_2
S_1	0.8	0.3
S_2	0.6	0.2
S_3	1.0	0.0



симптомы S_1 и S_2 могут представлять "румяный цвет лица", "высокая температура". S_3 может быть детерминистическим симптомом, например, таким, как "мужской пол".

Анализ положительной связи применяется прямо для матрицы инцидентов, тогда как анализ отрицательной связи для дополнения матрицы инцидентов

$$\chi_{complement}(i, j) = 1 - \chi_{incidence}(i, j)$$

3.4. Алгебры связей

В этом разделе будут проанализированы три разные алгебры связей - своеобразная мотивация для аксиом связей следующего раздела.

Матрица инцидентов W соответствует отношению R (в общем, нечеткому) между множеством симптомов S и пациентов P следующим образом:

$$R \subseteq S \times P \quad \chi_R: S \times P \rightarrow [0, 1]$$

$$W = \{w_{ij}\}, \text{ где } w_{ij} = \chi_R(s_i, p_j), s_i \in S, p_j \in P.$$

Рассмотрим j и k вектор - столбцы из W : $a = \{a_i\} = \{w_{ij}\}$; $b = \{b_i\} = \{w_{ik}\}$.

Три алгебры определяют величину связи c между векторами a и b , как показано ниже:

1. Алгебра Эткина

$$c = \sum_i a_i b_i - 1.$$

2. Минимизация композиции

$$c = \bigvee_i (a_i \wedge b_i),$$

где \bigvee_i означает максимум по i и $a_i \wedge b_i$ означает минимум среди a_i и b_i .

3. Новая величина связи



где $a_i \vee b_i$ означает максимум a_i и b_i .

В табл. 2 показано как применять эти алгебры к простой матрице инцидентов.

Новая величина связи, т.е. алгебра 3 показывает большую схожесть пациентов P_1 и P_2 , чем P_1 и P_3 . Такое различие не отражается в алгебрах 1 и 2.

3.5. Аксиомы для анализа связей

В этом разделе мы постулируем четыре аксиомы для обобщенного скалярного произведения $a * b$, двух векторов a и b , который является подходящей величиной связи для классификации решений. Аксиомы однозначно определяют операцию $*$, когда векторы состоят только из нулей и единиц (это соответствует четкой матрице инцидентов). В противном случае аксиомы определяют класс операций, обсуждаемый в разделе 3.4.

Аксиомы 1 и 2 есть аксиомы равенства и абсолютной несоразмерности между двумя векторами. Аксиома 3 - аксиома симметрии; аксиома 4 - аксиома монотонности для случая нечетких векторов.

Определение. Рассмотрим пару n -мерных векторов a и b , соответствующих двум столбцам или строкам матрицы инцидентов так, что элементы векторов $a_i, b_i \in [0,1]$. Множество упорядоченных пар:

$$\{(a_i, b_j) : \text{по крайней мере } a_j \text{ или } b_j > 0\}$$

называется суппортом множества $\{(a_i, b_i) : i = 1, \dots, n\}$.

Аксиома 1. Два вектора a, b являются эквивалентными, если все пары элементов в суппорте $\{(a_i, b_i) : i = 1, \dots, n\}$ таковы, что $a_j = b_j$. Два эквивалентных вектора имеют связь единицу.

Аксиома 2. Два вектора являются абсолютно неэквивалентными, если для каждой пары (a_j, b_j) в суппорте множества $\{(a_i, b_i) : i, n\}$ либо a_j , либо b_j есть 0. К тому же два вектора абсолютно неравны, если они имеют нулевой суппорт. Два "абсолютно неравных вектора" имеют связь ноль.

Аксиома 3. Оператор связи коммутативен $a * b = b * a$.

Аксиома 4. Для четких векторов a, b с компонентами $a_i, b_i \in [0, 1]$, которые "не эквивалентны" и не "абсолютно неравны", связь дается пропорцией пар (a_j, b_j) суппорта, в которых $a_j = b_j = 1$, от общего числа пар суппорта.

Аксиомы не дают ответа на вопрос, как и в какой алгебраической операции использовать нечеткие данные. Например, следующие два правила удовлетворяют аксиомам, но могут давать разные результаты для нечетких данных:

$$c = \left\{ \sum_i (a_i \wedge b_i) \right\} / \sum_i (a_i \vee b_i),$$

$$c = \left\{ \sum_i |a_i - b_i| \right\} / \text{card}(\text{support})$$

3.6. База знаний связи

Алгебра связи 3.1 используется для установления симметричной матрицы связи. То есть, с помощью формулы 3.1 вычислим элементы матрицы $c = \{c_{ij}\}$, где c_{ij} означает связь между S_i и S_j .

Метод Эткина [1] может быть применен к этой матрице связи для установления степени связанности между различными строками и столбцами исходной матрицы инцидентов.

Рассмотрим, например, матрицу инцидентов со столбцами, соответствующими разным пациентам, у которых одна, установленная болезнь (диагноз поставлен), и строками, соответствующими



ющими симптомам этих пациентов.

Цепи связи между симптомами на разных уровнях связи могут быть установлены путем разделения множества симптомов, которые имеют попарные связи не менее определенного уровня. Это соответствует замечанию Эткина о цепях полиэдра, соединенных, по крайней мере по некоторым данным, числом граней. Конечно, так как новая величина связи (алгебра 3) есть реальное число в $[0, 1]$, вместо дискретного числа граней необходимо в качестве образца связь область уровней связи $[0, 1]$ для определения подходящих распределений образцов симптомов: другими словами, вместо совокупности граней будем рассматривать область уровней связи.

Практическая проблема, связанная с этим подходом, состоит в том, что матрица связи может быть очень большой, особенно когда рассматриваются образцы репрезентативных симптомов (например, 135×135 для острой болезни живота). И это налагает реальные вычислительные трудности при определении цепей связи на разных уровнях связи.

Эта проблема облегчается удалением симптомов, которые имеют низкие дискриминационные величины для рассматриваемой болезни. Порог дискриминации может быть выбран для уменьшения тяжести вычислений к доступному уровню. Обычно для острой болезни желудка используется порог 0,4, и он уменьшает число симптомов с 135 до 40 для каждой болезни. Это означает, что если, допустим, строка i содержит величины, ниже 0,4, то по вышеизложенным причинам мы имеем право ее не рассматривать.

База знаний включает две таблицы для каждой болезни, основанные на анализе положительной и отрицательной связи. В каж-

дом случае таблицы имеют множества образцов симптомов, соответствующих взятой за образец области уровней связи $[0, I]$.

Например, для множества девяти симптомов, помеченных метками $\{1, 2, 3, \dots, 9\}$, положительная связь может быть такой:

Уровень связи	Образцы симптомов
I	$\{1\}, \{2, 3\}, \{4\}, \{5\}, \{6\}, \{7\}, \{8\}, \{9\}$
0,8	$\{2, 3\}, \{1\}, \{4, 6, 9\}, \{5\}, \{7\}, \{8\}$
0,6	$\{2, 3\}, \{1\}, \{4, 6, 9\}, \{5\}, \{7, 8\}$
0,4	$\{2, 3\}, \{4, 6, 9\}, \{5\}, \{1, 7, 8\}$
0,2	$\{2, 3\}, \{4, 5, 6, 9\}, \{1, 7, 8\}$
0	$\{1, 2, 3, 4, 5, 6, 7, 8, 9\}$

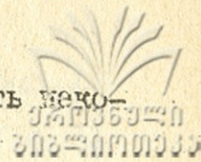
Заметим, что все симптомы соединены сами с собой уровнем I и все симптомы образуют единственный "образец репрезентативных симптомов" на уровне 0. С другой стороны, пример выявляет тенденцию симптомов попадать в три различные группы. Например, I симптом попадает в 2 группы, 2 - в I, 3 - в I, 4 - в 3, 5 - в 2, 6 - в 3, 7 - в 3, 8 - в 3, 9 - в 3. Группы имеют тенденцию быть малыми на высоких уровнях и становиться больше, когда уровень падает.

Ясно, что "репрезентативная группа симптомов" представляет довольно нечеткую концепцию, так как главный критерий для определения такой группы состоит в том, что эта группа должна быть довольно широкой и на высоком уровне.

Если в приведенном примере должна быть выбрана единственная группа, можно выбрать $\{4, 6, 9\}$. И этот выбор может быть определен простой процедурой решения из элементарной причинной нечеткой модели /2/.

Однако для целей классификации решения предпочтительно сох-

ранить распределение уровней связи так, чтобы поддержать некоторую модель неопределенности.



Эффективен следующий подход: обрабатываем таблицу снизу вверх. Группа-кандидат на каждом этапе та, которая представляет собой наибольшее подмножество предшествующей группы-кандидата и содержит не менее двух элементов. Пример:

Группа	Уровень
4,6,9	0.8
4,6,9	0.6
4,6,9	0.4
4,6,9,5	0.2
1,2,3,4,5,6,7,8,9	0

Это распределение определяется как для положительной, так и для отрицательной таблицы связи и распределение определяет множество упорядоченных пар следующим образом:

$P = \{(Q_i, c_i)\}$ - из положительной таблицы связи

$N = \{(R_i, d_i)\}$ - из отрицательной таблицы связи

Q_i, R_i - множества симптомов на i -том уровне связи, c_i, d_i - величины, соответствующие i -тому уровню связи. Упорядоченные пары устанавливаются для каждой из n болезней и дают распределение (P_1, \dots, P_n) и (N_1, \dots, N_n) .

Для данного представленного пациента с образцами симптомов $\{S_j\}$ неопределенное распределение по болезням может быть установлено путем взвешивания пропорции симптомов в каждой группе, которые появляются в $\{S_j\}$ к общему числу симптомов:

Diagnosis: $D = (D_1, \dots, D_n)$

$$D_i = \{x_{large} (\{\sum_j c_j P(Q_i / \{S_j\})\} / \{\sum_j c_j\}) +$$

$$+ x_{small} (\{\sum_j d_j P(R_i / \{S_j\})\} / \{\sum_j d_j\})\} / 2.$$



где $p(Q_i/\{S_j\})$ - отношение (пропорции) тех симптомов в Q_i , которые встречаются в $\{S_j\}$, к общему количеству симптомов $\{S_j\}$. *Large* и *Small* - нечеткие множества.

Эвристика, на которой базируется эта процедура - только один пример из многих, которые могут быть использованы. На практике, для того чтобы установить полное диагностическое распределение, применяется комбинация дискриминационного анализа и анализа связей.

Способ, описанный выше, может быть адаптирован для подсчета определенным образом структурированных симптомов. Например, при изучении болезни острого живота, множество из 135 симптомов разделено на 33 категории, такие, как:

Пол (2 симптома);

Возраст (6 симптоматических зон);

Местонахождение боли в организме (10 групп симптомов);

Отягчающие факторы (4 симптома).

В некоторых из этих категорий пациент может быть представлен более, чем одним симптомом (например, "отягчающие факторы"). С другой стороны, только одна из 6 областей будет принадлежать к категории возраста. Эти структурные различия должны быть учтены, когда определяются пропорции $p(Q_i/\{S_j\})$ и $p(R_i/\{S_j\})$ в описанном выше анализе связей. Однако более детальный разбор этого в статье опускается.

Получено 30.11.1993

Проблемная лаборатория
физической кибернетики



Табл. I

q -СВЯЗЬ	C_p -ЦЕПИ	q -СВЯЗЬ	C_* -ЦЕПИ
$q = 2$	$\{P_1\}; \{P_2, P_4\}$	$q = 4$	$\{A_3\}$
$q = 1$	$\{P_1, P_2, P_3, P_4, P_5\}$	$q = 3$	$\{A_3\}$
$q = 0$	$\{P_1, P_2, P_3, P_4, P_5\}$	$q = 2$	$\{A_2, A_3, A_4\}$
		$q = 1$	$\{A_1, A_2, A_3, A_4\}$
		$q = 0$	$\{A_1, A_2, A_3, A_4\}$

Табл. 2

	Матрица инцидентности			Алгебра	Положит. связь, с $a(P_1) \times b(P_2)$ $a(P_1) \times b(P_3)$	
	P_1	P_2	P_3			
S_1	I	I	I	I	I	I
S_2	0	0	I	2	I	I
S_3	I	I	I	3	I	$\frac{2}{3}$



Литература

1. R.H.Akin. Mathematical Structure in Human Affairs (Crane, Russak Co, New York, 1979).
2. D.Norris, B.W.Pilsworth, J.F.Baldwin. Medical Diagnosis from Patient Record, Fuzzy Sets and Systems (23) 1987, 73-87.
3. R.Davis. Interocive Transfer of Expertise: Acquisition of New Inference Rules, Artificial Intelligence 12 (1979) 121-157.
4. F.F.DeDombal, D.J.Leaper, J.C.Horrocks et al., Computer Aided Diagnosis of Acute Abdominal Pain, British Med J 1 (1974) 367-380.
5. E.H.Shortliffe and B.G.Buchanan. A Model of Inexact Reasoning in Medicine, Math , Biosci , 23 (1979).
6. E.H.Shortliffe. Computer Based Medical Consultations: MICIN (American Elsevier, New York, 1976).
7. P.Smets, Medical Diagnosis: Fuzzy Sets and Degrees of Belief, Fuzzy Sets and Systems 5(1981).
8. P.Szolovitz and S.G.Pauker. Categorical and Probabilistic Reasoning in Medical Diagnosis, Artificial Intelligence 11(1978) 115-144.

3. კლასიფიკაცია

სამედიცინო დიაგნოზის ავტომატიზაციის ინჟინერის საკვალიანო -
 მათემატიკური და ფიზიკური მეთოდების გამოყენებით ახალი მეთოდი
 და კლასიფიკაციის ახალი მეთოდი

რ ე ზ ი მ ე

ინჟინერული კომპიუტერული მეთოდი კლასიფიკაციის მეთოდი, რომელიც
 საკვალიანო მეთოდების სახით წარმოადგენს საკვალიანო მეთოდების
 მეთოდი და ახალი მეთოდი კლასიფიკაციის ახალი მეთოდი და კლასიფიკაციის ახალი მეთოდი



T. Kiseleva

MEDICAL DIAGNOSIS BASED ON THE CASE HISTORY: A METHOD USING FUZZY DISCRIMINATION AND CONNECTIVITY ANALYSES

Summary

A method of classification of decisions is described - based on archival documents presented in tabular form, and on fuzzy discrimination analysis and analysis of relations.

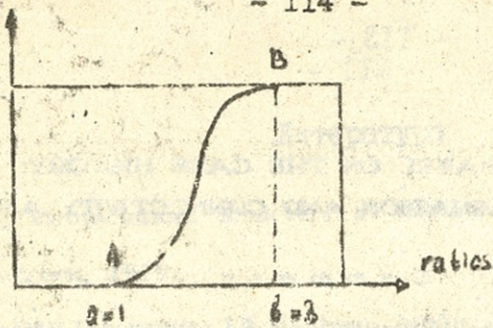


Рис. I

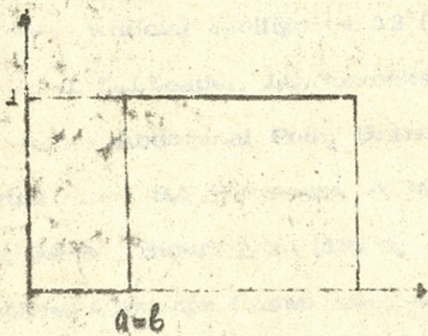


Рис. 2

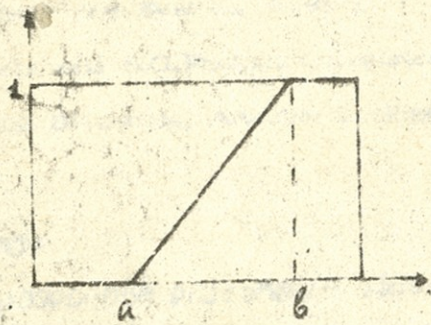


Рис. 3

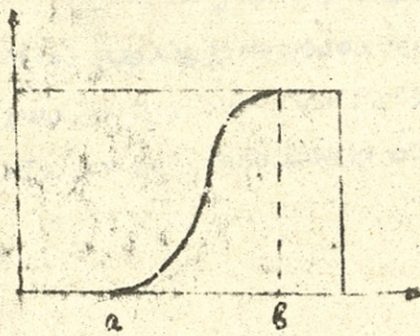


Рис. 4

Труды Тбилисского государственного университета

им. И. Дзавахишвили

მზ. ჯავახიშვილის სახელობის თბილისის სახელმწიფო
უნივერსიტეტის შრომები

316, 1993

ОБ ОДНОМ ПОДХОДЕ К ЗАДАЧЕ ПРИНЯТИЯ РЕШЕНИЙ — МЕТОД
НЕЧЕТКОЙ ДИСКРИМИНАЦИИ И СВЯЗНОСТИ

К.М. Панчвидзе

Проблема принятия решений является одной из важнейших в математической информатике. До недавнего времени все попытки решить эту проблему сводились к точному, математическому анализу и точным математическим моделям. Особенно эффективными эти модели показали себя для количественного анализа систем, поведение которых описывается количественно-разностными, дифференциальными и интегральными уравнениями, например, в физических науках.

Но на практике принятие решений часто происходит в условиях, когда цель и возможные последствия трудно, а иногда нельзя точно сформулировать, и, кроме того, невозможно обеспечить учет всех условий и ограничений, необходимых для решения задачи. Особенно явно неадекватность численных методов проявляется в анализе проблем, где существенную роль играют суждения и знания человека, его способность думать и делать заключения в неточных, неколичественных и нечетких терминах. С этим мы сталкиваемся, например, в задачах распознавания образов, перевода с одного языка на другой, в диагностике и др., которые требуют понимания сущности, абстрагирования и обобщения, принятия ре-

шений в условиях неопределенности, и тем более в задачах агрегирования информации.

Предпринимались попытки оперирования с нечетко определенными величинами на основе теории вероятностей, а также теорий принятия решений, управления и информации. Но принималось допущение, что нечеткость, независимо от ее природы, можно отождествить со случайностью. Это не всегда отражает сущность исследуемой проблематики. Нечеткость, возникающая, например, в реальном процессе принятия решений, того же происхождения, что и нечеткость в задаче проведения границы, разделяющей нечеткие элементы по признаку принадлежности к тому или иному классу.

Фактически большинство классов объектов реального мира не имеют четких границ, которые отделяли бы входящие в класс объекты от объектов, не входящих в него. Например, множества (высоких людей), (умных и привлекательных), также (красных или фиолетовых предметов), множество симптомов той или иной болезни суть нечеткие подмножества. Так, утверждение "X довольно высокий мужчина" не может точно определить рост субъекта X, но все же это предложение несет в себе информацию, которая поможет нам приблизительно оценить телосложение интересующей нас персоны.

Таким образом, для реалистического моделирования определенного класса явлений, процессов возникает необходимость замены количественных методов т.н. лингвистическим подходом, в соответствии с которым в качестве значений переменных можно использовать не только числа, но и слова или предложения естественного или искусственного языка. Например, $R_{ast} = 2 м$ суть детерминированная переменная, тогда как $R_{ast} =$



"довольно высокий" можно рассматривать как лингвистическую переменную. Нечеткая логика и приближенные методы рассуждений, которые лучше отвечают сложности и неточности реальных систем, чем обычные численные методы, дают возможность использовать человеческий фактор, т.е. опыт специалиста в таких задачах, как, например, расшифровка неразборчивого почерка или искаженной речи, постановка диагноза при недостаточных данных предварительного осмотра, или же в случае не слишком хорошо изученной болезни, необходимость обработки громадных информационных массивов, которая иногда сводит на нет применение четкого математического алгоритма. Лингвистический, или нечеткий подход позволяет концентрировать внимание лишь на той информации, которая приводит к решению.

Первое упоминание о нечетких или расплывчатых множествах и математическом аппарате, определяющем операции над ними, в научной литературе появилось в начале 60-х годов, когда американский ученый Лотфи Заде ввел понятие "*Fuzzy sets*" - расплывчатые множества /1/. Заметим, что незадолго до этого аналогичные объекты уже встречались в работах грузинского ученого В.В. Чавчанидзе /2/. На протяжении этих лет математическая теория нечетких множеств прошла все испытания и оправдала свое назначение. На сегодняшний день существует много научных направлений, изучающих поведение нечетких систем.

При нечетком подходе к той или иной задаче возникает ряд качественно новых проблем. В первую очередь, для обеспечения работоспособности системы на основе нечеткого логического подхода, ее надо снабдить базой нечетких знаний, поскольку используемые в реальном мире знания и правила вывода редко бывают абсолютно четкими. Таким образом, проблема представления зна-



ния является одной из ключевых. В настоящее время существует три основных способа представления знания: База знаний, основанная на правилах, на фреймах и на семантических сетях, в виде ориентированных графов. В зависимости от исследуемой проблемы выбирается подходящее представление.

Кроме этого, ключевым понятием в рассматриваемой методике является характеристическая функция принадлежности. Оценивая степень принадлежности элементов, она принимает значения из интервала $[0, 1]$. Фиксирование конкретных значений при этом носит субъективный характер, но здесь мы не остановимся на методах построения функции принадлежности по экспертным оценкам. Упомянем только, что здесь может возникнуть проблема с двумя типами свойств-объектов: те, которые можно оценить количественно, непосредственным измерением, и качественные, которые требуют попарного сравнения объектов, обладающих рассматриваемым свойством, или принадлежащих к какому-либо классу, чтобы определить их относительное место в соответствии с рассматриваемым понятием.

В настоящей статье рассматривается, на наш взгляд, один из привлекательных методов анализа нечеткого подхода - метод анализа нечеткой дискриминации и связности. Его можно интерпретировать как альтернативу методу логического вывода вероятностей Байеса. Информационные знания в последнем случае представлены в виде числовых таблиц условных вероятностей, каждое событие характеризуется тандемом апостериорных вероятностей как самого события, так и его четкого дополнения.

Вероятностный подход сталкивается с рядом весьма существенных трудностей, среди которых проблема сбора громадного объема данных для выявления более или менее надежных зависи-

мостей между различными событиями. Кроме того, большей частью используется упрощенное предположение о независимости событий. Но такое допущение не учитывает семантического взаимодействия и внутренних связей между событиями, скрытых от статистических наблюдений.

Рассмотренный здесь метод также использует базу знаний на основе числовых таблиц, но избегает ограничений, подразумеваемых в расчетах вероятности. Исходная таблица строится на статистических, эмпирических или экспертных данных, определяющих зависимости между концептуальными объектами. В частном случае это может быть и таблица апостериорных вероятностей. Здесь мы будем акцентировать внимание на взаимодействующих системах-множествах, и исследуем их поведение в аспекте причинно-следственных связей.

Не нарушая общности можно говорить о таблице частного распределения между множествами (предпосылок) и (заклучений), (первопричин событий) и (следствий), (признаков неисправностей) и (целевых диагнозов), (признаков) и (гипотез) и т.д.

В зависимости от исследуемой проблематики можно выбрать подходящее представление. Мы будем оперировать терминами: признаки и гипотезы.

Числовая таблица F может иметь вид (см. таблицу I), где элементы таблицы f_{ij} несут в себе одну из следующих смысловых нагрузок: статистическую, эмпирическую, экспертную, вероятностную, или какую-нибудь другую, определяющую насколько признак S_i обуславливает гипотезу H_j .

Дальше, на основе исходной таблицы постулируем две следующие: $\{p_{ij}\}$ положительной и $\{n_{ij}\}$ отрицательной дискриминации, которые будем вычислять по формулам:



$$\{P_{ij}\} = \sum_{\substack{k \in D \\ k \neq j}} \{T_{\text{large-ratio}}(f_{ik}/f_{ij})\} / (C_H - 1).$$

$$\{n_{ij}\} = \sum_{\substack{k \in D \\ k \neq i}} \{T_{\text{large-ratio}}(f_{ik}/f_{ij})\} / (C_H - 1).$$

Здесь величины P_{ij} и $n_{ij} \in [0, 1]$, C_H обозначает кардинальное число множества гипотез H , индекс H указывает на множество гипотез, $T_{\text{large-ratio}}: R^+ \rightarrow [0, 1]$ — характеристическая функция принадлежности к нечеткому множеству $\{\text{large-ratio}\}$, т.е. $\{\text{больших соотношений}\}$, которая отображает положительные действительные числа в интервал $[0, 1]$. В частности, она может иметь форму, приведенную на графике. В качестве аргумента взята (f_{ik}/f_{ij}) пропорция, которую можно интерпретировать как относительный вес j и k гипотез соответственно в i -ом признаке (рис.1).

Из графика видно, что когда (f_{ik}/f_{ij}) соотношению меньше A и больше B , то функция T принимает вполне четкие значения: 0 или 1. Интервал $[A, B]$ определяется суждениями экспертов. В частном случае, когда $A=B$, т.е. T -ступенчатая функция, имеем дело с четким представлением проблемы.

Таким образом, исследуя смысл величин P_{ij} и n_{ij} , можно дать их эвристическое толкование. Так, например, мера положительной дискриминации P_{ij} представляет уверенность, что признак i более показателен для гипотезы j , чем для других гипотез, а мера отрицательной дискриминации n_{ij} представляет ожидание, насколько признак i показателен для не гипотезы j .

Теперь возьмем частное событие и множество наблюдаемых признаков $\{S\}$. В общем случае это не полное множество всех

возможных признаков. Из таблиц $\{P_{ij}\}$ и $\{n_{ij}\}$ отберем только те ряды, которые соответствуют множеству $\{S\}$, а остальные ряды заполним нулями. Получим новые таблицы $\{P'_{ij}\}$ и $\{n'_{ij}\}$ для частного события. Результат можно получить в виде распределения по гипотезам $\{\delta_j\}$ следующим образом:

$$\delta_j = \frac{1}{2} \{ \mathcal{I}_{Large}(x_j) + \mathcal{I}_{Small}(y_j) \},$$

где

$$x_j = \{ \sum P'_{ij} \} / c_s, \quad y_j = \{ \sum n'_{ij} \} / c_s,$$

а c_s обозначает кардинальное число множества S .

Как можно догадаться по выражениям x_j и y_j , это средние значения мер соответственно положительной и отрицательной дискриминаций для гипотезы j . Нечеткие множества $Large$ и $Small$ характеризуются функциями принадлежности:

$$\mathcal{I}: [0,1] \rightarrow [0,1]$$

при этом \mathcal{I}_{Large} - монотонно возрастающая, а \mathcal{I}_{Small} - монотонно убывающая функция относительно своего аргумента.

Гипотезу j с максимальной величиной в $\{\delta_j\}$ можно интерпретировать как наиболее вероятный исход, а значение максимальной величины вместе с мерами рассеяния (например, энтропией) может быть использовано для оценки неопределенности в заключении.

Система может выдавать вполне приемлемые результаты, но все-таки есть резон рассматривать дискриминационный подход вкуче с анализом связности, учитывая, что гипотезы могут формироваться как через сильно выраженные, но ложные, так и через большое количество слабо выраженных признаков, приводя



таким образом к "за шумленному" решению. Параллельно использованию анализа связности может в некоторой степени отфильтровать "за шумление", генерированное частично несовместимыми данными, через исследование уровней связностей между группами признаков, которые в большей или меньшей степени присущи той или иной гипотезе.

Здесь мы попытаемся сформулировать подход на основе анализа связности по теории Эткина.

Этот подход помогает смоделировать структуры, в которых могут проявиться скрытые взаимозависимости между хорошо определенными множествами. Мы будем говорить о матрице инцидентности $R = \{r_{ij}\}$ с элементами 0 или 1, устанавливающей соотношения "активности" между множеством ситуаций $E = \{E_1, E_2, E_3, E_4, E_5\}$ и множеством признаков $S = \{S_1, S_2, S_3, S_4\}$. Значения элементов этой матрицы r_{ij} обозначают, активизирован ли признак i в j -ой ситуации: да, если $r_{ij} = 1$, и нет, если $r_{ij} = 0$.

Допустим, что матрица инцидентности имеет вид (см. таблицу 2).

Тогда в нашем случае получается, что при ситуации E_1 наблюдаются признаки S_1, S_2 и S_3 , но не S_4 , и т.д. Для наглядности представления Эткин рассматривает ряды и столбцы матрицы инцидентности как полиэдры в многомерном пространстве, а связность между двумя полиэдрами, т.е. между ситуациями и признаками, определяется количеством их общих граней. Так, например, две точки составляют одну общую грань, три точки - две грани и т.д. Т.о. ситуации E_1 и E_2 имеют одну общую грань через признаки S_2 и S_3 , а признаки S_3 и S_4 имеют две общие грани через ситуации E_3, E_4 и E_5 .

Представление взаимоотношений между ситуациями и признаками можно наглядно получить из матрицы связности C_E и C_S , которые вычисляются по формулам:

$$C_E = R^T R - \Omega, \quad C_S = R R^T,$$

где \tilde{R} - транспонированная матрица инцидентности, а Ω - просто матрица с единичными элементами.

Заметим, что обе эти матрицы, C_E и C_S , симметричны, и записанные в треугольной форме для нашего частного случая, имеют вид (см. таблицу 3).

Здесь прочерк "-" - проставлен вместо отрицательного значения: это обозначает, что признаки S_4 и S_7 абсолютно не связаны друг с другом.

С другой стороны, у Эткина обсуждается не только наличие связности между двумя полиэдрами, но также и цепные связи, т.е. если рассмотреть цепки полиэдра, то могут выявиться, на первый взгляд, неявные связи с определенным количеством граней на данном уровне. Эти цепные связи по теории Эткина определяются прямо из C'_E и C'_S матриц.

В таблице 4 представлена общая картина распределения по уровням связности для множества ситуаций.

В первой графе указывается уровень связности, а в фигурных скобках заключены ситуации-полиэдры, связанные на этом уровне.

На уровне "2" расположились две группы: $\{E_1\}$ и $\{E_2, E_4\}$. На первом уровне в одну группу попали все ситуации, хотя, например, E_1 и E_5 имеют только один общий признак, к т.о. не имеют общей грани, но в аспекте цепных связей они все-таки вошли в общую группу на уровне "1". На нулевом уровне все ситуации взаимосвязаны.



Можно так же привести распределение по группам для признаков (см. таблицу 5).

Интерпретация такая же.

Таким образом, каждая гипотеза предопределяется, с одной стороны, наблюдаемыми ситуациями, а, с другой стороны, активизированной при этом картиной признаков.

Анализом связности можно, например, обнаружить, имеют ли ситуации тенденцию попадать в разные группы, если при этом наблюдаются разные, но обуславливающие одну и ту же гипотезу признаки, а C_E - цепочки описывают, насколько множество ситуаций репрезентативно для данной группы, рассматривая это с точки зрения проявленных при этом признаков.

С другой стороны, C_S - цепочки позволяют определить, насколько хорошо частные подмножества признаков (группы на одном уровне связности) характеризуют общую картину ситуаций, и, следовательно, можно построить в каком-то смысле образец показательных для данной гипотезы признаков.

Несмотря на явную привлекательность, эта теория не дает исчерпывающую информацию для классификаций решений. Так, например, рассмотрим такую матрицу инцидентности (см. таблицу 6), где $\{E\}$ - множество ситуаций, а $\{S\}$ - множество признаков.

Из матрицы получаем такое соотношение: E_1 и E_2 самосвязаны и взаимосвязаны на уровне "1", а E_3 и E_4 самосвязаны и взаимосвязаны на уровне "2". Однако, E_1 связано с E_3 и E_4 также на уровне "1". Но это не согласуется с нашим предположением, что взаимозависимость между E_1 и E_3 более высокого уровня, чем между E_2 или E_4 . Т.о. выбранная выше абсолютная мера количества общих граней недостаточна. Вместо этого рассмотрим относительную меру, основанную на соотношении общих



граней к общему количеству. Меры будут нормализованы так, чтобы единичная связь указывала на "эквивалентность" событий, а нулевая - на их абсолютное несоответствие.

В системах классификации решений, как правило, рассматриваются эвристические данные как за, так и против каждой гипотезы. Это послужило мотивом для ввода понятий положительной и отрицательной дискриминации. Такой же постановкой задачи можно воспользоваться и для анализа связности по признакам. Положительная связность позволяет делать анализ групп признаков, характерных для данной ситуации, и по существу будет проверять связываемость положительных элементов матрицы инцидентности, а отрицательная связность, в свою очередь, установит группы не характерных для ситуации признаков, и, следовательно, будет проверять нулевые элементы данной матрицы.

Так как в значения элементов матрицы инцидентности мы вкладываем смысл степени совместимости между признаками и ситуациями, то их легко представить в виде нечетких величин принадлежности из интервала $[0, 1]$. Например, см. таблицу 7.

Здесь, признак S_3 можно рассматривать как безусловное данное, тогда как признаки S_4 и S_2 активизируются только при соблюдении частных условий и не могут точно предопределять ситуации.

Из вышесказанного можно заметить, что анализ положительной связности применяется к прямой матрице инцидентности, а отрицательной связности - к ее дополнению. Это последнее определяется по формуле:

$$I_{\text{complement}}(i, j) = 1 - I_{\text{Incidence}}(i, j)$$



Теперь, для сравнения рассмотрим три различные алгебры, определяющие три меры связности, чтобы дальше обосновать некоторые аксиомы для анализа связности.

Как мы определили выше, матрица инцидентности $\{R\}$ устанавливает отношение R (в общем случае нечеткое) между элементами двух множеств, в нашем случае признаков S и событий E . Таким образом:

$$R \in S \times E, \quad \mathcal{R}_R: S \times E \rightarrow [0,1]$$

$$\{R\} = \{r_{ij}\}, \quad \text{где } r_{ij} = \mathcal{R}_R\{s_i, e_j\}, \quad \text{а } s_i \in S, e_j \in E.$$

Рассмотрим j и k столбцы R матрицы как π -векторы:

$$\vec{a} = \{a_i\} = \{r_{ij}\}, \quad \vec{b} = \{b_i\} = \{r_{ik}\}.$$

Определим три меры связности "с" между векторами с помощью следующих трех алгебр:

1. Алгебра Эткина:

$$c = \sum a_i b_i.$$

2. Max-min - композиция:

$$c = \bigvee_i \{a_i \wedge b_i\},$$

где \bigvee_i обозначает максимум по i , а $\{a_i \wedge b_i\}$ - минимум между a_i и b_i .

3. Новая мера связности:

$$c = \left\{ \sum (a_i \wedge b_i) \right\} / \left\{ \sum (a_i \vee b_i) \right\},$$

где $a_i \vee b_i$ обозначает максимум между a_i и b_i .

В таблице 6 рассматривается простая матрица инцидентности и сравниваются соответствующие меры связности.

Т.о. новая мера связности подчеркивает взаимосвязанность между E_1 и E_2 в большей степени, чем между E_1 и E_3 . Этот



факт не находит отражения в 1 и 2 аксиомах.

Ниже приведены четыре аксиомы для обобщенного скалярного произведения $\vec{a} \vec{b}$ двух векторов \vec{a} и \vec{b} , которое наилучшим образом отражает сущность меры связности для классификации ситуаций. Аксиомы однозначно определяют операцию "*" для четкой матрицы инцидентности, т.е. когда элементы векторов или нули, или единицы.

(Сначала введем понятие суппорта для пары n -векторов. Допустим, два n -вектора \vec{a} и \vec{b} соответствуют рядам или столбцам матрицы инцидентности и принимают значения из интервала $[0, 1]$:

$$a_i, b_i \in [0, 1] \text{ для всех } i=1, 2, \dots, n.$$

Множество упорядоченных пар $\{(a_i, b_i)\}$, где, по крайней мере, хотя бы один из a_i или b_i отличен от нуля, называется суппортом:

$$\{(a_i, b_i) : \text{где } a_i/b_i > 0, i=1, \dots, n\}.$$

Аксиомы 1 и 2 определяют понятия "эквивалентности" и "абсолютного несоответствия" между двумя векторами:

Аксиома 1. Два вектора \vec{a} и \vec{b} называются "эквивалентными", если все пары элементов (a_j, b_j) в суппорте $\{(a_j, b_j)\}$ таковы, что $a_j = b_j$. Два "эквивалентных" вектора имеют единичную связность.

Аксиома 2. Два вектора \vec{a} и \vec{b} называются "абсолютно несовместимыми", если для каждой пары (a_j, b_j) в суппорте $\{(a_j, b_j)\}$ хотя бы один из векторов a_j или b_j точно равен нулю. Вдобавок, два вектора абсолютно несовместимы, если у них нулевой суппорт. С другой стороны, два "абсолютно несовместимых" вектора имеют нулевую связность.



Уральский федеральный университет
Институт математики и механики

Аксиома 3 постулирует свойство симметрии:

Оператор связности " $*$ " коммутативен, так что: $\vec{a} * \vec{b} = \vec{b} * \vec{a}$.

Аксиома 4 определяет свойство монотонности для частного случая четких векторов \vec{a} и \vec{b} , с $a_i, b_i \in [0, 1]$ для всех i . Для элементов, которые не являются ни "эквивалентными", ни "абсолютно несовместимыми", связность задается соотношением таких пар (a_j, b_j) в суппорте, для которых $a_j + b_j = 1$, к c_s - исходному числу суппорта.

Эти аксиомы дают возможность, довольно информативно определить обстановку, но тем не менее, они оставляют открытыми вопросы о выборе лучшей меры связности, в частности, например, как осуществить выбор из приведенных алгебраических операций, из которых каждая удовлетворяет сформулированным аксиомам, но может дать различные результаты для нечетких данных:

$$(a) \quad c = \left\{ \sum_i (a_i \wedge b_i) \right\} / \left\{ \sum_i (a_i \vee b_i) \right\},$$

$$(b) \quad c = \left\{ \sum_i (1 - |a_i - b_i|) \right\} / c_s,$$

$$(c) \quad c = \left\{ \sum_i (a_i * b_i) \right\} / c_s.$$

Значения меры связности, определяемые этими формулами для четких данных, вполне согласуются с теорией Эткина "общих граней" между многомерными полиэдрами и могут интерпретироваться как отношение количества общих узлов в полидральных структурах к полному количеству узлов.

С помощью "новой" меры связности (алгебра 3) можно определить также симметричную матрицу связности, и, применив метод Эткина, установить степени связности между различными ря-



дами и столбцами (признаками и ситуациями) исходной матрицы инцидентности. Но поскольку новая мера суть реальное число из $[0, 1]$, то вместо дискретного количества общих граней для картины распределения признаков значения уровней связностей необходимо выбрать из интервала $[0, 1]$.

При этом подходе, на практике, может возникнуть проблема, связанная с большой размерностью матрицы связности, что при определении цепочек связи на различных уровнях приводит к значительной вычислительной нагрузке. Эта проблема устраняется, если игнорировать признаки с низкими дискриминационными мерами для рассматриваемой гипотезы. Учитывая специфику решаемой задачи, можно выбрать дискриминационный порог, например 0.4, и не брать в расчет признаки с более низкими мерами дискриминации. В свою очередь это приведет к отсыванию неинформативных для данной гипотезы признаков, к уменьшению их количества и разгрузке вычислительных средств.

Естественно, имея такой математически обоснованный фундамент, можно говорить о построении системы-советчика и даже об экспертной системе. В нашем случае, следуя анализу положительной и отрицательной связанности, база знаний будет содержать две таблицы для каждой гипотезы. В каждой таблице будут присутствовать множества групп, характеризующих общую картину признаков, расколотых по уровням связности со значениями из интервала $[0, 1]$.

Рассмотрим пример. Допустим, для множества из девяти признаков (1, 2...9) таблица положительной связности имеет вид (см. таблицу 9).

Отметим, что на уровне "1" все признаки самосвязаны, а на нулевом уровне они образуют единственную характерную группу.

Тем не менее, в нашем примере признаки разделяются на три различные группы. Кроме того, наблюдается тенденция, выраженная в том, что группы признаков на больших уровнях связности — маленькие, и возрастают по мере их спада.

Характерная картина признаков — суть нечеткое понятие, поскольку нет точного критерия для ее выбора. Ясно только, что группа должна быть достаточно большой и хорошо связанной. Рассматривая вышеприведенный пример и исходя из элементарного метода нечеткого логического вывода, выбор единственной группы, по-видимому, падет на $\{4, 6, 9\}$.

Однако, для целей классификации решений, предпочтительнее оставить уровни распределения связности по группам кандидатов так, чтобы сохранить некоторую модель неопределенности. Самый простой и эффективный подход может выглядеть так: проходя вверх по таблице, выберем такую группу, чтобы на каждом уровне она оказалась наибольшим подмножеством предшествующей группы, и, кроме того, содержала по крайней мере два элемента. Для приведенного выше примера получаем (см. таблицу 10).

Такое распределение можно получить отдельно из таблиц положительной и отрицательной связности. Таким образом, они определяют множество упорядоченных пар, скажем:

$P = \{(P_i, c_i)\}$, из таблицы положительной связности,

$N = \{(N_i, d_i)\}$, из таблицы отрицательной связности,

где P_i, N_i — множества признаков на i -ом уровне связности, а c_i, d_i — соответствующие величины связности. Такие упорядоченные пары для каждой из n гипотез дают распределения:

(P_1, P_2, \dots, P_n) и (N_1, N_2, \dots, N_n) .

Для каждой конкретной ситуации с характерной картиной призна-



наков $\{S_j\}$ распределение неопределенности по ситуациям можно получить "взвешиванием" соотношений между признаками из $\{S_j\}$ в каждой группе с помощью уровней связности:

$$\begin{aligned} \text{Решение } D = (D_1, \dots, D_n) &= \{D_k\}, \quad k=1, \dots, n. \\ D_k &= \left\{ I_{Large} \left(\left\{ \sum_i c_i P(P P_i / \{S_j\}) \right\} / \left\{ \sum_i c_i \right\} \right) + \right. \\ &\quad \left. + I_{Small} \left(\left\{ \sum_i d_i P(N N_i / \{S_j\}) \right\} / \left\{ \sum_i d_i \right\} \right) \right\} / 2, \end{aligned}$$

где $P(P P_i / \{S_j\})$ обозначает относительную долю признаков в $P P_i$, представленных в $\{S_j\}$, а $Large$ и $Small$ - нечеткие множества, определенные в интервале $[0, 1]$.

Рассмотренный здесь механизм - один из многих возможных. Такой метод особенно хорошо подходит к задачам диагностирования в различных областях человеческой деятельности, а комбинированные данные, полученные с помощью анализа дискриминации и связности, используются для установления общей картины диагностического распределения.

Схема классификации решений является предварительным этапом для разработки экспертной системы. Полноценная и совершенная система должна позволять расширение и пополнение базы знаний по мере накопления эмпирических данных и опыта специалистов. Кроме того, она должна уметь по запросу обосновывать и объяснять принимаемые решения на разных уровнях по ходу действий. Следующий шаг к усовершенствованию - это обеспечение нормального и приемлемого диалогового режима между компьютером и пользователем с учетом возможности для человека общаться с компьютером на естественном языке.

В этой статье мы не обсуждаем области применения рассмот-



ренной модели. Отметим только, что она весьма обширна. Особенно эффективно этот механизм будет действовать при решении задач диагностического характера.

Поступила 29.IV.1993

Институт систем
управления

Литература

1. Zadeh L.A. Fuzzy Sets. Information and Control. Vol.8, June 1965, pp.338-353.
2. В.В.Чавчавадзе. Теория информационных функций. Сообщения Академии наук Грузинской ССР. XXXII:2, ноябрь 1963, сс. 281-287.
3. Л.А.Заде. Понятие лингвистической переменной и его применение к принятию приближенных решений. "Мир", Москва, 1976.
4. А.Койман. Введение в теорию нечетких множеств. Москва, "Радио и связь", 1982.
5. B.W.Pilsworth, J.F.Baldwin. Medical Diagnosis from Patients Records - a Method Using Discrimination and Connectivity Analyses. Fuzzy Sets and Systems, 23, 1987, pp.73-87.
6. J.F.Baldwin. A New Approach to Approximate Reasoning Using a Fuzzy Logic. Fuzzy Sets and Systems, 2, 1979, pp.309-325.
7. J.F.Baldwin. Fuzzy Logic and Fuzzy Reasoning. Internat.J.Man-Machine Study: 11, 1979, pp.465-480.
8. R.H.Atkin. Mathematical Structure in Human Affairs. Crane, Russak and Co., New York, 1974.



ქ. ჭანჭიჭიძე

"სრატეგიაში" მათემატიკური კლასიფიკაციის ალგორითმის აღწერა

რ ე ბ ი უ ბ ე

სრატეგიაში სიმრავლეების თეორიის გამოყენებით ჩამოყალიბებულია კლასიფიკაციის მხარდაჭერის მეთოდი კონკრეტული ნიშნებისა და მნიშვნულების ანალიზზე დაყრდნობით. მეთოდი გამოყენდება აგრეთვე სრატეგიაში, არასრულად ნაწილობრივ არათავსებად მიხედვითა დასაბუთების დროს.

K. Panchvidze

A FUZZY METHOD FOR DECISION CLASSIFICATION

S u m m a r y

One of the fuzzy methods using discrimination and connectivity analyses is discussed in general terms of systems' theory. It can be used for decision classification tasks with inconsistent, uncertain or incomplete data.

	Π_1	Π_2	Π_3
S_1	0.9	0.3	0.5
S_2	0.4	0.6	0.4
S_3	0.8	0.0	0.2

Таблица 20

	E_1	E_2	E_3	E_4	E_5
S_1	1	0	1	0	0
S_2	1	1	0	1	0
S_3	1	1	1	1	1
S_4	0	1	0	1	1

Таблица 21

	E_1	E_2	E_3	E_4	E_5	
C_{E_i}	2	1	1	1	0	E_1
		2	0	2	1	E_2
			1	0	0	E_3
				2	1	E_4
					1	E_5
	S_1	S_2	S_3	S_4		
C_{S_i}	1	0	1		S_1	
		2	2	1	S_2	
			2	1	S_3	
				2	S_4	

Таблица 22

Связность	C_E - цепочки
2	$\{E_1, \{E_2, E_4\}\}$
1	$\{E_1, E_2, E_3, E_4, E_5\}$
0	$\{E_1, E_2, E_3, E_4, E_5\}$

Таблица 6)

СВЯЗНОСТЬ	C_2 ЦЕ ДУКИ
4	$\{S_3\}$
3	$\{S_3\}$
2	$\{S_2, S_3, S_4\}$
1	$\{S_1, S_2, S_3, S_4\}$
0	$\{S_1, S_2, S_3, S_4\}$

Таблица 6)

	E_1	E_2	E_3	E_4
S_1	1	1	1	1
S_2	0	0	1	1
S_3	1	1	1	1

Таблица 7)

	E_1	E_2
S_1	0.8	0.3
S_2	0.6	0.2
S_3	1.0	0.0

Таблица 8)

Матрица принадлежности		алгебра	положительная СВЯЗНОСТЬ	
			$a(E_1) * b(E_2)$	$a(E_1) * b(E_3)$
E_1	E_2	E_3		
S_1	1	1	1	1
S_2	0	0	1	1
S_3	1	1	1	2/3

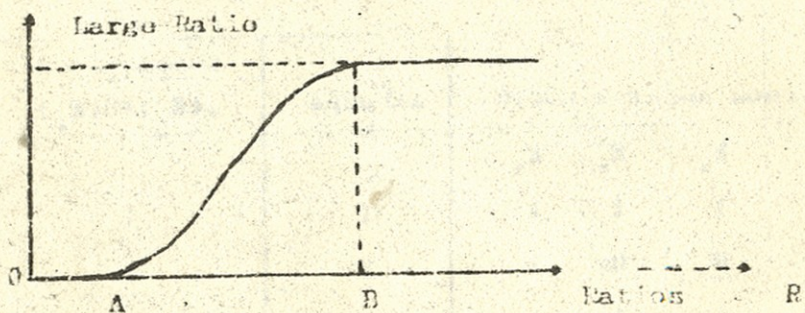


Տաբուլա 90

Уровень связности	Картина признаков
1	{1}, {2, 3}, {4}, {5}, {6}, {7}, {8}, {9}.
0.8	{2, 3}, {1}, {4, 6, 9}, {5}, {7}, {8}.
0.6	{2, 3}, {1}, {4, 6, 9}, {5}, {7, 8}.
0.4	{2, 3}, {4, 6, 9}, {5}, {1, 7, 8}.
0.2	{2, 3}, {4, 5, 6, 9}, {1, 7, 8}.
0	{1, 2, 3, 4, 5, 6, 7, 8, 9}.

ձևույթ 10

Группа	Уровень
{4, 6, 9}	0.8
{4, 6, 9}	0.6
{4, 6, 9}	0.4
{4, 5, 6, 9}	0.2
{1, 2, 3, 4, 5, 6, 7, 8, 9}	0.0



Բաժ. 1. Ըրինակ գրաֆիկական ներկայացումի ֆունկցիայի պատկանելության.

С О Д Е Р Ж А Н И Е



1. Т.Г.Гачечиладзе, Т.В.Манджапарашвили, Г.Ш.Кашмадзе. Количество информации, переносимое в начетном сообщении	5
2. З.Ю.Кочладзе. Об одном методе вычисления вероятностных концептов при использовании концептуального системного анализа	9
3. А.Г.Дундуа. О тестовой проверке абитуриентов профилирующих классов	23
4. В.Ш.Одишария. Об одной краевой задаче для одномерной системы Тимошенко	25
5. Дж.Г.Гачечиладзе. Об одном алгоритме построения р-мерных кубических сплайнов	52
6. А.В.Корнеева, Н.В.Пиотровская. Разработка программного обеспечения профессиональной игры "ГЛОБАЛЬНАЯ СИСТЕМА"	54
7. Дж.Г.Гачечиладзе. Об одном численном методе решения задачи поршня при изотермическом сжатии газа с постоянной скоростью	67
8. Дж.Г.Гачечиладзе. Численное решение краевой задачи для стационарного уравнения Кортевега де Вриза	71
9. Р.А.Чейшвили, К.В.Манджгаладзе, Д.М.Мампория, Л.Г.Читашвили, К.А.Чейшвили. Изучение отношения общественного мнения к механизму проведения приватизации и ее последствиям	84
Ю.Т.С.Киселева. Ягеровский метод в дискриминационном анализе	86



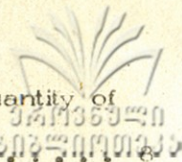
11. Т.С.Киселева. Медицинские диагнозы из истории болезни И — метод, использующий нечеткий дискриминационный анализ и анализ связей 91
12. К.М.Панчвидзе. Об одном подходе к задаче принятия решений — метод нечеткой дискриминации и связности 115



შ ი ნ ა ა რ ს ი

1. თ. ბაჩუკიძე, თ. მანჯაყარაძე, თ. კაპაძე. ინტერმედიის რაოდენობა არამატეოზი მუსულმანურად... 8
2. ზ. უტკილაძე. აღბათური კონცეპტების გამოცდის ერთი მუთლი მესახებზე კონცეპტუალური სისფრე მართა ანალიზის გამოყენებისას 14
3. ა. ბუნიკა. პროფილირებული კლასების აბრეშურებზე ან ანტი-მედიკაციის მესახებზე... 18
4. ვ. კლიშინა, ერთი სასაბჭოთხო ამოცანა ფიზიკის ერთ-ერთი მუთლი სისფრე მუთლისათვის... 33
5. თ. ბაჩუკიძე, რ-ტანტონიკებიანი კუბური სპილენძის ატომის ერთი ატომური მასის მესახებზე... 45
6. ა. კონიევი, ნ. მიოტოვისკაია. პროფესორი თამაში "ტოტალური სისფრე" რეგულირება და მისი პროგრამული უზრუნველყოფის შემუშავება... 62
7. თ. ბაჩუკიძე, ბუნიკის ამოცანის ამოხსნის ერთი რიცხვის მუთლი მესახებზე ტანის მუთლი სისფრე მუთლი მუთლის რიცხვს... 63
8. თ. ბაჩუკიძე, კონცეპტუალური ერთების სტატისტიკური ტანტონიკების სასაბჭოთხო ამოცანის რიცხვის ამოხსნა... 68
9. რ. ვიკტორი, თ. მანჯაყარაძე, თ. მანჯაყარაძე, ლ. კიკელიძე, თ. ვიკტორი. საბჭოთხო მუთლი ამოხსნის მესახებზე პრობლემატიკის მუთლი მისა და მუთლი მესახებზე... 73
10. თ. კოსტოვია, ნაბუჩის მუთლი რისკი მინიმალური ანალიზი... 90
11. თ. კოსტოვია. საბჭოთხო რეკონსტრუქციული ატომური მუთლის საბჭოთხო მუთლი - მუთლი, საბჭოთხო მუთლი არამატეოზი რისკი მინიმალური ანალიზი და კავშირების ანალიზი... 112
12. თ. მანჯაყარაძე. "არამატეოზი" მუთლი კლასიკური მუთლის ამოცანის მუთლი... 133

C O N T E N T S



1. T.Gachechiladze, T.Maryanarashvili, G.Kashmadze. The Quantity of Information in a Fuzzy Message	6
2. Z.Kochladze. On a Method of Calculating Probability Concepts in Application to Conceptual Systems Analysis	15
3. A.Dundua. On Test Examination of School-Leavers of Vocational Classes	24
4. V.Oulsharia. On the Boundary Problem for Timoshenko's One-Dimensional System	34
5. J.Gachechiladze. On the Algorithm of Constructing F-Dimensional Cubic Splines	53
6. A.Korneeva, N.Piotrovskaya. Organization of the Professional Game: "Global System" and Development of its Software	62
7. J.Gachechiladze. On a Numerical Method for Solving the Piston Problem at Isothermic Compression of Gas of Constant Velocity	67
8. J.Gachechiladze. Numerical Solution of a Boundary Problem for the Korteweg de Vries Stationary Equation	72
9. R.Cheishvili, K.Manjgaladze, D.Mamporia, L.Chitashvili, K.Cheishvili. Study of Georgian Public Opinion Regarding the Mechanism and Consequences of Privatization	90
10. T.Kiseleva. R.Jager's Method in Discrimination Analysis	90
11. T.Kiseleva. Medical Diagnosis Based on the Case History: a Method Using Fuzzy Discrimination and Connectivity Analyses	113
12. K.Panchvize. A Fuzzy Method for Decision Classification	133

სამეცნიერებო მუშაურობის რედაქციის ც. აბაშაძეძეძე
 კორექტორი ნ. მარჯალიანი

ბეჭდვის საბჭოთაო რესპუბლიკის 28.12.93. საბჭოთა რედაქციის 60X84. პირი-
 ბიტი წიგნის ღირებულება 6,75. საბჭოთა - საბჭოთა რედაქციის 5,01
 ღირებულება 200 ღირსი საბჭოთა რედაქციის 2000

ბეჭდვის საბჭოთა რესპუბლიკის რედაქციის, მ. 00028,
 ნ. მარჯალიანი რედაქციის, 1.

40 39/1

